Computergrafik

Vorlesung im Wintersemester 2014/15 Kapitel 5: Räumliche Datenstrukturen

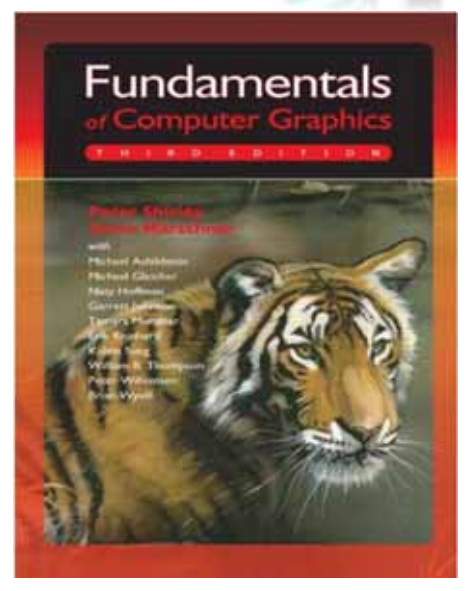
Prof. Dr.-Ing. Carsten Dachsbacher Lehrstuhl für Computergrafik Karlsruher Institut für Technologie



Literatur

■VD

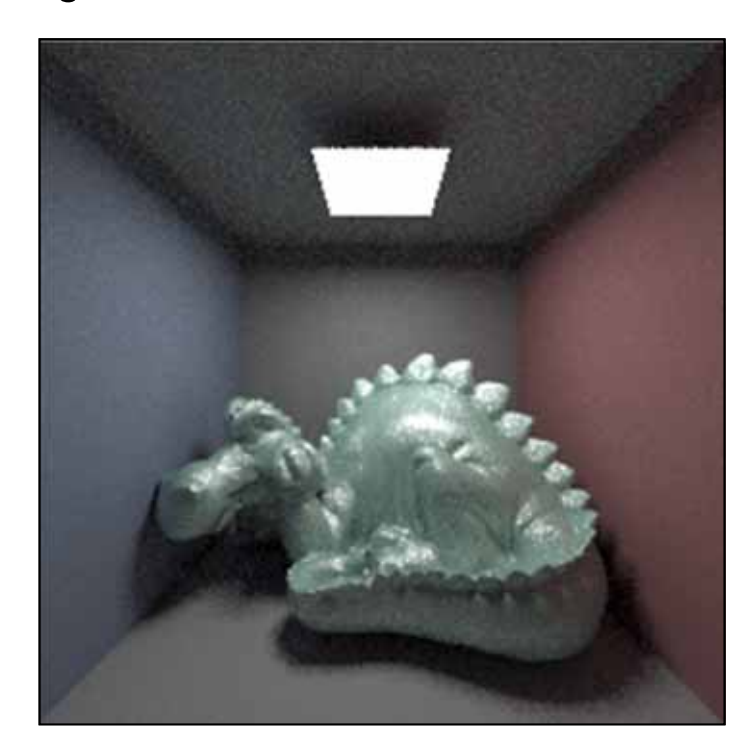
- Fundamentals of Computer Graphics,
 - P. Shirley, S. Marschner, 3rd Edition, AK Peters
 - → Kapitel 12 (Data Structures for Graphics)
 - → insb. Kapitel 12.3 (Spatial Data Structures)



Was haben wir bisher gelernt...



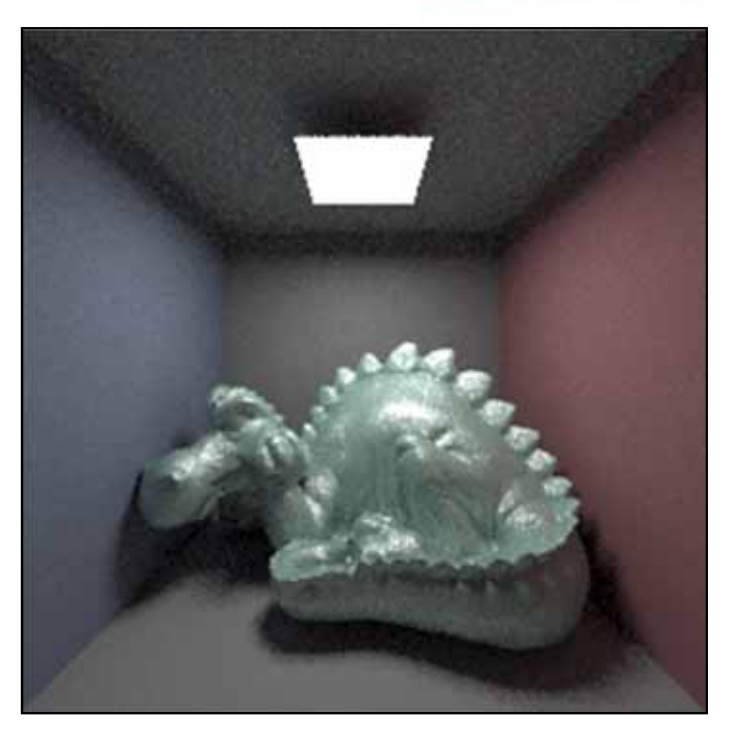
- Farbe, Bilder und ein wenig Perzeption
- Ray Tracing: Schnittpunktberechnung, Beleuchtungsberechnung, ...
- Texturierung
- und wie lange dauert es ein Bild mit diesem Dreiecksnetz zu berechnen?
- Path Tracing (ähnlich Distributed Ray Tracing)
 - 32× stochastisches Supersampling
 - ≥ 256² Pixel, 480000 Dreiecke
 - ▶ Brute Force: 176462sec ≈ 49h
 - nach diesem Kapitel: <80sec (BVH 18.3sec, Rendering 59sec)



Inhalt: Räumliche Datenstrukturen



- Analyse der Kosten bei Ray Tracing
- Ansätze zur Beschleunigung von Ray Tracing
- Bildraumverfahren
- Bounding Volumes (Hüllkörper)
- Räumliche Datenstrukturen
 - Bounding Volume Hierarchies
 - reguläre und adaptive Gitter
 - kD-Bäume und BSP-Bäume



- nebenbei: dieselben Datenstrukturen werden auch eingesetzt für
 - Kollisionserkennung und Bahnplanung in der Robotik
 - Szenengraphen, Culling und Physiksimulationen
 - als Suchbäume (z.B. Nächster Nachbar in (hochdim.) Räumen)

Ray Tracing Pseudocode



Ray Tracing Pseudocode



```
vec3 raytrace( Ray *ray, ...) {
 vec3 color = 0.0f;
  if (!cast( ray, FLOAT MAX ) )
   return color;
  for ( jede Lichtquelle )
   color += computeDirectLight( ... );
  if ( Fläche ist spiegelnd ) {
   // berechne Reflexionsstrahl
   Ray reflect = ...;
   color += i.kr * raytrace( reflect, ... );
  if (Fläche ist transparent ) {
   // berechne Transmissionsstrahl
   Ray refract = ...;
   color += i.kt * raytrace( refract, ... );
  return color;
```

Ray Tracing Pseudocode



```
class Ray {
 vec3
       origin, direction; // Startpunkt und Richtung des Strahls
 float t;
                            // Strahlparameter
 void * object;
                            // Zeiger auf evtl. getroffenes Objekt
  . . .
};
bool cast( Ray *ray, float maxDist )
  intersection = NULL;
  float t = maxDist;
  for ( each object ) {
   t' = intersect( object, ray->origin, ray->direction );
    if (t' > 0 && t' < t) {
      intersection = object;
      t = t';
  ray->t = t;
  ray->object = intersection;
  return intersection != NULL;
```

Optimierung des Ray Tracing



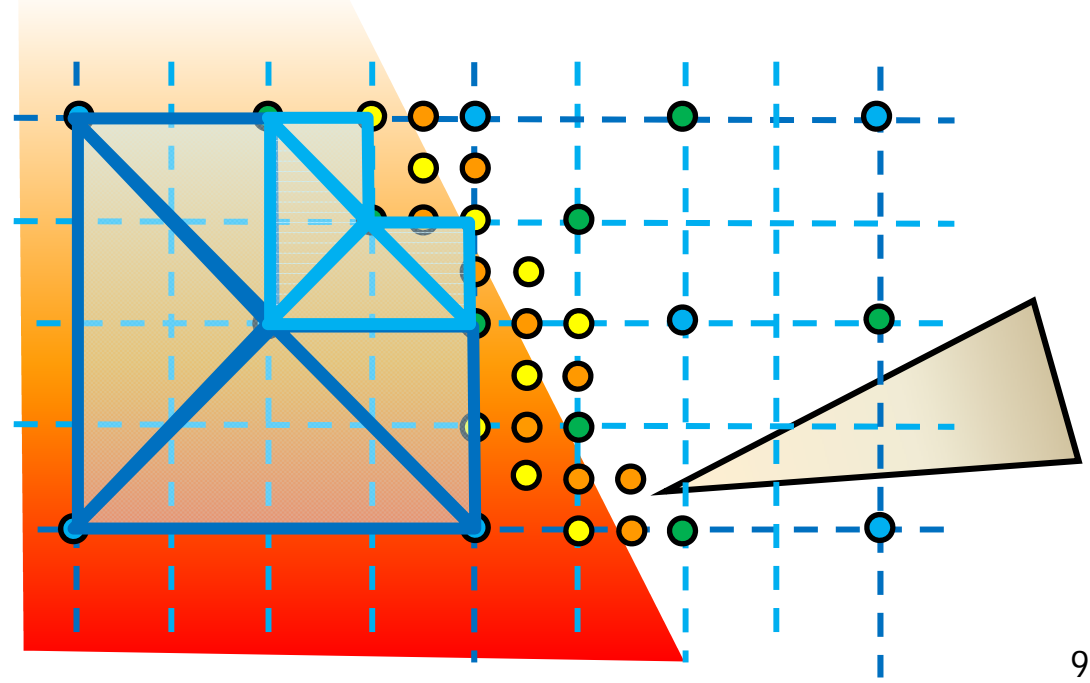
- der wesentlicher Teilalgorithmus von RT ist:
 - finde Strahlschnittpunkt mit nächstem Objekt der Szene
 - bisheriger Ansatz: Schnitt mit allen Objekten → >90% der Rechenzeit!
 - ...und es skaliert schlecht mit der Anzahl der Objekte
- Optimierungsansätze
 - schnellere Schnittalgorithmen? wenig Spielraum zur Optimierung
 - weniger Strahlen?
 - weniger Primär- und Sekundärstrahlen
 - Bsp. adaptives statt uniformes Supersampling, Tree Pruning
 - weniger Schnittberechnungen!
 - vermeide Berechnungen mit weit vom Strahl entfernten Objekten
 - Raumunterteilung, Richtungsunterteilung
 - Schnittpunkte mit "dicken" Strahlen (Strahlenkegel)
 - Cone- und Beam-Tracing, behandeln wir nicht!

Optimierung: Weniger Strahlen



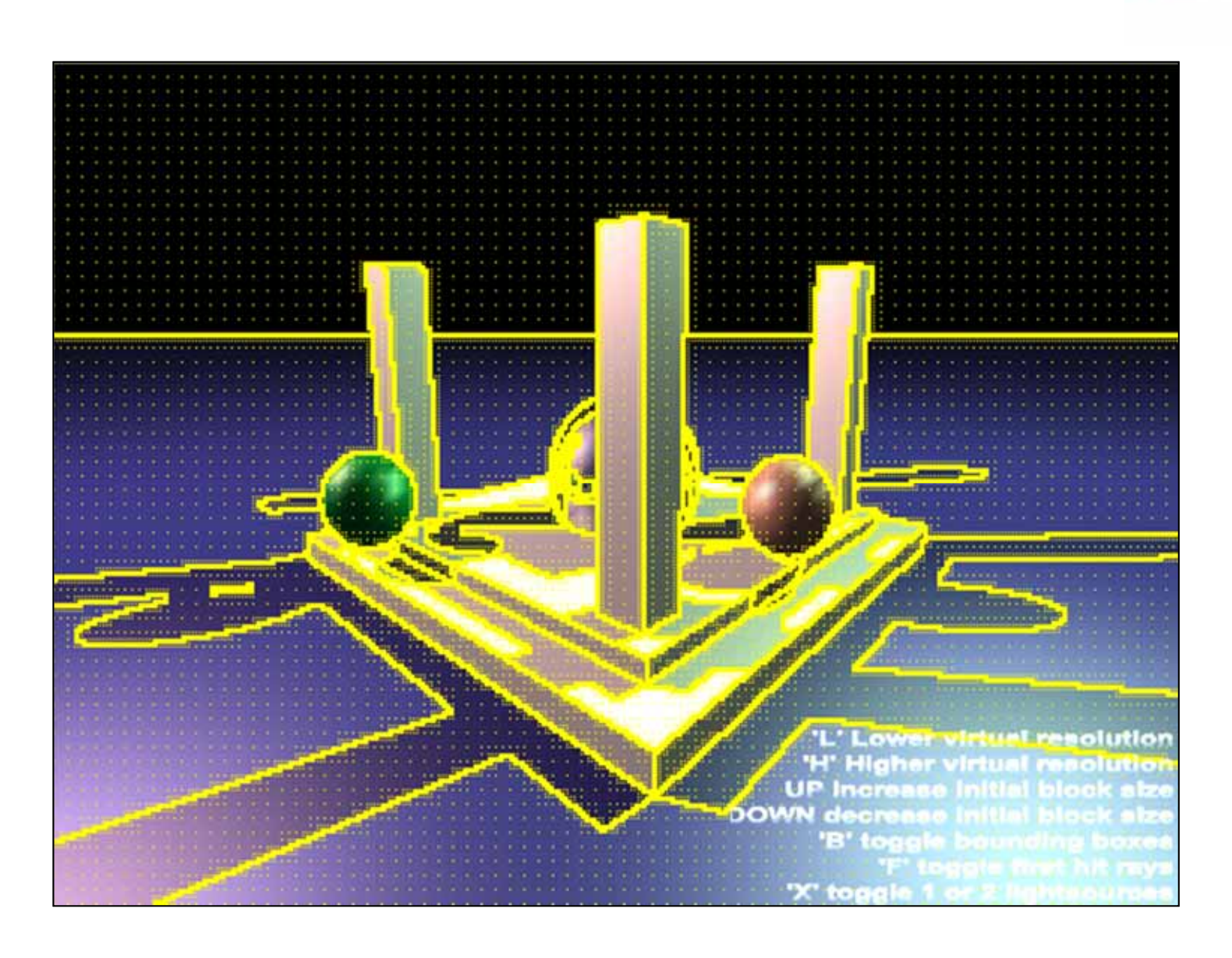
Weniger Primärstrahlen: Pixel-Selected-RT

- schieße Strahlen im groben Raster, z.B. Eckpunkte und Mittelpunkt eines 4×4 Pixel-Blocks
- vergleiche Eckpunkte mit Mittelpunkt
 - z.B. im Hinblick auf Farbe, Differenzen im Strahlenbaum, etc.
- falls große Differenzen: verfeinere
- falls ähnlich: fülle Bereich durch Interpolation der Farben der Eckpunkte
- Probleme
 - Verlust von Details: z.B. kleine Dreiecke oder kleine Glanzlichter
 - Unschärfe: Interpolation von Farben
 - Texturen: interpoliere Texturkoordinaten



Optimierung: Weniger Strahlen



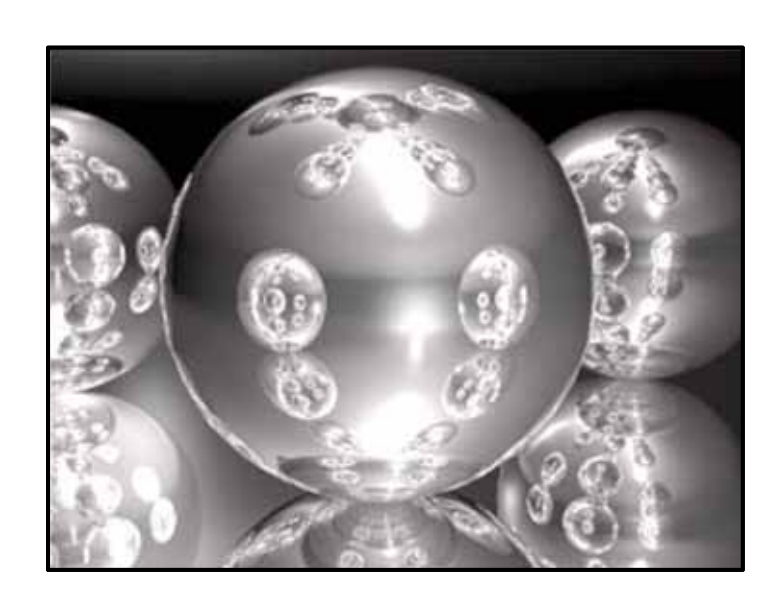


Optimierung: Weniger Strahlen



Weniger Sekundärstrahlen

- einfaches Tree-Pruning: gebe maximale Rekursionstiefe vor
- Adaptive Tree-Pruning
 - kleine Beiträge von Strahlen werden vernachlässigt
 - akkumuliere Abschwächung des Beitrags von mehrfach reflektierten/gebrochenen Strahlen
 - Produkt der Reflexions- bzw. Transmissionskoeffizienten
 - Abbruch der Rekursion, falls Beitrag des Strahls zu klein





Optimierung: Weniger Schnittberechnungen



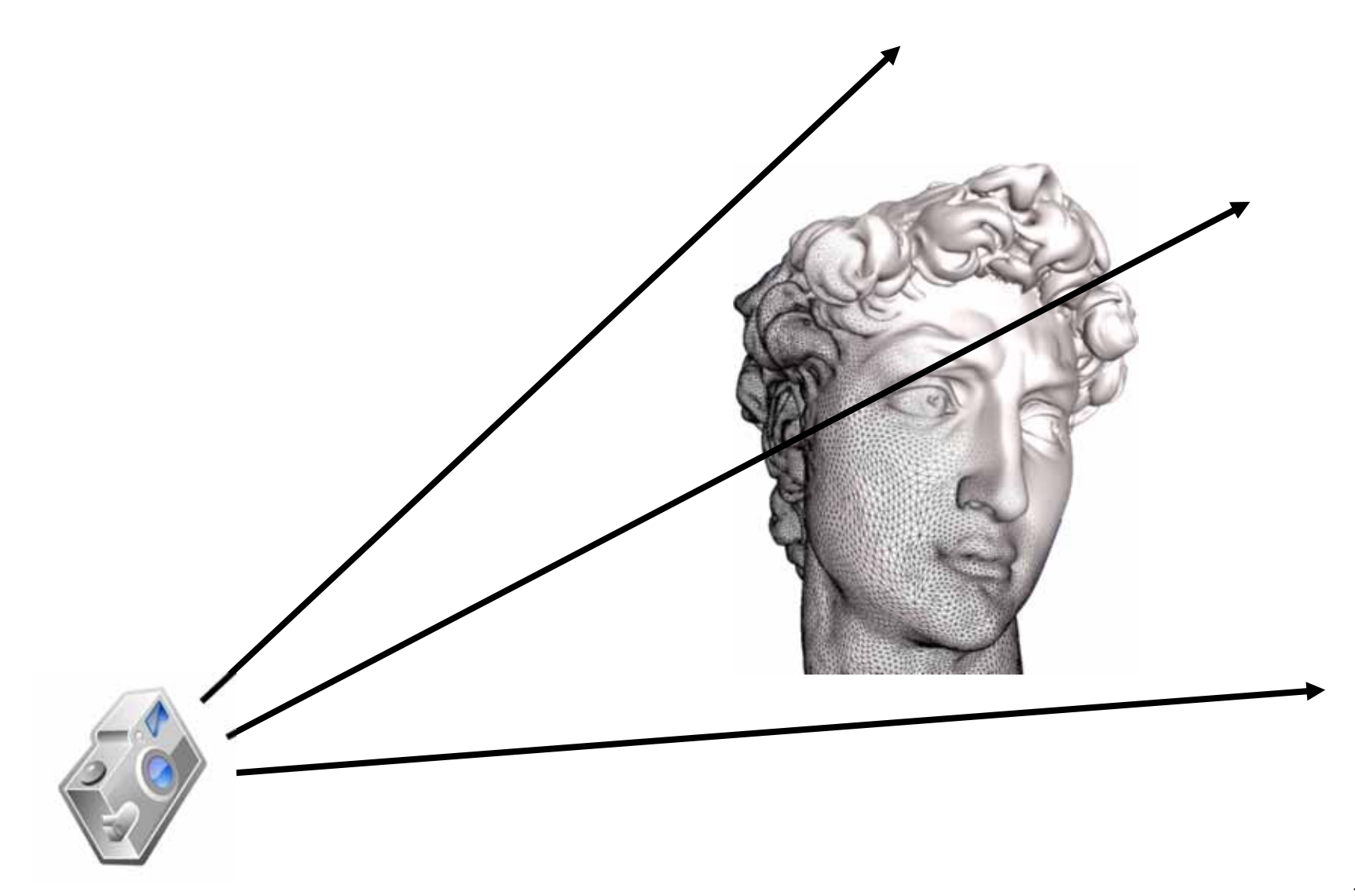
Raumunterteilung

- Idee/Ziel:
 - finde potentiell geschnittene Objekte schneller
 - teste keine Objekte, die nicht in Frage kommen
- Datenstrukturen zur Raumunterteilung
 - Bounding-Volume-Hierarchien (BVH)
 - Gitter, Hierarchien von Gittern
 - Oktalbäume (Octrees)
 - Binary-Space-Partition (BSP) Trees oder kD-Baum
 - Richtungsunterteilung
- wir gehen im Folgenden der Einfachheit halber davon aus, dass alle Objekte/Primitive in Weltkoordinaten platziert sind/sein können: eine Datenstruktur für alle Objekte

Beschleunigung des Ray Casting



Reduziere die Anzahl der Strahl-Primitiv-Schnitttests

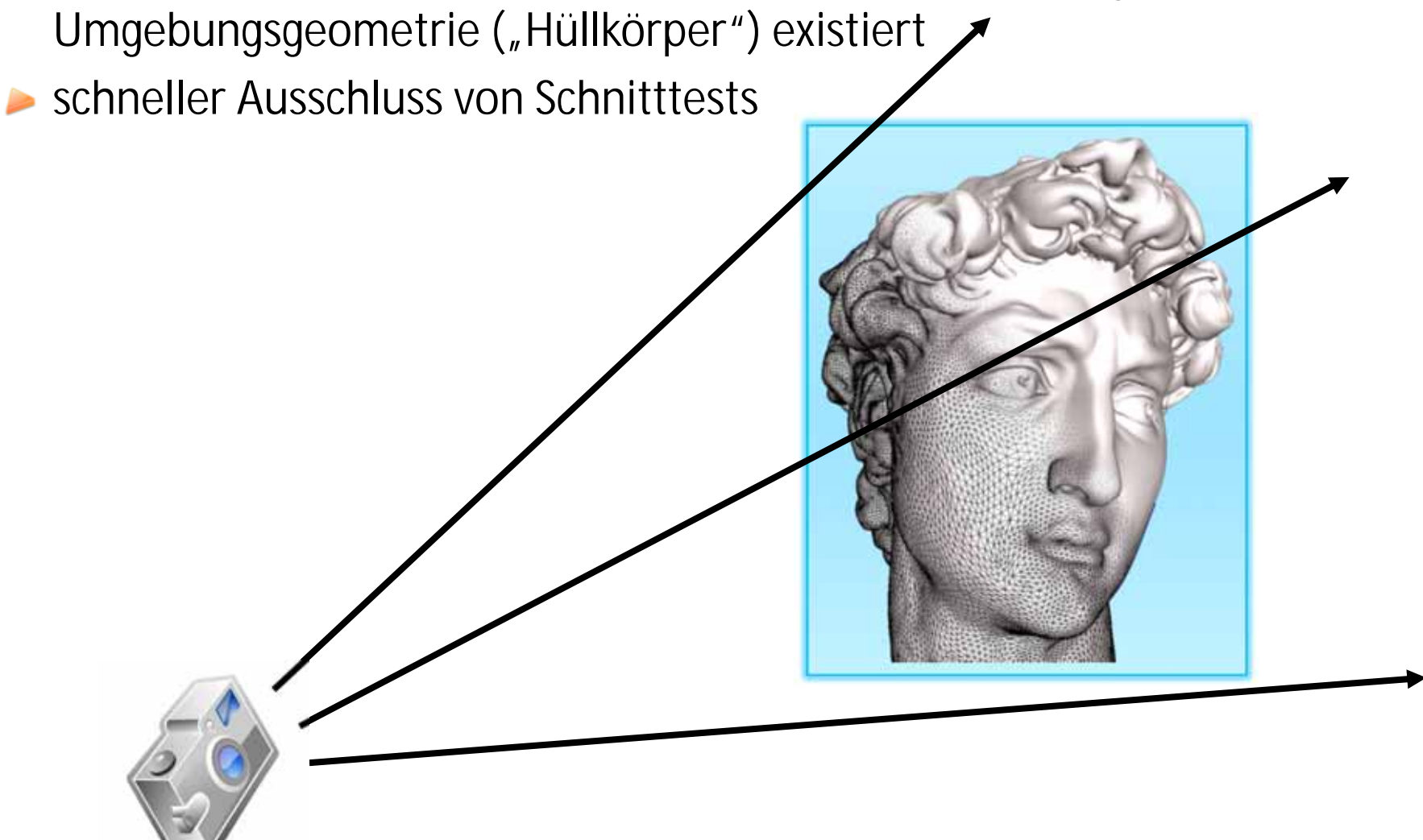


Beschleunigung des Ray Casting



Reduziere die Anzahl der Strahl-Primitiv-Schnitttests

Überprüfe zuerst, ob ein Schnitt mit einer (konservativ-großen) Umgebungsgeometrie ("Hüllkörper") existiert 🖊



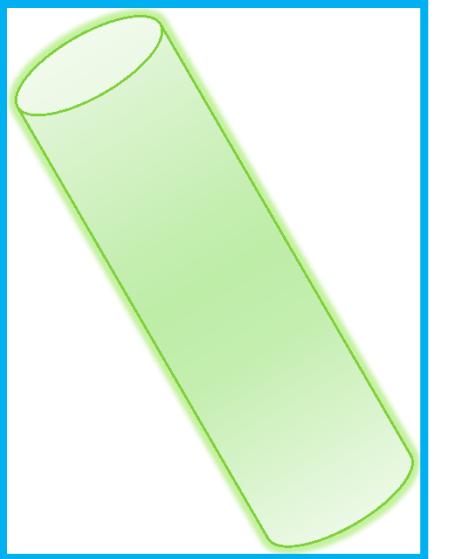
Konservative Hüllkörper

Hüllkörper (engl. Bounding Volumes)

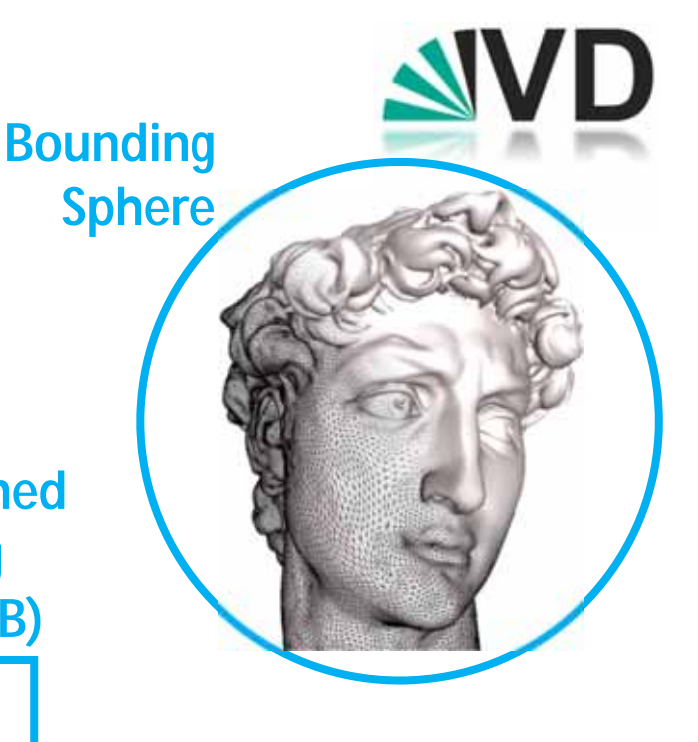
sollen möglichst enganliegend/klein sein, um wenige Falschpositive zu erzeugen

schnelle Schnittberechnung

lohnt nur, wenn die enthaltene Geometrie entsprechend detailliert ist Axis-Aligned Bounding Box (AABB)



allgemeine konvexe Region (Kombination von begrenzenden Halbräumen und Spezialfall "Slabs")

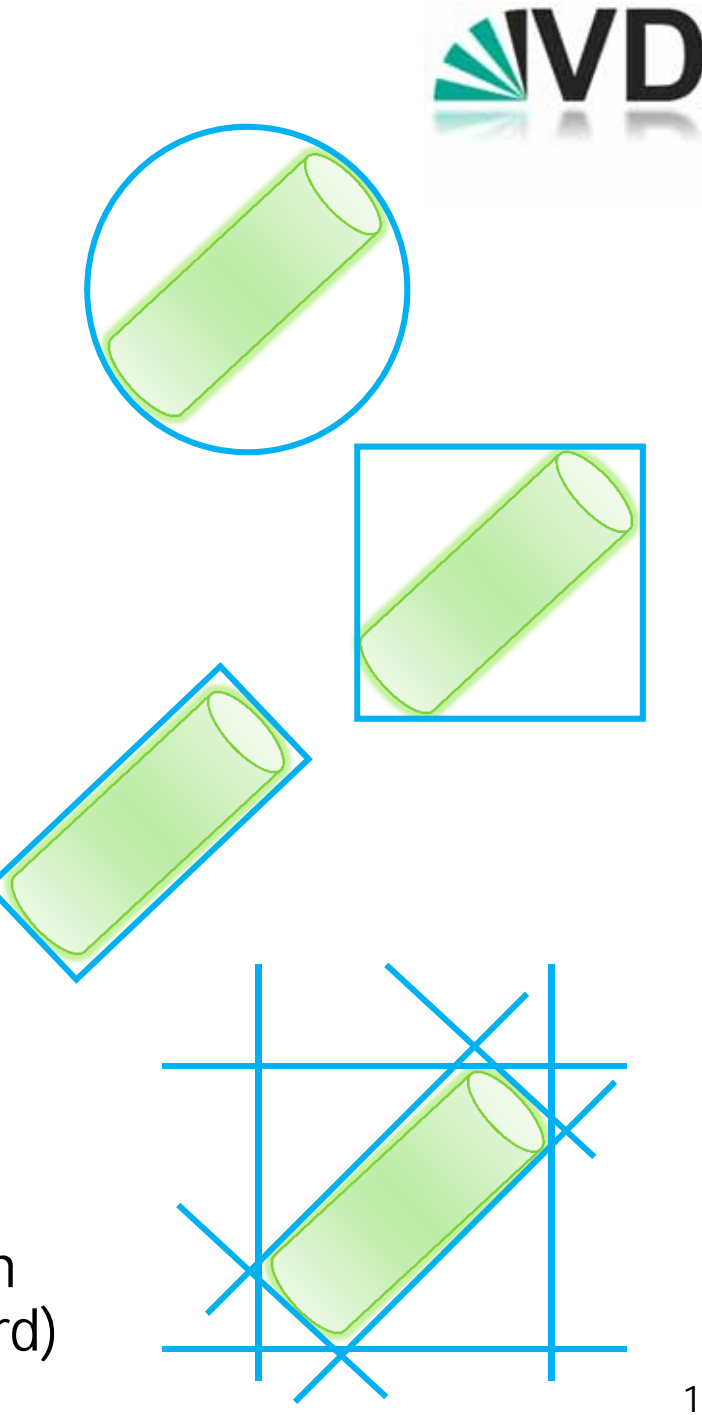




Optimierung: Bounding-Volumes

Hüllkörper, Bounding-Volumes

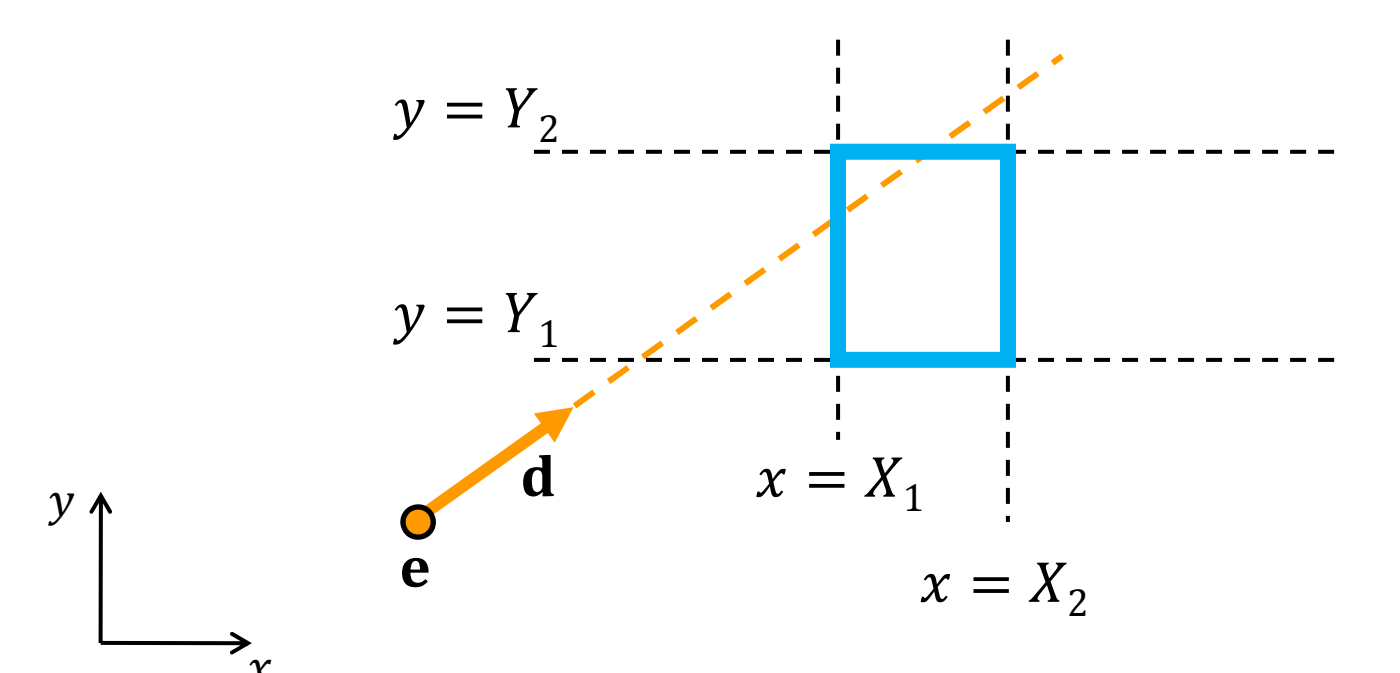
- Kugel
 - schneller Schnittalgorithmus
 - oft schlechte Effizienz, da zu groß
- Achsenparallele Box (AABB)
 - einfache Berechnung (min/max)
 - wichtigster Algorithmus
- Orientierte Bounding Box (OBB)
 - aufwändigere Berechnung (Hauptkomponentenanalyse der Menge von Eckpunkten)
- Slabs
 - Spezialfall: Schnitt von Paaren paralleler Halbebenen
 - gute Effizienz, schnelle Berechnung (sofern nicht die global beste Lösung gefordert wird)





Schnittberechnung Strahl-AABB

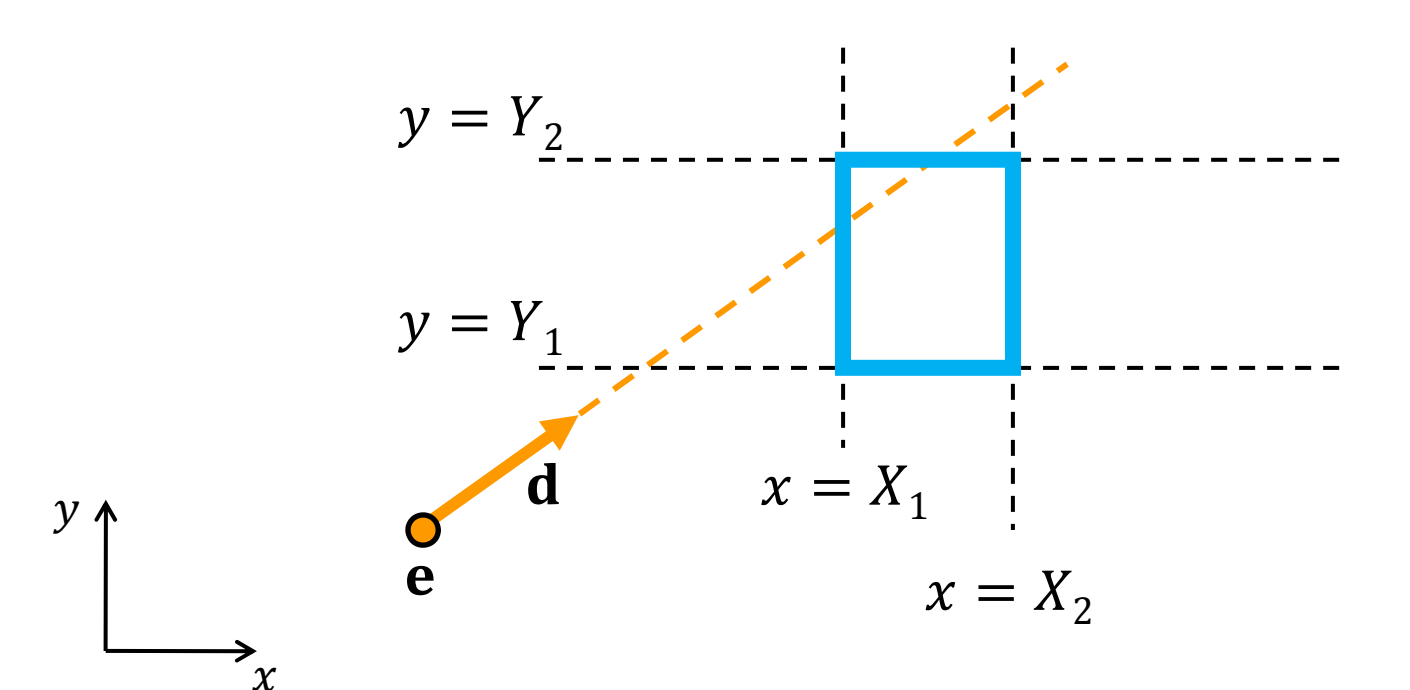
- $ightharpoonup AABB: (X_1, Y_1, Z_1) \rightarrow (X_2, Y_2, Z_2)$
- Strahl: $\mathbf{r}(t) = \mathbf{e} + t\mathbf{d}$
- naiver Ansatz:
 - ▶ 6 Ebenengleichungen: berechne alle Schnittpunkte
 - bestimme nahsten Schnittpunkt innerhalb der Box





Optimierungen

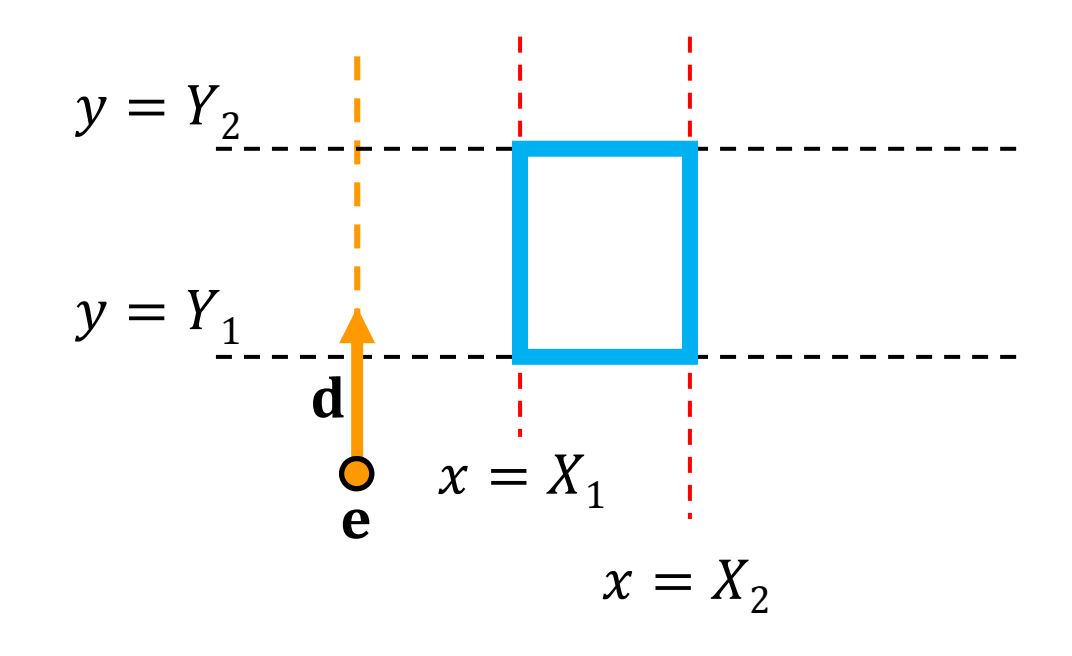
- der Schnitttest Strahl-AABB wird i.d.R. sehr oft benötigt
 - → hier lohnt es sich zu optimieren!
- führe Berechnungen für jede Dimension jeweils zusammen aus
 - jeweils 2 Ebenen besitzen dieselbe Normale
 - Normalen sind achsenparallel: nur eine Komponente ungleich 0





Schnittberechnung Strahl-AABB: Test, ob Strahl und Box parallel

- wenn $d_x = 0$ (Strahl parallel zu yz-Ebene) \land ($e_x < X_1 \lor e_x > X_2$) \Rightarrow kein Schnitt
- ightharpoonup analog für d_y und d_z

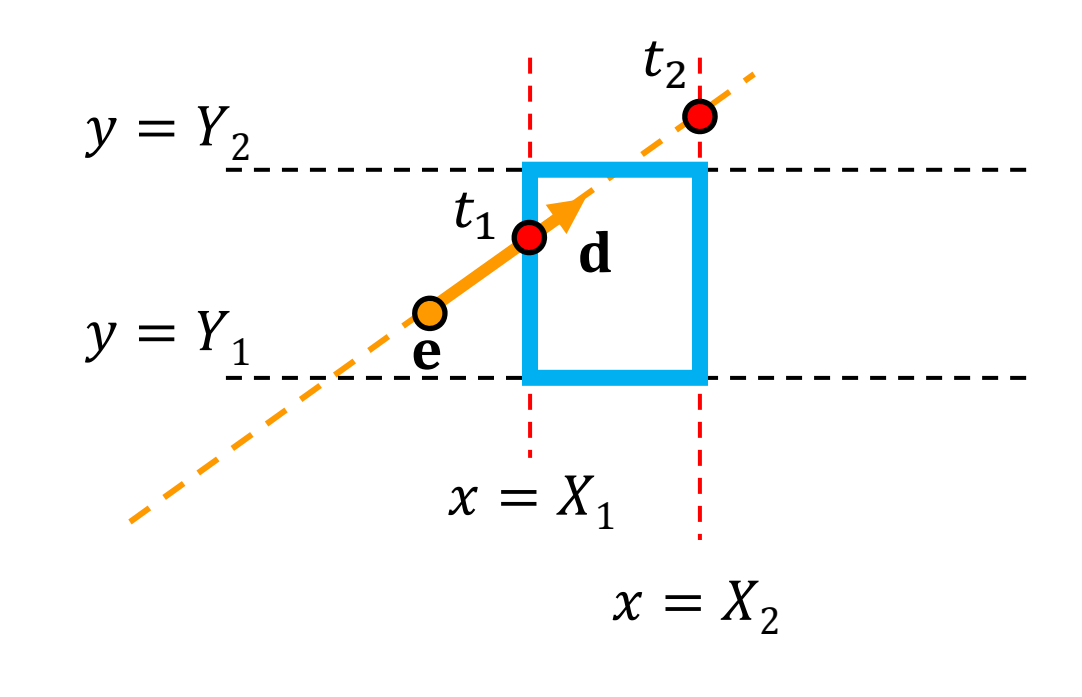




Schnittberechnung für jede Dimension

- ightharpoonup berechne Entfernung zu den Ebenenschnitten t_1 und t_2
 - $> t_1 = (X_1 e_x)/d_x$

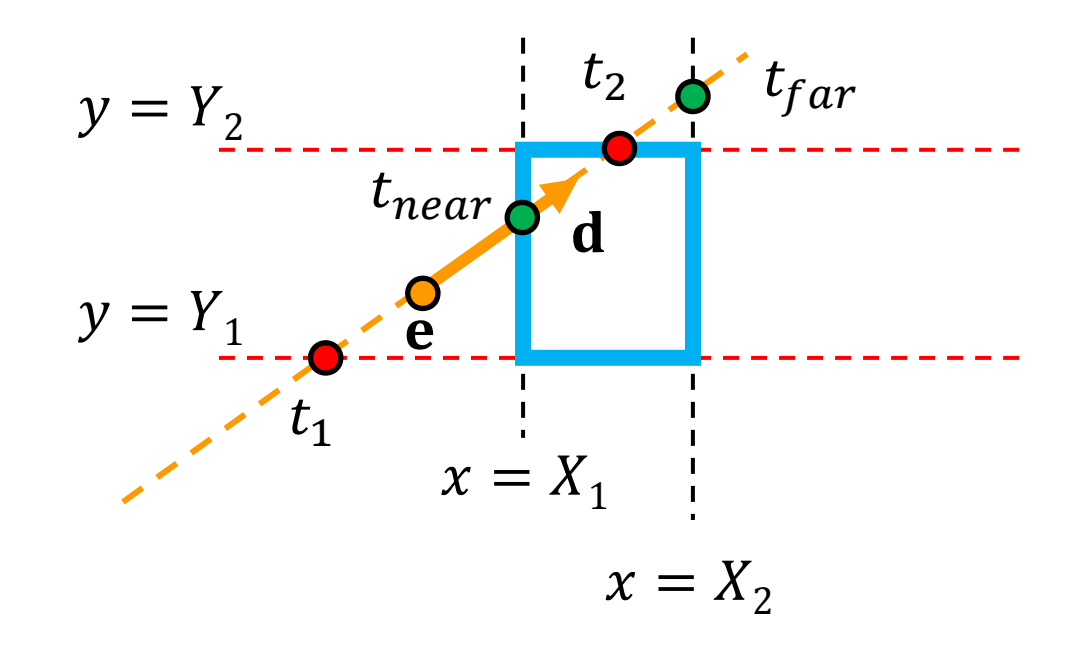
 - be diese Berechnung ist analog zum Strahl-Ebenen Schnitt (beachte Normalen entlang der Achsen), allgemein: $t = \frac{d \mathbf{e} \cdot \mathbf{n}}{\mathbf{d} \cdot \mathbf{n}}$





Schnittberechnung Strahl-AABB: t_{near} und t_{far} bestimmen

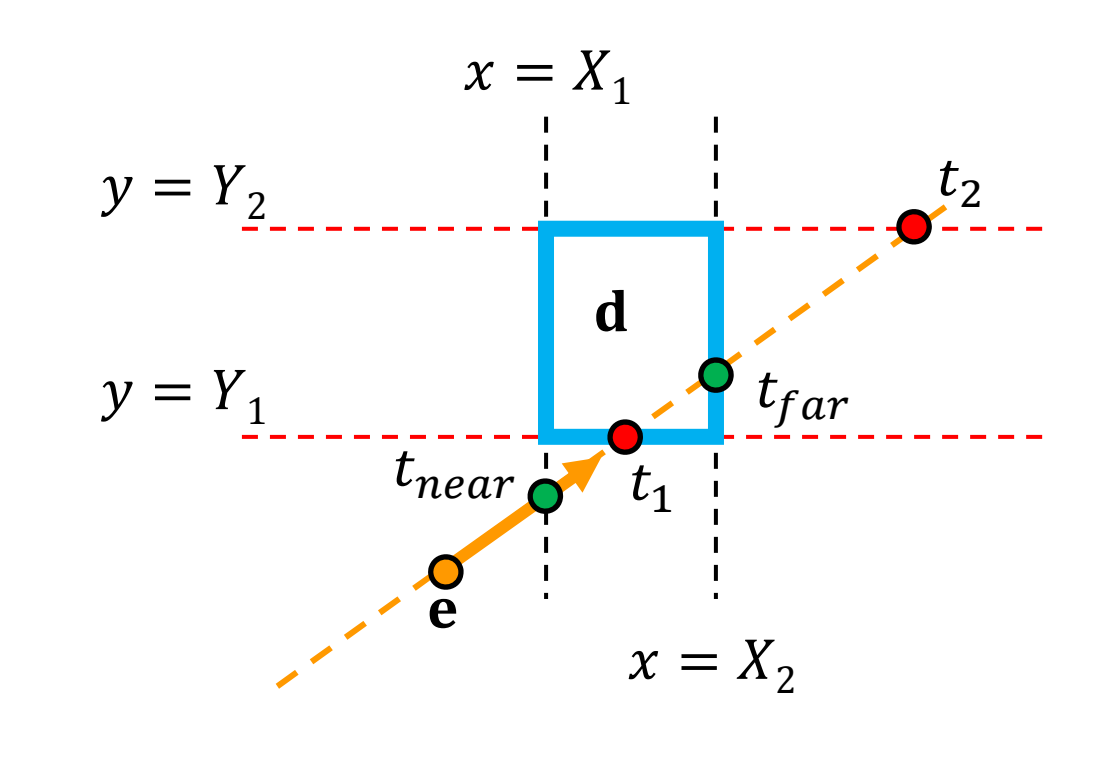
- Berechnung der Schnitte mit den weiteren Ebenen und Mitführen des nahsten und entferntesten Schnitts mit der AABB
 - ightharpoonup Annahme $t_1 < t_2$
 - ightharpoonup wenn $t_1 > t_{near}$, dann $t_{near} = t_1$ (hier nicht der Fall)
 - ightharpoonup wenn $t_2 < t_{far}$, dann $t_{far} = t_2$





Schnittberechnung Strahl-AABB: t_{near} und t_{far} bestimmen

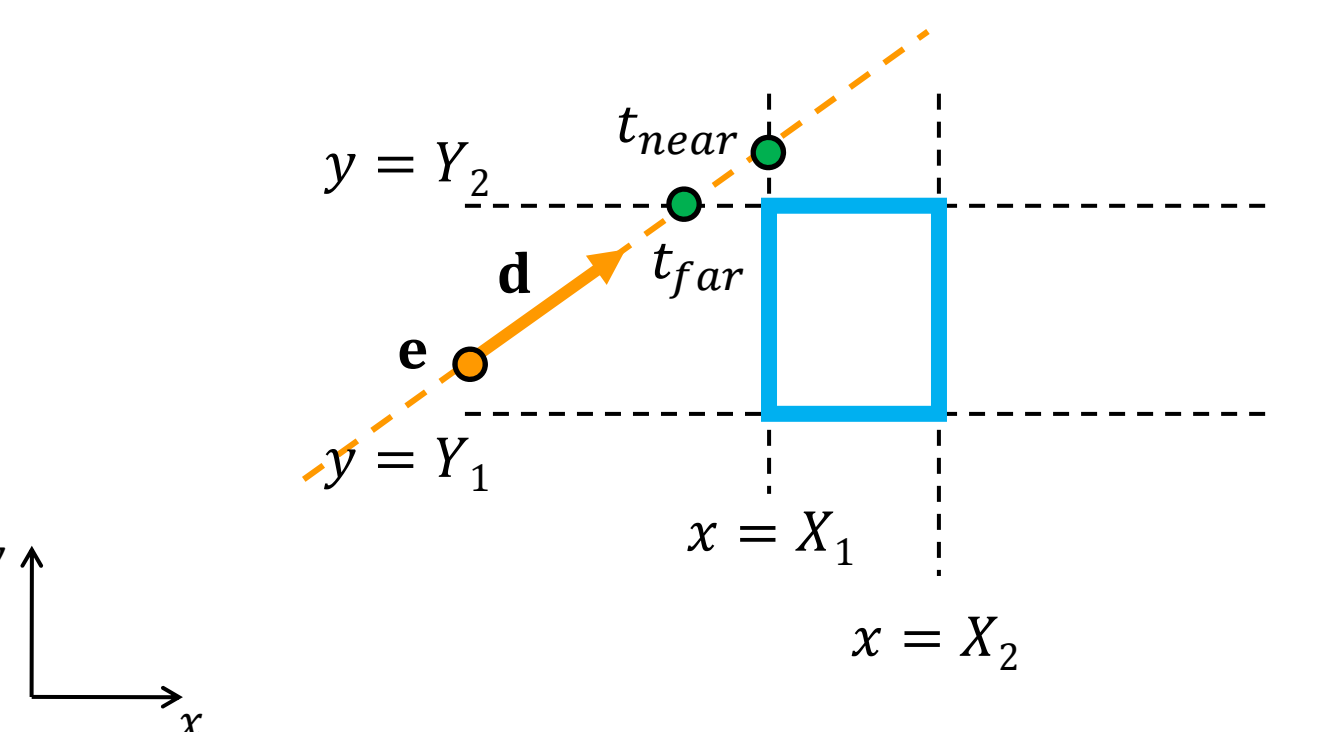
- Berechnung der Schnitte mit den weiteren Ebenen und Mitführen des nahsten und entferntesten Schnitts mit der AABB
 - ightharpoonup wenn $t_1 > t_{near}$, dann $t_{near} = t_1$
 - ightharpoonup wenn $t_2 < t_{far}$, dann $t_{far} = t_2$ (hier nicht der Fall)





Schnittberechnung Strahl-AABB: existiert ein Schnittpunkt?

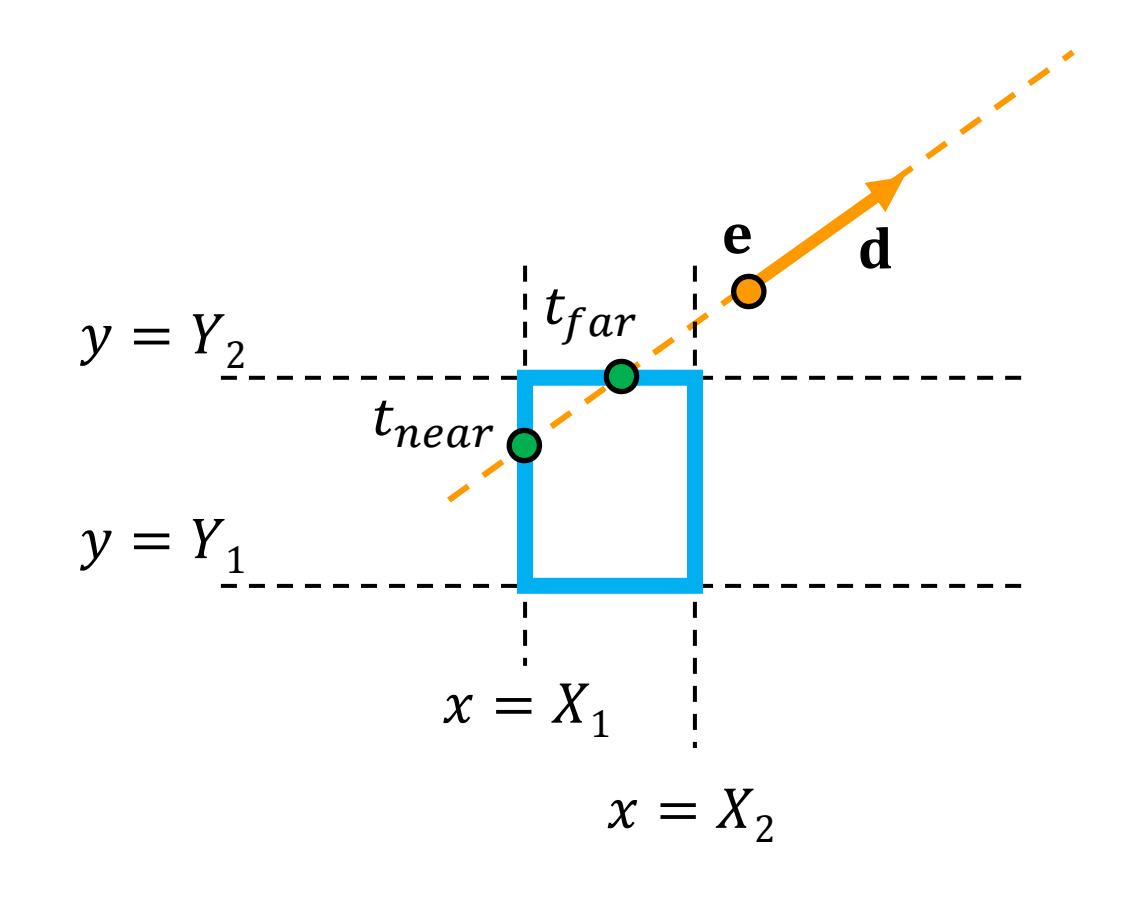
ightharpoonup wenn $t_{near} > t_{far}$ wird die Box nicht getroffen





Schnittberechnung Strahl-AABB: Box hinter dem Strahlursprung?

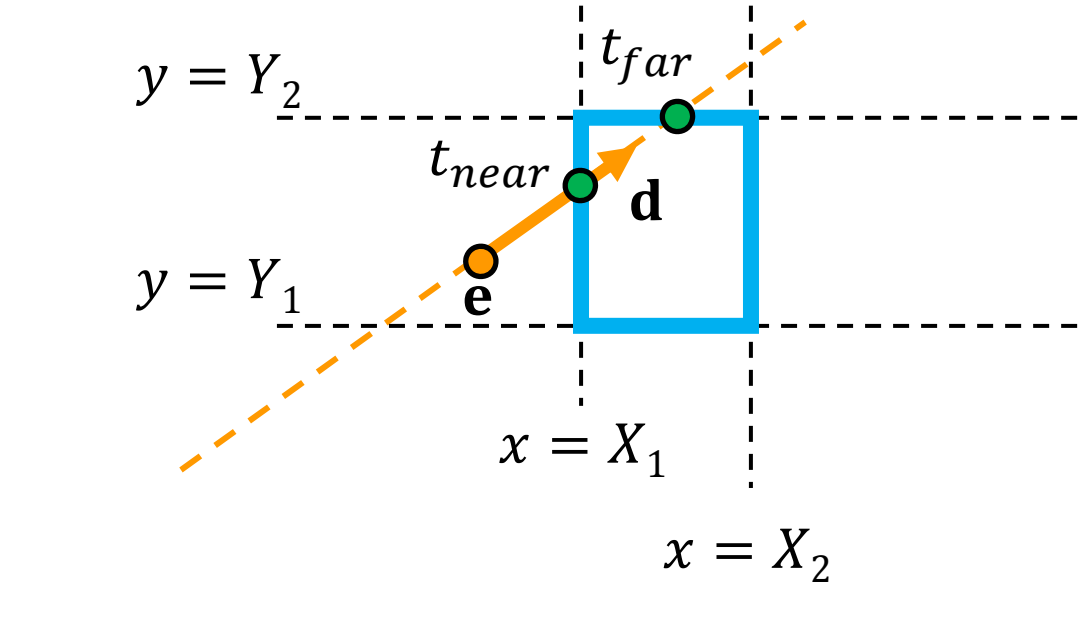
ightharpoonup wenn $t_{far} < 0$ ist die Box hinter dem Strahl





Richtigen Schnittpunkt zurückliefern

- ightharpoonup wenn $t_{near} > 0 o$ nahster Schnittpunkt bei t_{near}
- \triangleright sonst: nahster Schnittpunkt bei t_{far} (Strahl beginnt innerhalb der AABB)
- wir sind zwar gerade nur daran interessiert zu testen, ob es einen Schnitt mit der AABB gibt, aber das Strahlsegment brauchen wir später noch!





Zusammenfassung Schnittberechnung Strahl-AABB

- ▶ für jede Dimension (hier für x gezeigt): wenn $d_x = 0$ (Strahl parallel zu yz-Ebene) \land ($e_x < X_1 \lor e_x > X_2$) \Rightarrow kein Schnitt
- \triangleright für jede Dimension: berechne t_1 und t_2

$$t_1 = (X_1 - e_x)/d_x$$
 $t_2 = (X_2 - e_x)/d_x$

- ightharpoonup wenn $t_1 > t_2$ tausche t_1 und t_2 (benötigt wenn d_x , d_y , $d_z < 0$)
- ightharpoonup aktualisiere t_{near} und t_{far} (nahster und entferntester Schnitt bis zu diesem Zeitpunkt)
 - ightharpoonup wenn $t_1 > t_{near}$, dann $t_{near} = t_1$
 - ightharpoonup wenn $t_2 < t_{far}$, dann $t_{far} = t_2$
- ightharpoonup wenn $t_{near} > t_{far} \rightarrow \text{Box nicht getroffen}$
- ightharpoonup wenn $t_{far} < 0$ ightharpoonup Box hinter dem Strahl
- ightharpoonup wenn $t_{near} > 0$ ightharpoonup nahster Schnitt bei t_{near}
- ightharpoonup sonst ightharpoonup nahster Schnitt bei t_{far}

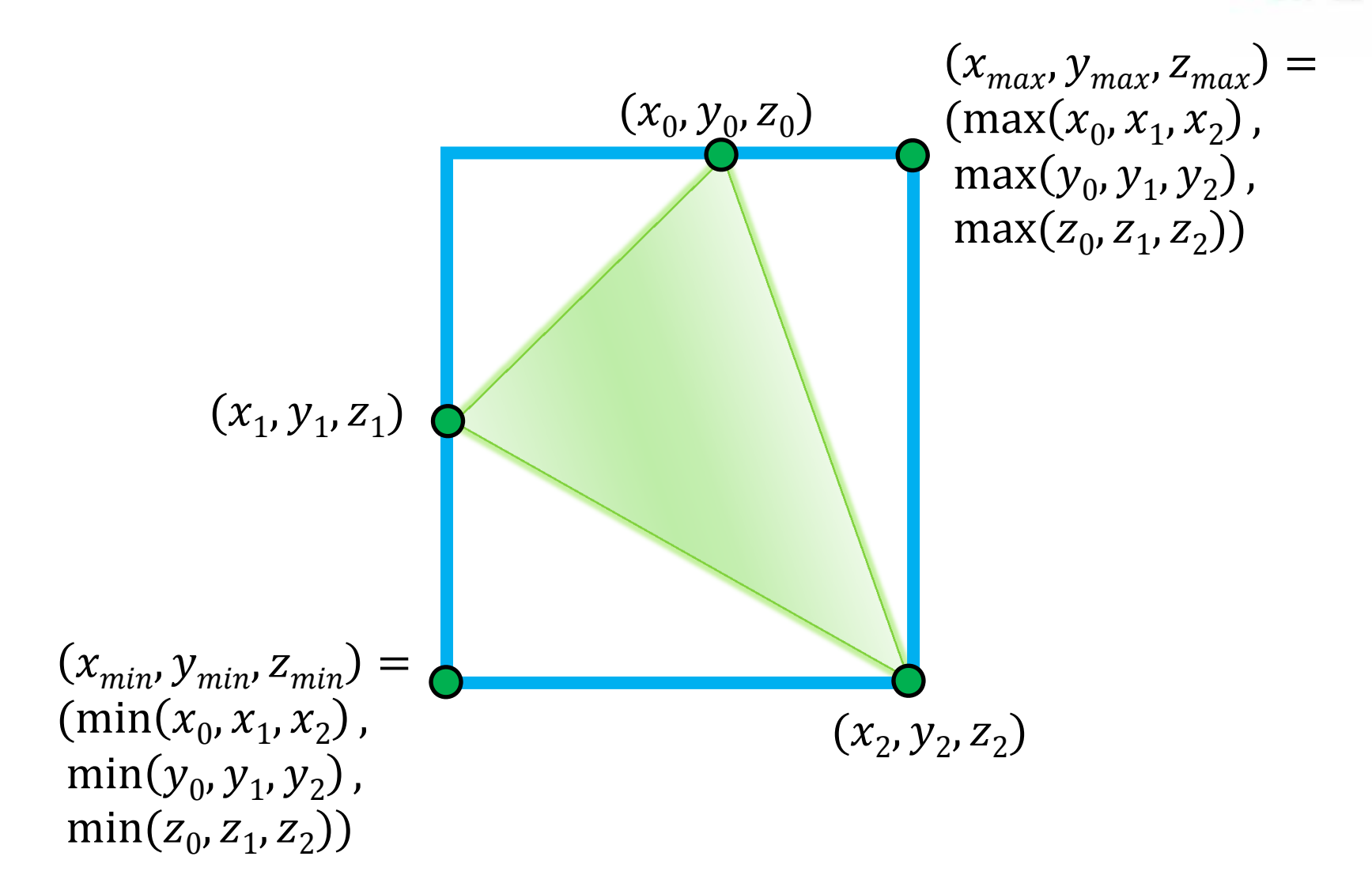


Einfache Optimierungen

- $ightharpoonup 1/d_x$, $1/d_y$ und $1/d_z$ können einmal pro Strahl berechnet werden und für alle AABB-Tests verwendet werden
- Loop-Unrolling
 - Schleifen sind teuer
 - ightharpoonup vermeide t_{near} und t_{far} Vergleich für die erste Dimension
 - SIMD: teste mehrere Strahlen/AABBs parallel
- Verallgemeinerung des Konzepts auf Slabs möglich
 - parallele Ebenenpaare
 - konvexe Form des Hüllkörpers
 - nur Berechnung von t_1 und t_2 ist etwas aufwändiger (wegen der beliebigen Orientierung der Ebenen)

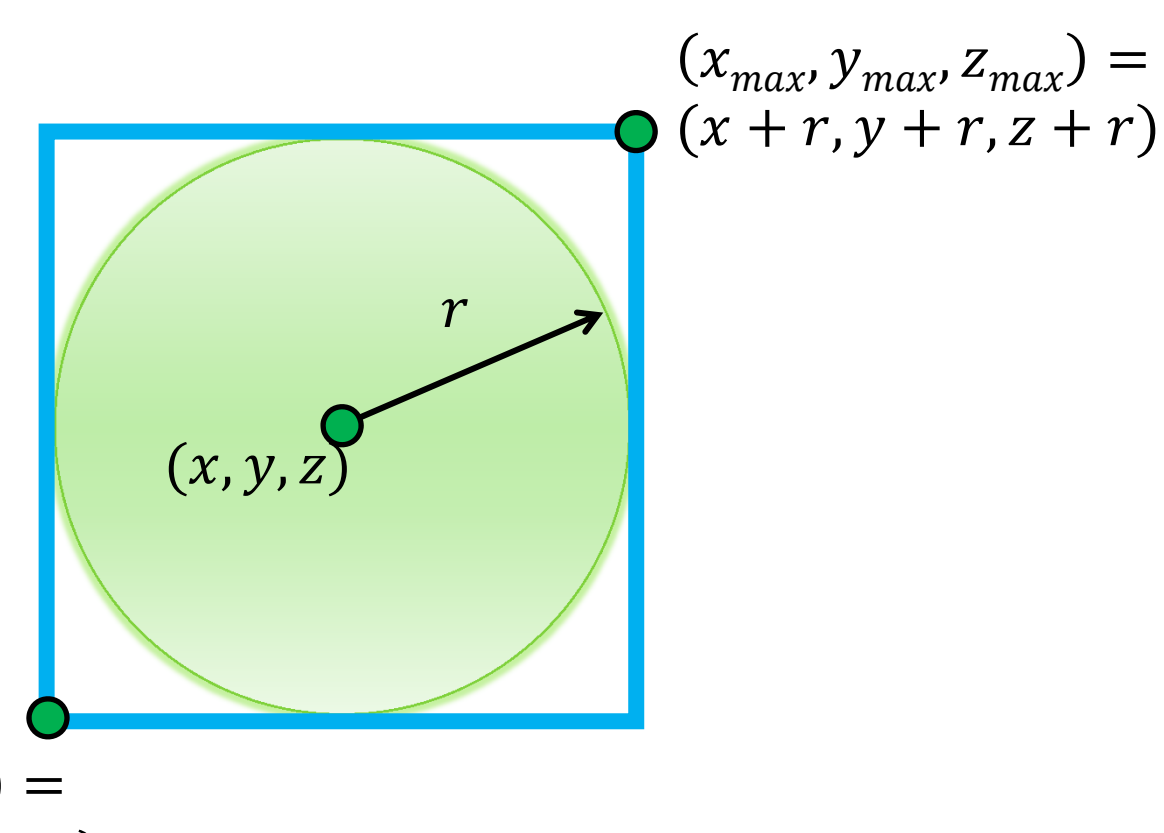
Bounding Box eines Dreiecks





Bounding Box einer Kugel



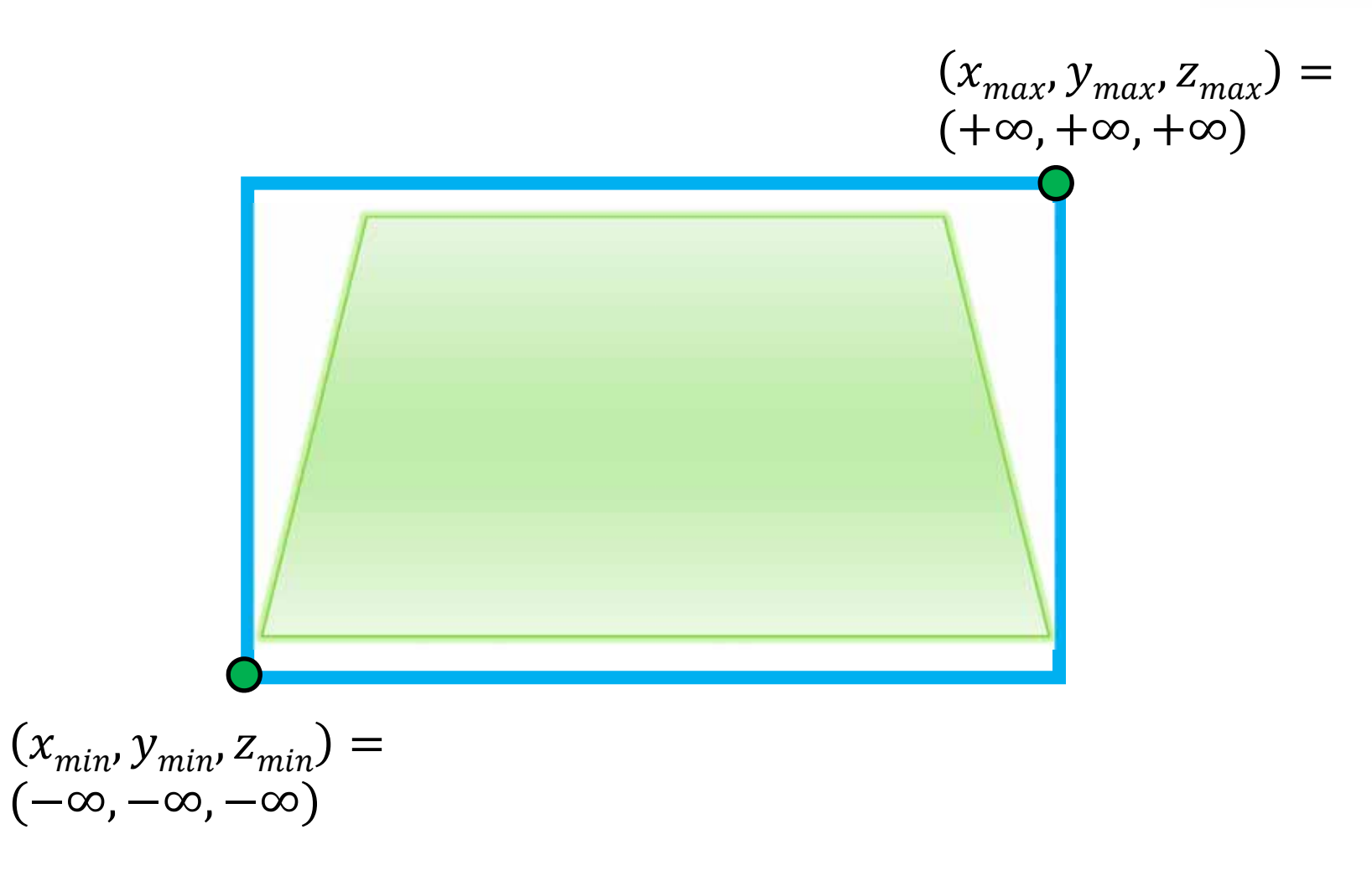


$$(x_{min}, y_{min}, z_{min}) = (x - r, y - r, z - r)$$

Bounding Box einer Ebene

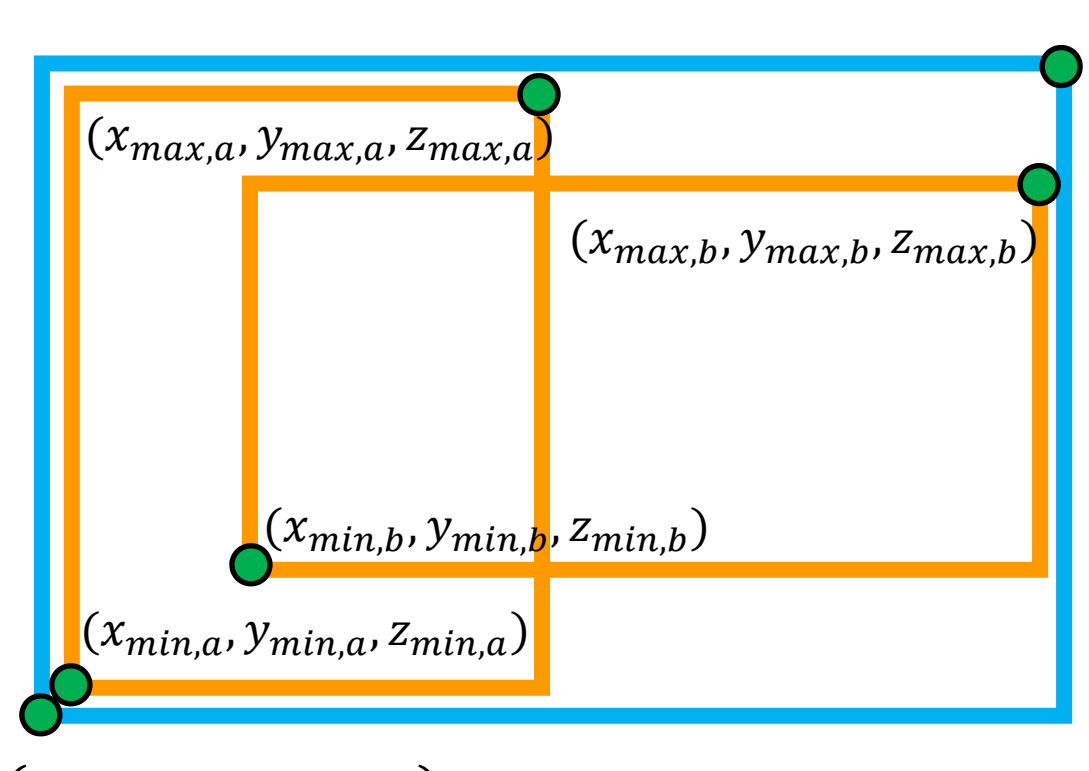


…für eine Ebene die nicht senkrecht zu einer der Achsen ist



Bounding Box einer Gruppe von AABBs



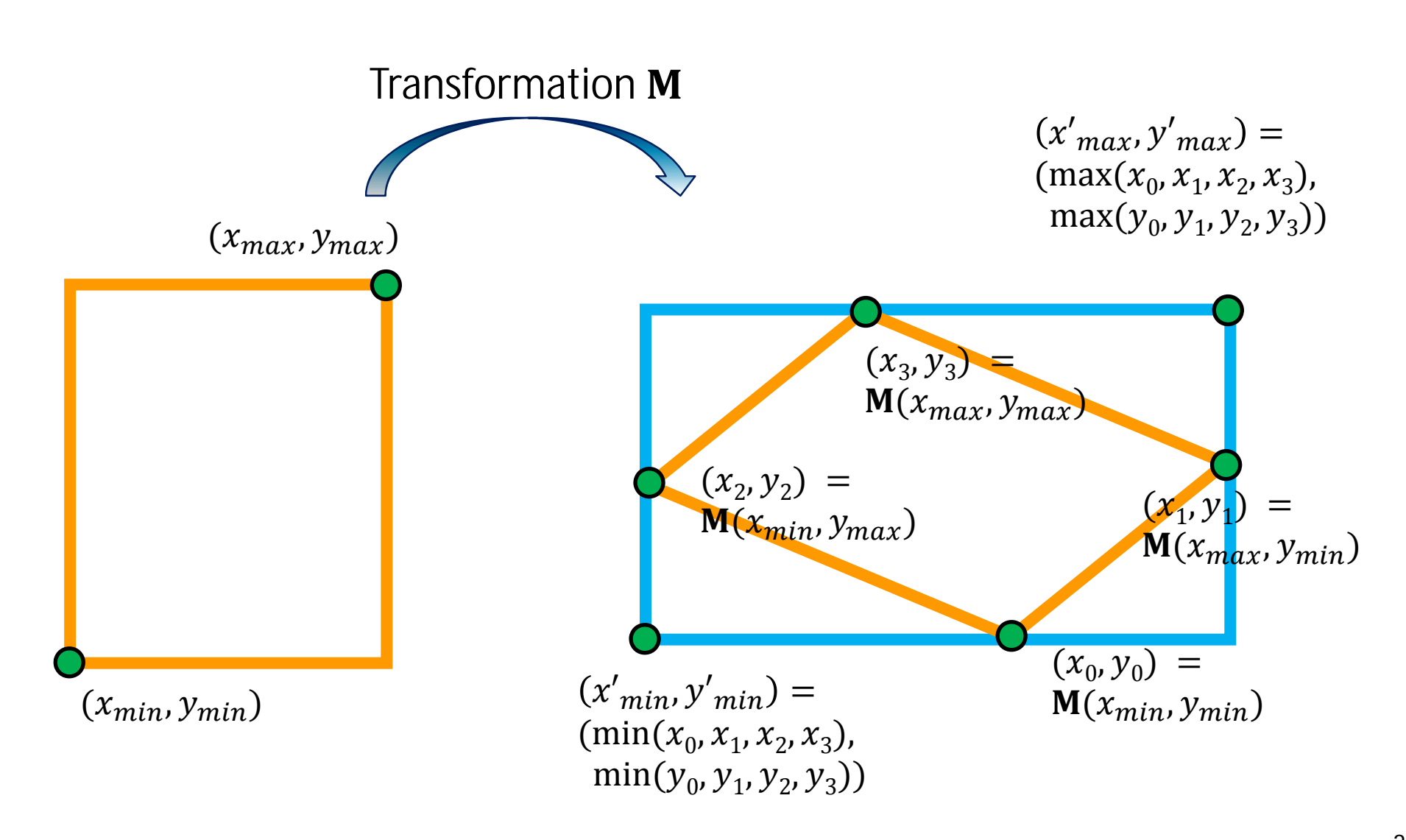


```
(x_{max}, y_{max}, z_{max}) = (\max(x_{max,a}, x_{max,b}), \\ \max(y_{max,a}, y_{max,b}), \\ \max(z_{max,a}, z_{max,b}))
```

```
(x_{min}, y_{min}, z_{min}) = (\min(x_{min,a}, x_{min,b}), \\ \min(y_{min,a}, y_{min,b}), \\ \min(z_{min,a}, z_{min,b}))
```

Bounding Box einer transformierten AABB

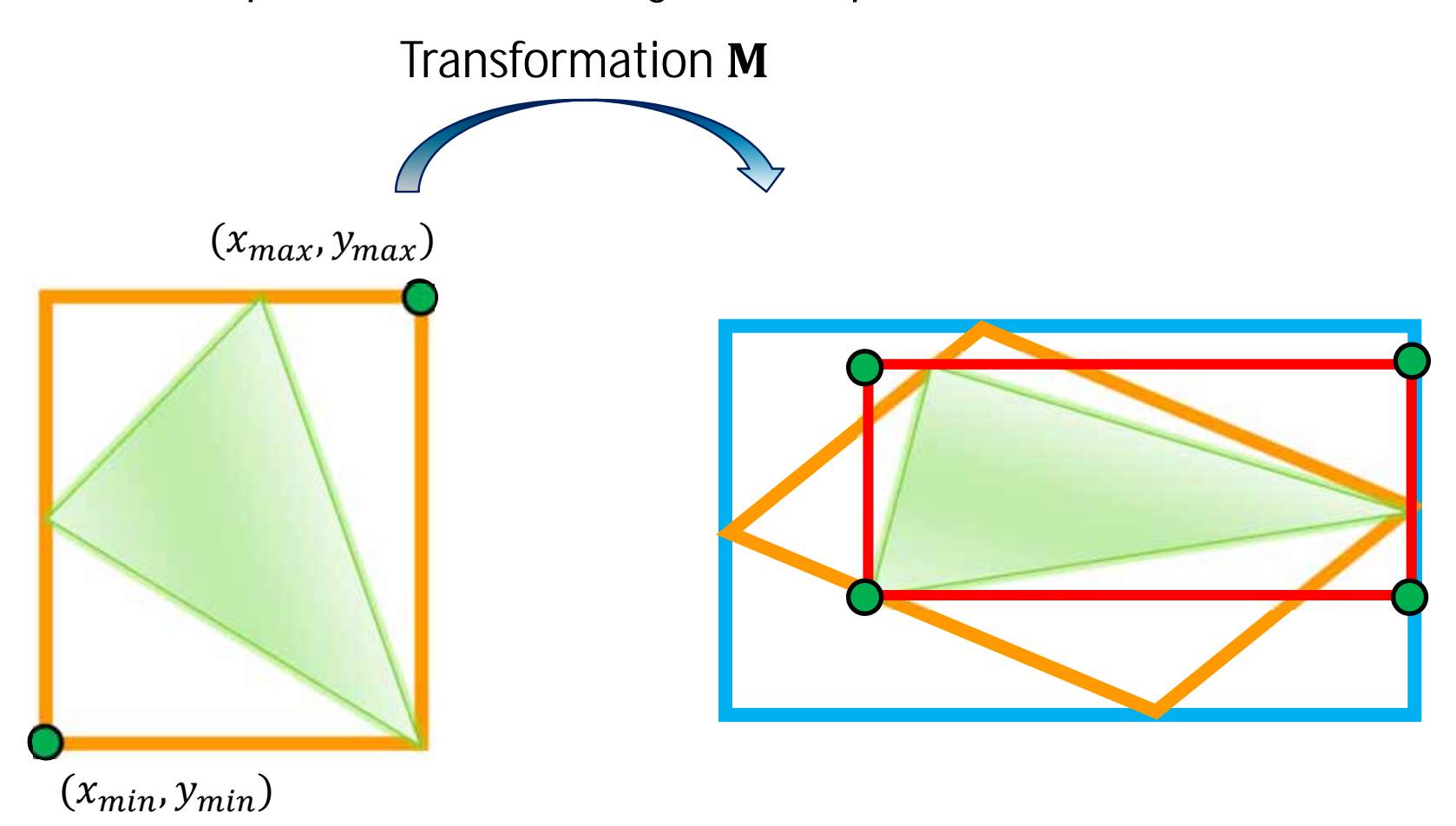




Spezialfall: Dreieck



- kleinere AABB durch Transformation der Eckpunkte des Dreiecks(netzes) und Neubestimmung der Minima und Maxima
- erhöhte Kosten für Bestimmung der AABB, aber i.d.R. deutlich kleinerer Hüllkörper und somit weniger Falschpositive

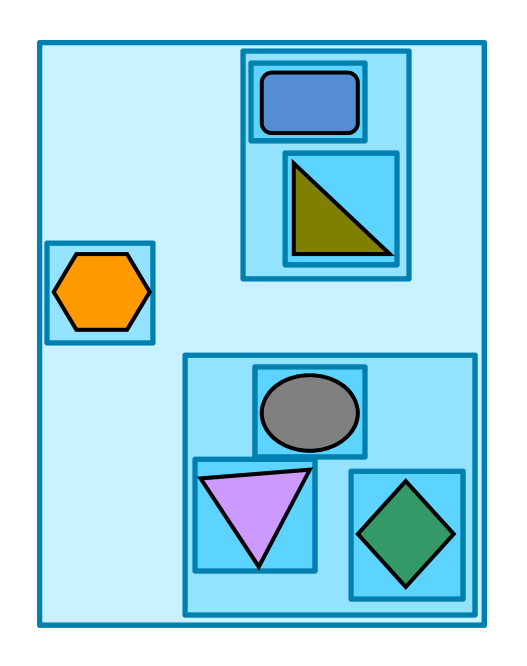


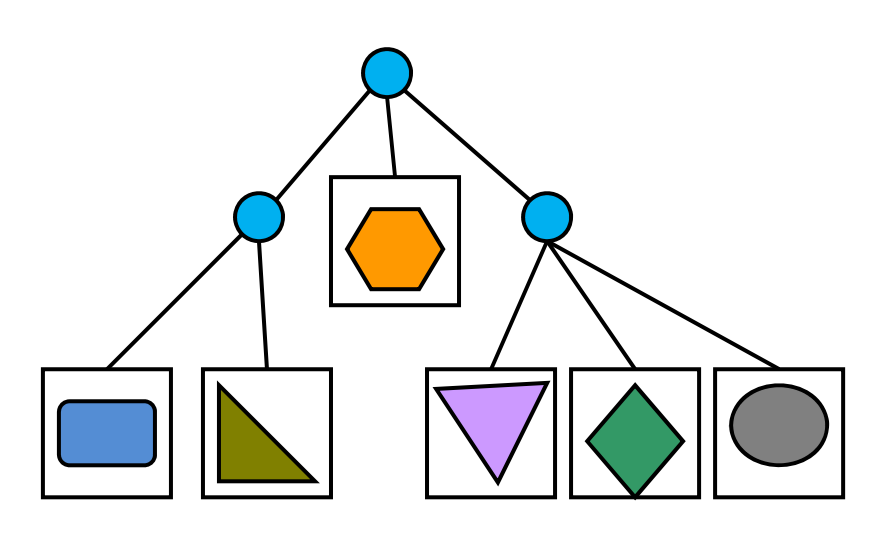
Optimierung: Bounding-Volume-Hierarchien



Grundidee

- Hierarchie von einschließenden Hüllkörpern
- automatisches Zusammenfassen von (Gruppen von) Objekten/Primitiven
- Vorteile:
 - Adaptivität der Raumunterteilung
 - schnellere Suche: Objektgruppen können ausgeschlossen werden
- Bsp. Hierarchie mit Hüllquadern



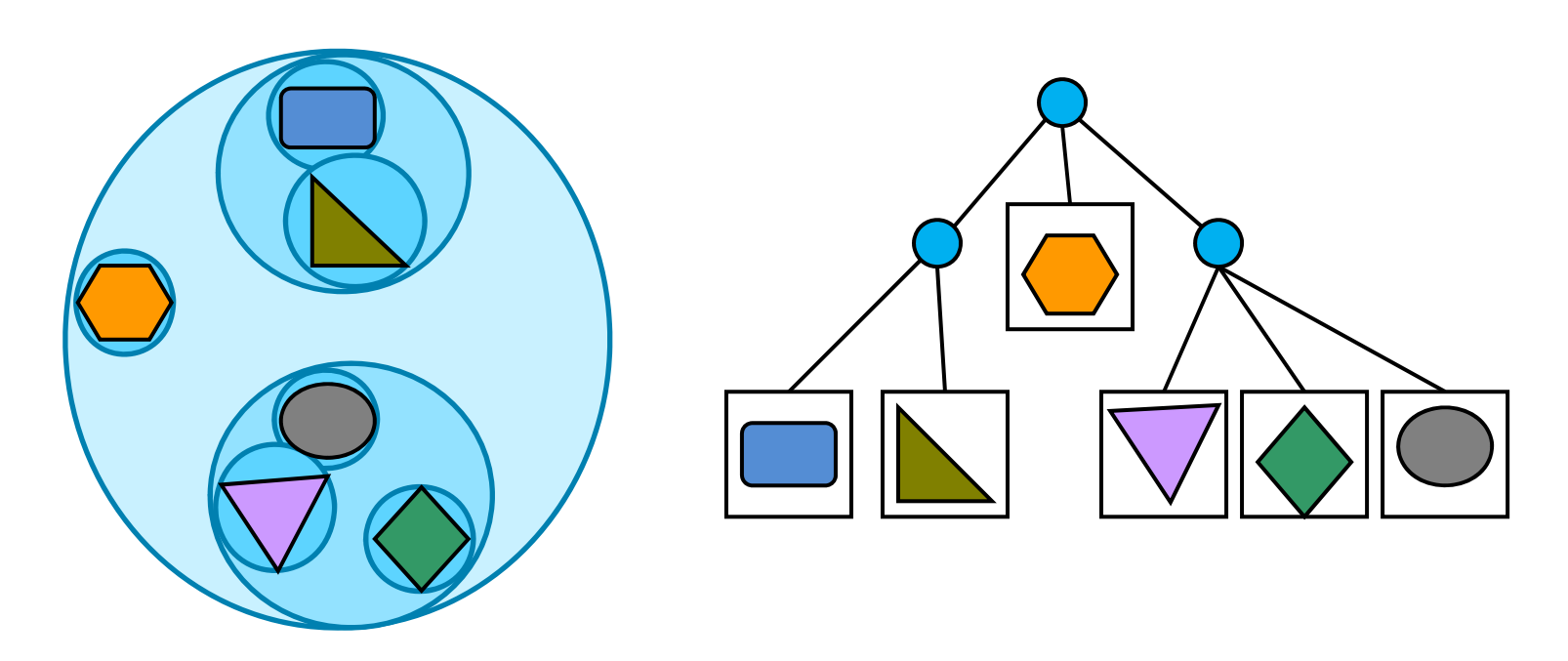


Optimierung: Bounding-Volume-Hierarchien



Grundidee

- Hierarchie von einschließenden Hüllkörpern
- automatisches Zusammenfassen von (Gruppen von) Objekten/Primitiven
- Vorteile:
 - Adaptivität der Raumunterteilung
 - schnellere Suche: Objektgruppen können ausgeschlossen werden
- Bsp. Hierarchie mit Hüllkugeln (im Folgenden verwenden wir nur AABBs)

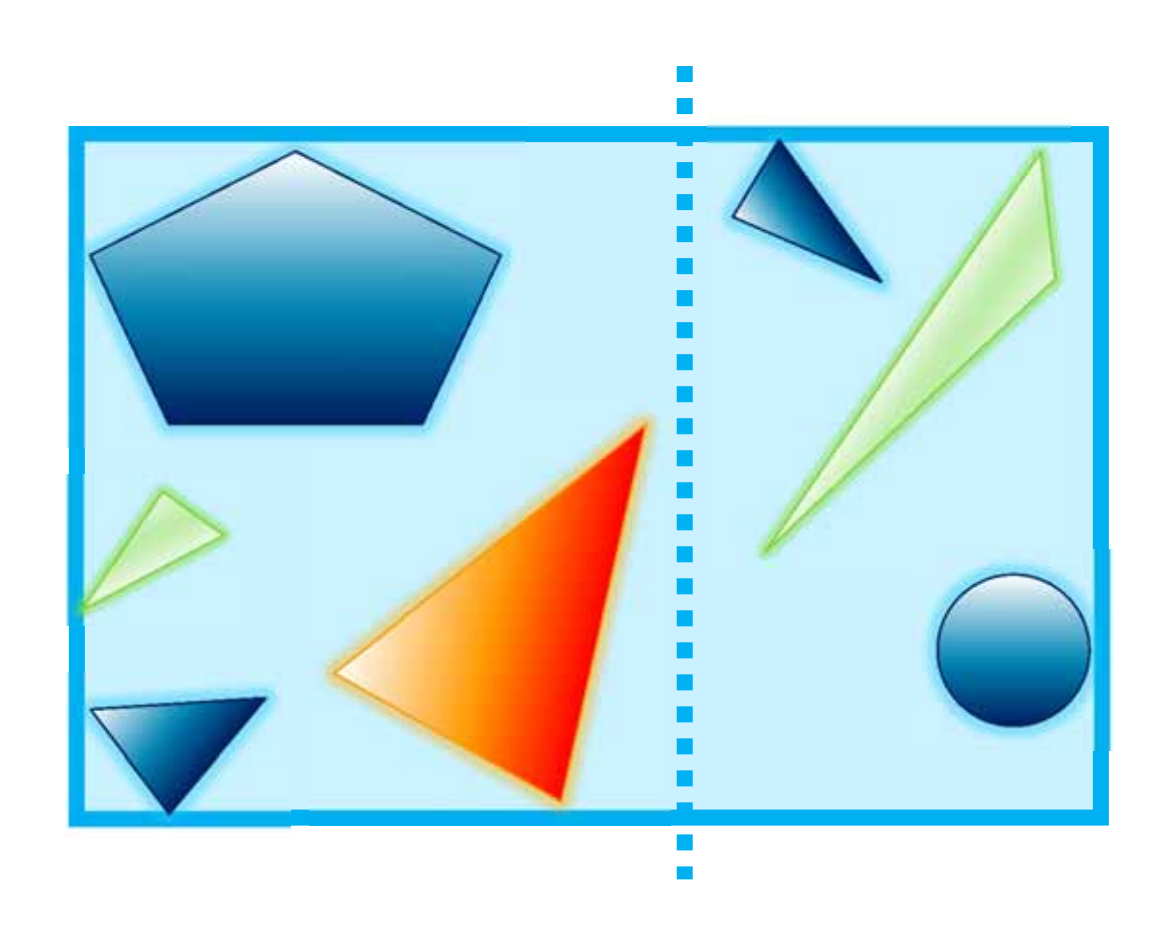


Bounding Volume Hierarchie

■VD

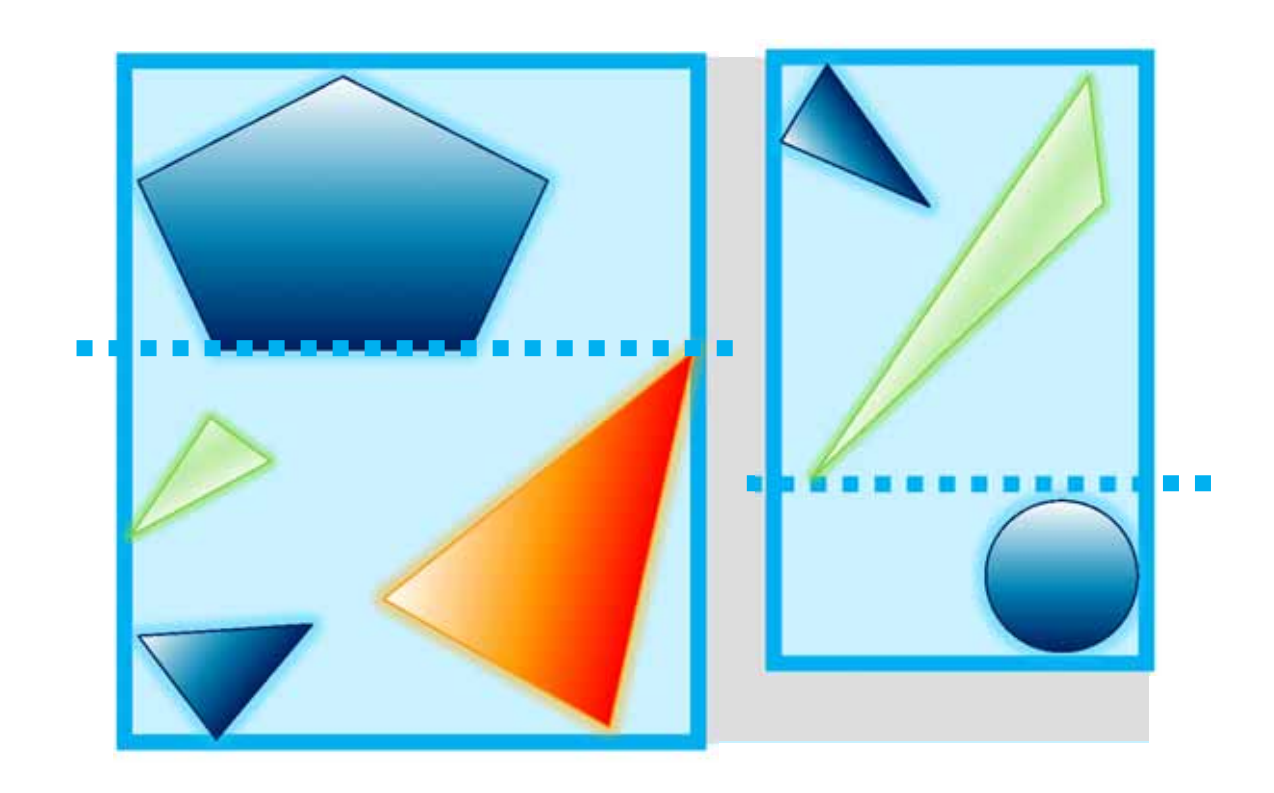
Aufbau der Hierarchie

- bestimme die gemeinsame Bounding Box aller Objekte
- teile die Objekte in zwei Gruppen auf



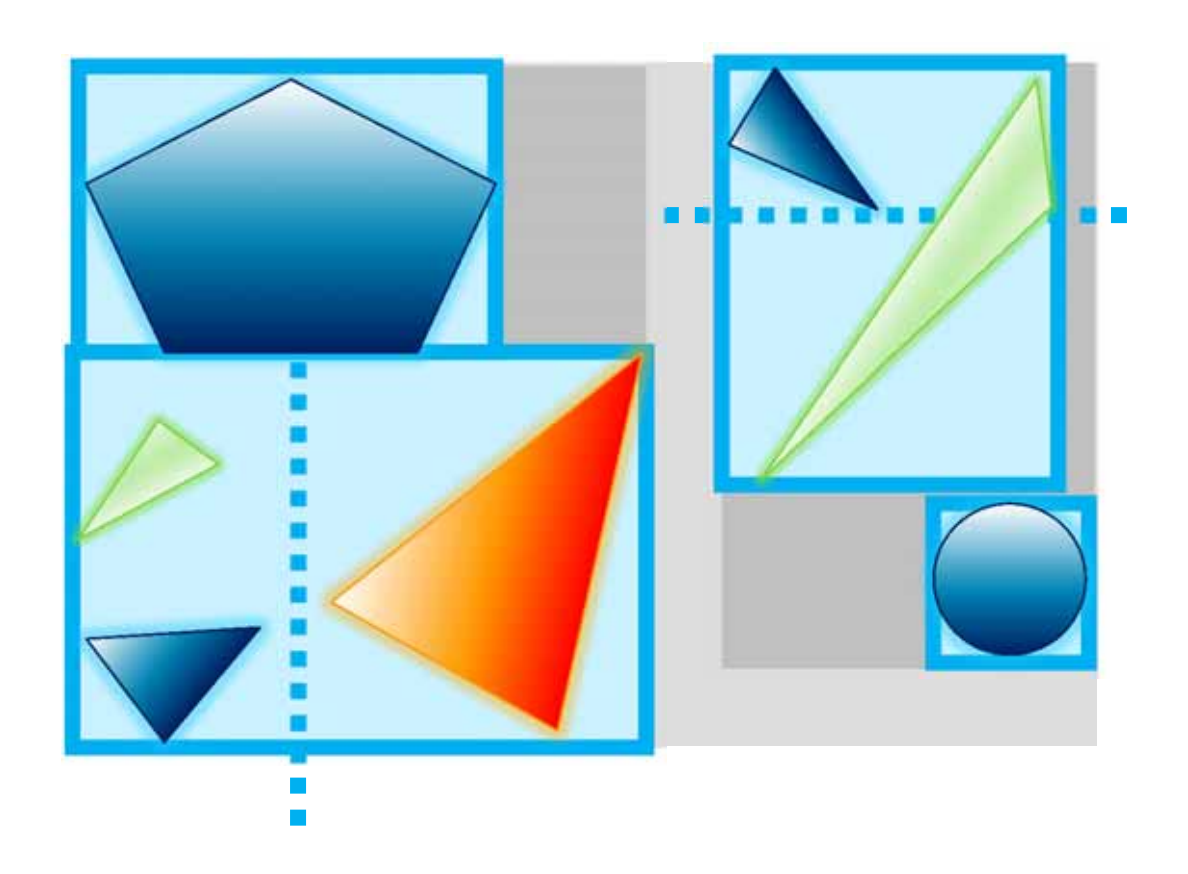
■VD

- bestimme die Bounding Box der Objekte jeder Gruppe
- teile die Objekte jeweils wieder in zwei Gruppen auf
- verfahre so rekursiv weiter



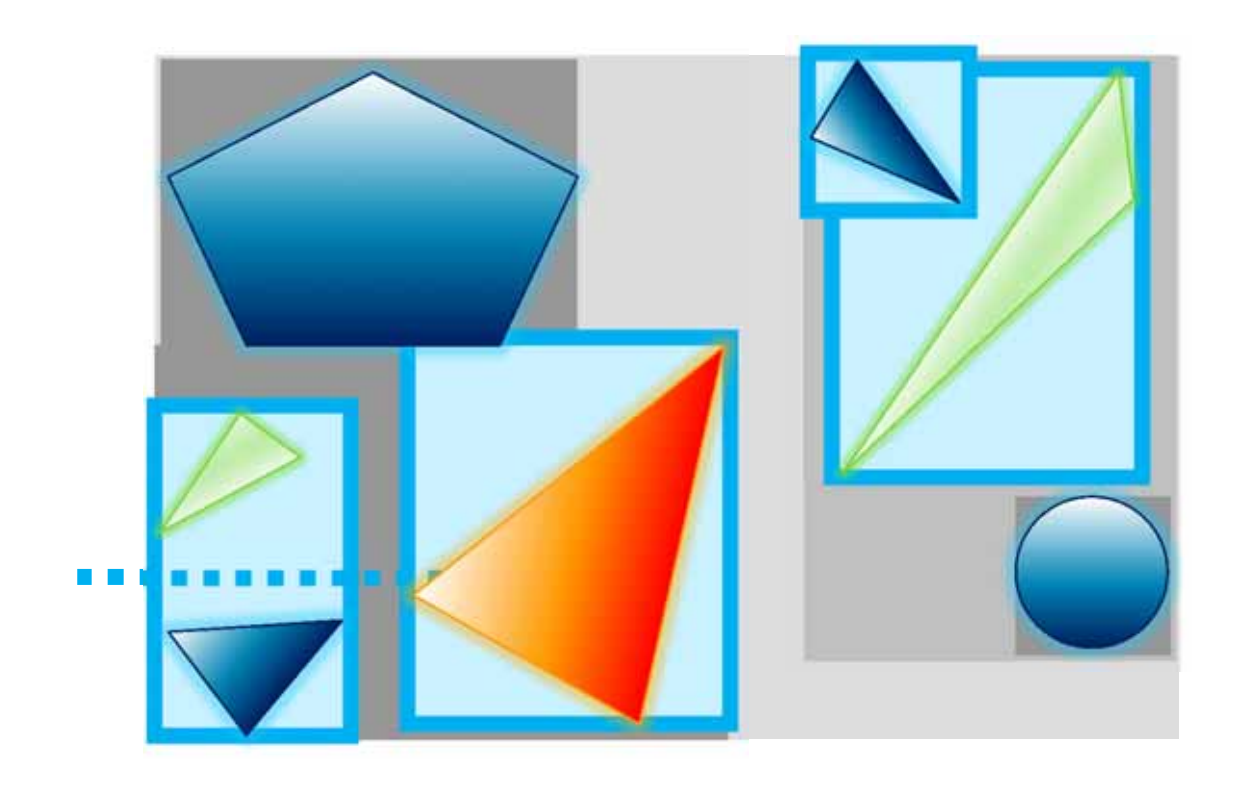
■VD

- bestimme die Bounding Box der Objekte
- teile die Objekte jeweils wieder in zwei Gruppen auf
- verfahre so rekursiv weiter



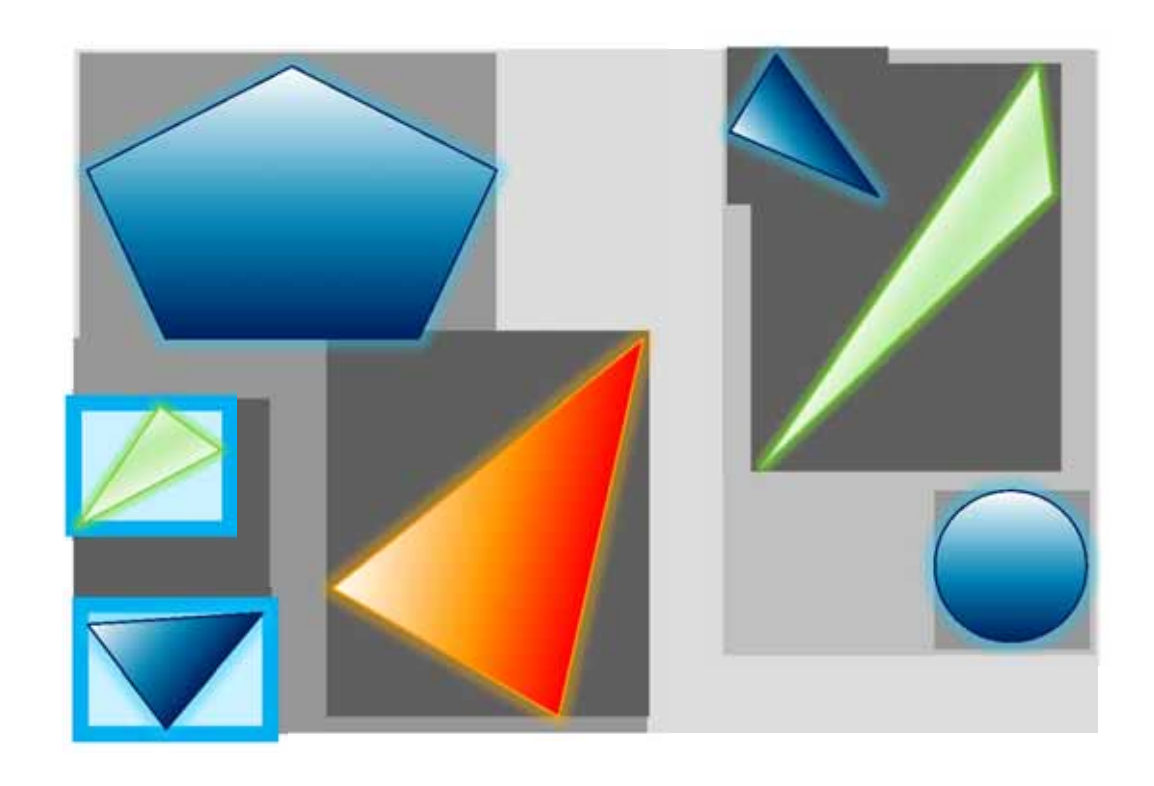
■VD

- bestimme die Bounding Box der Objekte
- teile die Objekte jeweils wieder in zwei Gruppen auf
- verfahre so rekursiv weiter

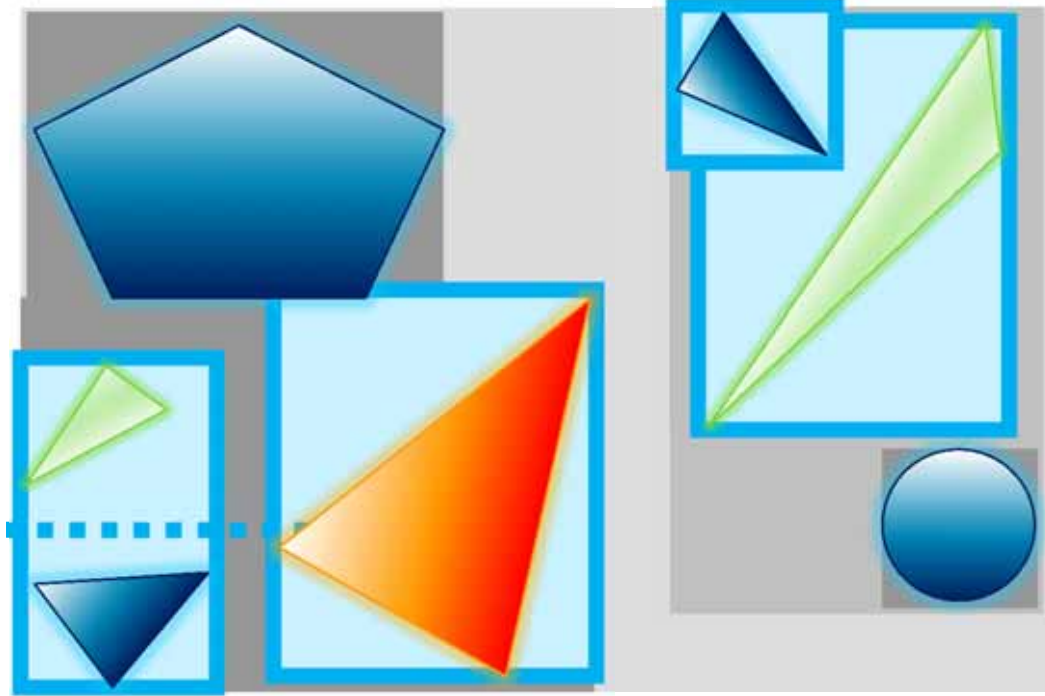




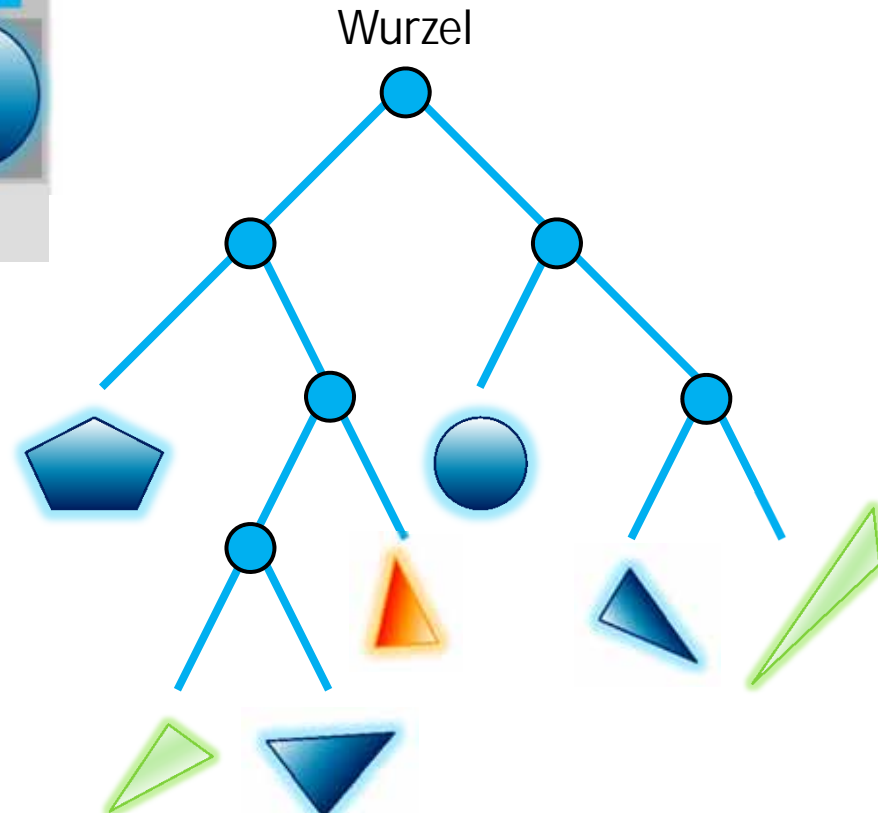
- bestimme die Bounding Box der Objekte
- teile die Objekte in zwei Gruppen auf
- righthappe verfahre so rekursiv weiter (z.B. bis nur noch m Objekte in jeder Gruppe enthalten sind, hier m=1)







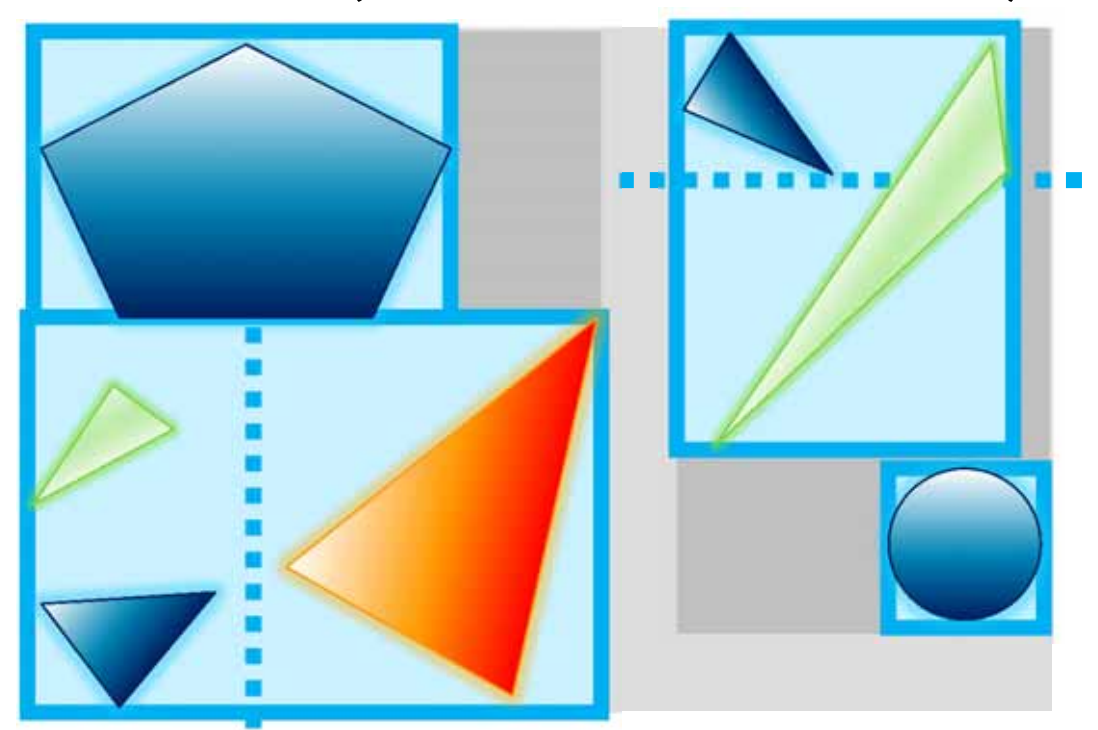
jeder Knoten speichert eine AABB und Verweis auf weitere Kindknoten bzw. auf Objekte/Primitive





Unterschiedliche Unterteilungskriterien (später mehr)

- unterteile in der Mitte senkrecht zur Achse der größten Ausdehnung
- ightharpoonup unterteile einmal entlang der x-Achse, dann y-Achse, dann z-Achse, ...
- sortiere die Objekte (typ. entlang Achse der größten Ausdehnung) und unterteile so, dass in jeder Teilmenge etwa die gleiche Anzahl Objekte ist
- verwende Szenengraph bzw. Modellhierarchie
- minimiere Kostenfunktion (z.B. Surface Area Heuristics)

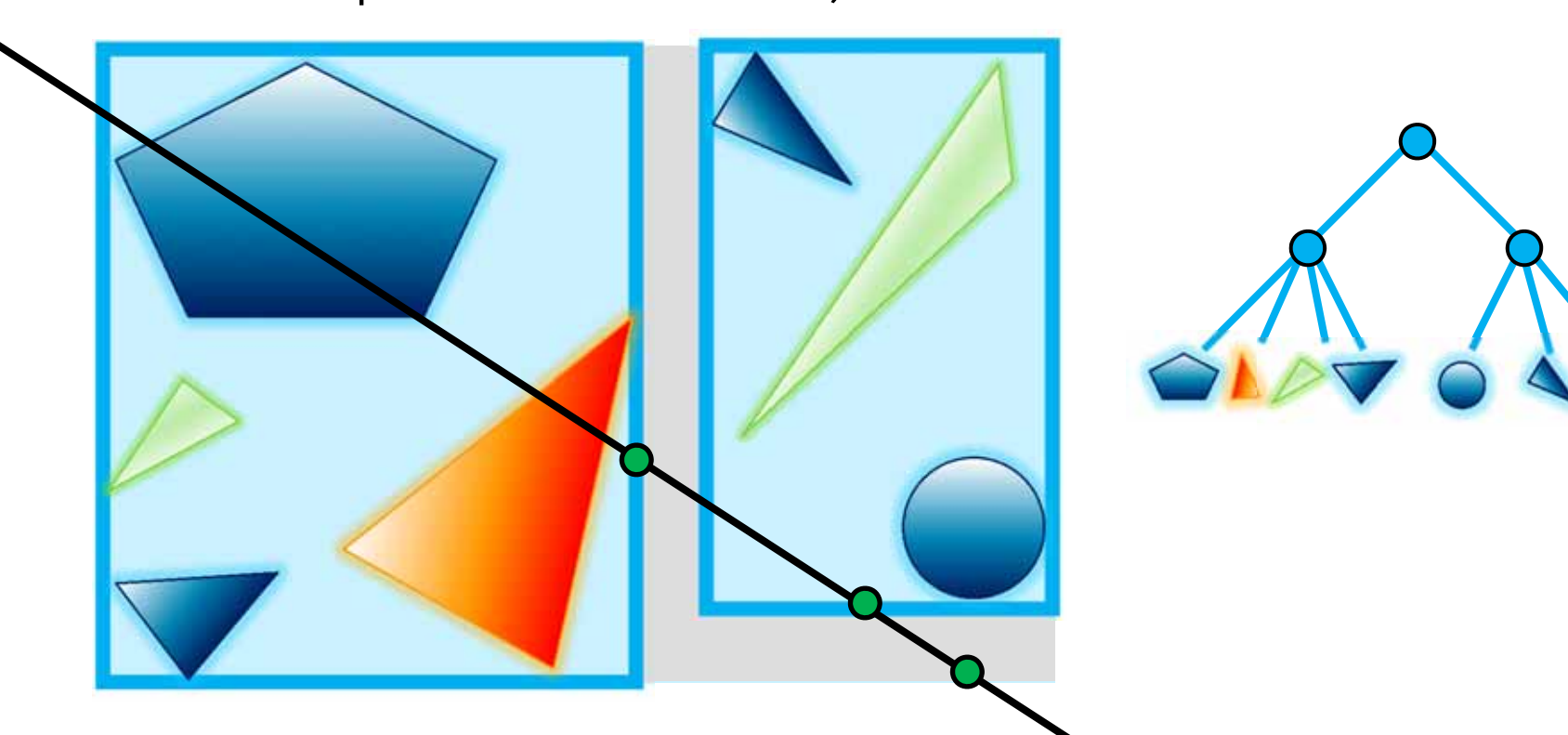


Schnittberechnung mit BVH



Beschleunigung der Schnittberechnung mit BVHs

- überprüfe auf Schnitt mit der Wurzel
- dann steige rekursiv ab (beginnend mit dem näheren Kindknoten)
- teste auf Schnitt mit Objekten im Kindknoten (steige evtl. weiter ab)
- prüfe anschließend noch die weiter entfernten Knoten (sofern ein näherer Schnittpunkt existieren kann)

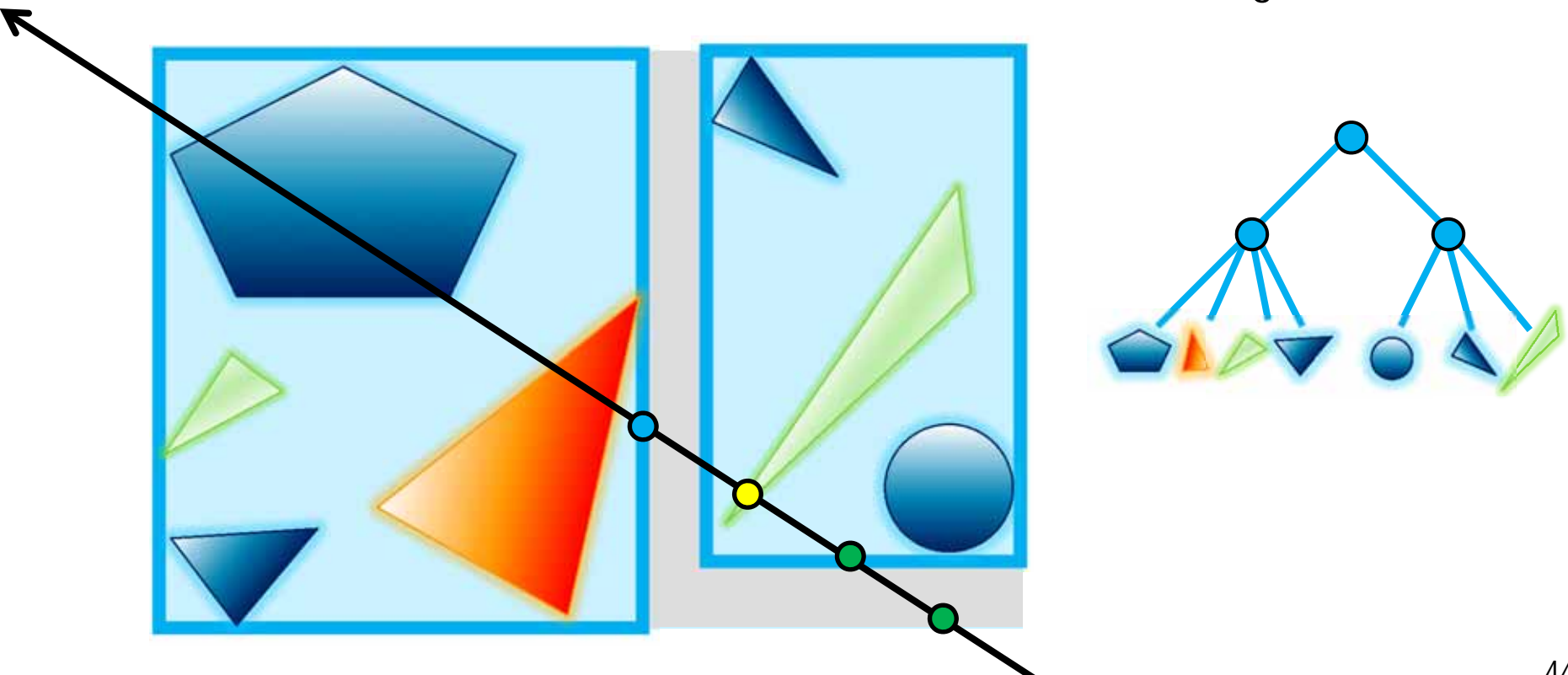


Schnittberechnung mit BVH



Beschleunigung der Schnittberechnung mit BVHs

- teste auf Schnitt mit Objekten im Kindknoten (hier kein weiterer Abstieg, wir sind schon in einem Blattknoten)
- Schnittpunkt wurde berechnet
- der Schnittpunkt ist näher als die hintere AABB (Schnittpunkt •)
 - → keine weiteren Tests in diesem Ast des Baums notwendig

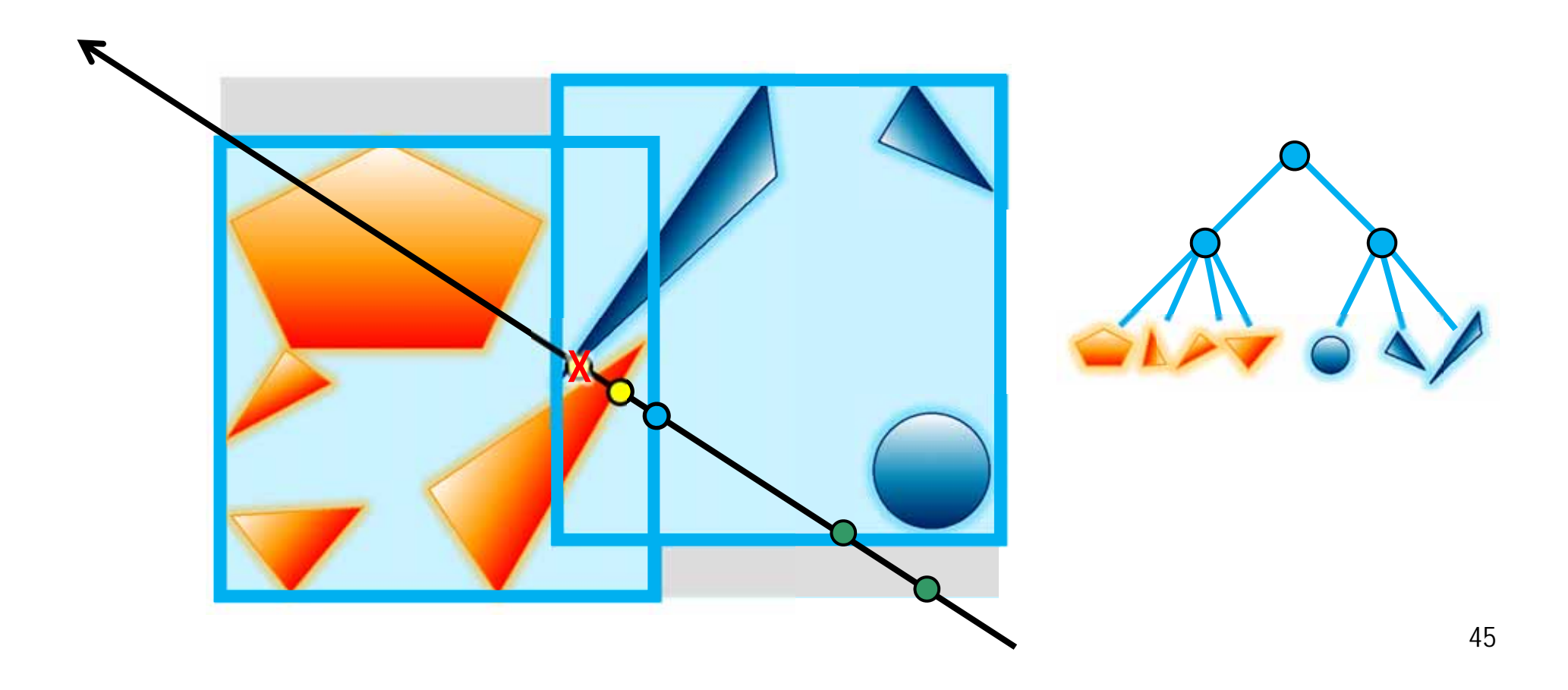


Schnittberechnung mit BVH



Beschleunigung der Schnittberechnung mit BVHs

- Vorsicht: liefere einen gefundenen Schnittpunkt nicht sofort zurück
- es könnte einen näheren in einem anderen Knoten geben
- Grund: Hüllkörper können sich überlappen





Fazit

- Vorteile
 - Konstruktion und Traversierung ist einfach
 - resultiert in einem Binärbaum (fixe, geringe Verzweigung)
 - Komplexität
 - im Mittel $O(\log n)$ Schnitttests für n Objekte/Primitive in der Szene (vgl. ohne BVH werden O(n) Schnitttests benötigt)
 - ightharpoonup Aufbau $O(n \log n)$ wenn in der Mitte der AABBs unterteilt wird
 - Aufbau $O(n \log^2 n)$, wenn die Objekte in einer AABB in zwei (etwa) gleich große Gruppen geteilt werden und eine $O(n \log n)$ Sortierung verwendet wird
- Herausforderungen
 - ➤ Finden einer guten Unterteilung ist schwierig (weil nicht unbedingt klar ist, was eigentlich gut ist: wir wissen nicht vorab, welche Strahlen beim Ray Tracing verschossen werden)
 - ungeschickte Unterteilung kann zu schlechter Aufteilung führen

Performance von BVHs

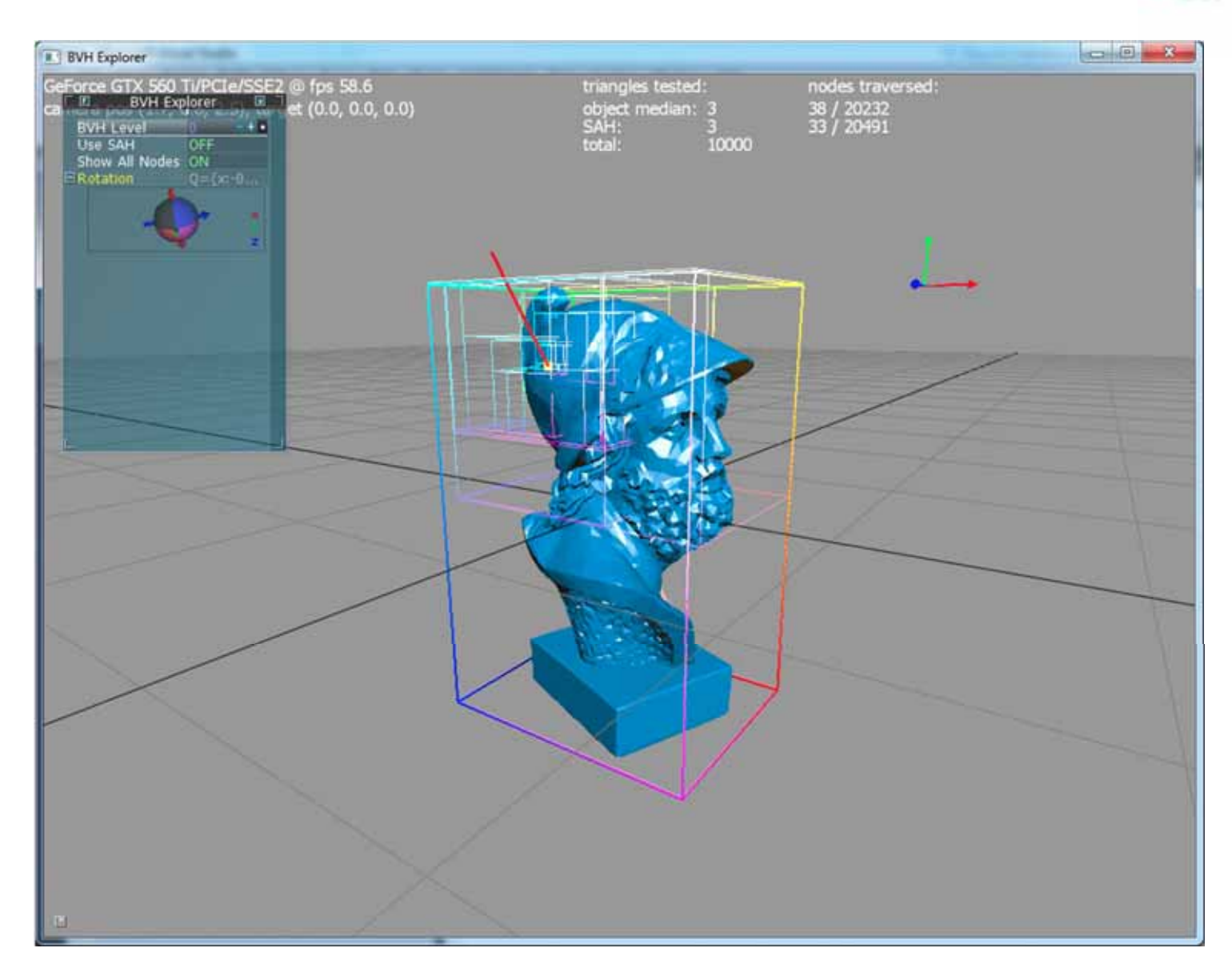


- Path Tracing
 - > 32x stochast. Supersampling, Auflösung 256² Pixel, 480000 Dreiecke
 - ▶ insgesamt ca. 6.3 · 10⁶ Primär-, Sekundär- und Schattenstrahlen
- ▶ Brute Force (176462sec ≈ 49h):
 - ightharpoonup ca. $3 \cdot 10^{12}$ Schnitttests
- Bounding Volume Hierarchie
 - Strategie: Unterteilung in 2 gleich große Gruppen
 - Aufbau 18.3sec, Rendering 59sec
 - 262143 AABB Knoten
 - ightharpoonup 7.5 · 10⁸ AABB Tests
 - ▶ 1.3 · 10⁸ Schnitttests mit Dreiecken
- Vergleich
 - ▶ Brute Force: 3431× Schnitttests
 - BVH Beschleunigung: 2200× (BVH Aufbau berücksichtigt)



BVH Demo

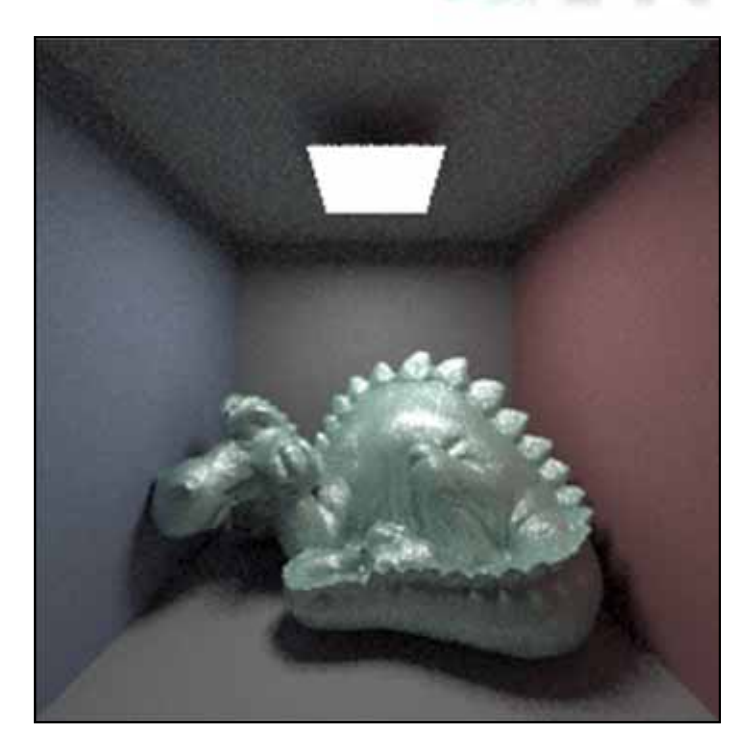




Inhalt: Räumliche Datenstrukturen

⊴VD

- Analyse der Kosten bei Ray Tracing
- Ansätze zur Beschleunigung von Ray Tracing
- Bildraumverfahren
- Bounding Volumes (Hüllkörper)
- Räumliche Datenstrukturen
 - Bounding Volume Hierarchies
 - reguläre und adaptive Gitter
 - ▶ kD-Bäume und BSP-Bäume





Grundidee, Prinzip

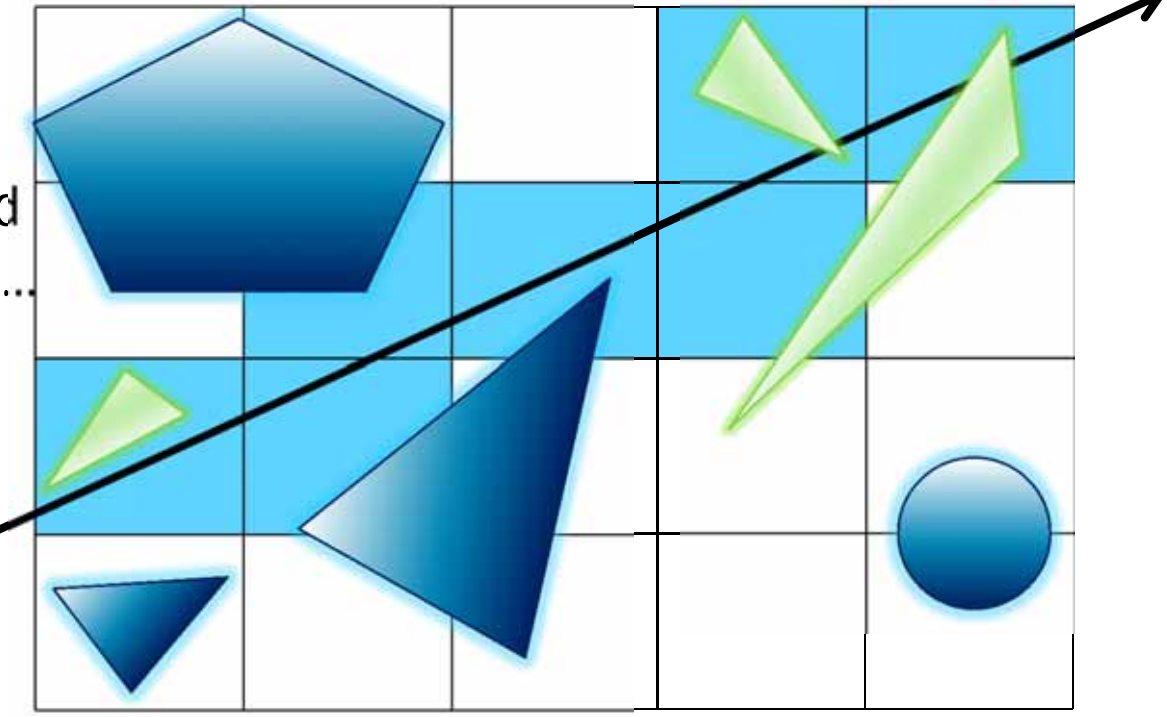
Unterteilung des Raumes in Zellen gleicher Größe und Form (daher die Bezeichnung "regulär"), ausgehend von der Bounding-Box der Szene

Eintrag der Objekte in Zellen, die von ihnen geschnitten werden

Traversierung der vom Strahl getroffenen Zellen und Schnittberechnung

mit den enthaltenen Objekten

einfaches Traversieren und Aufbau der Datenstruktur.. aber lohnt sich der Verzicht auf Adaptivität?

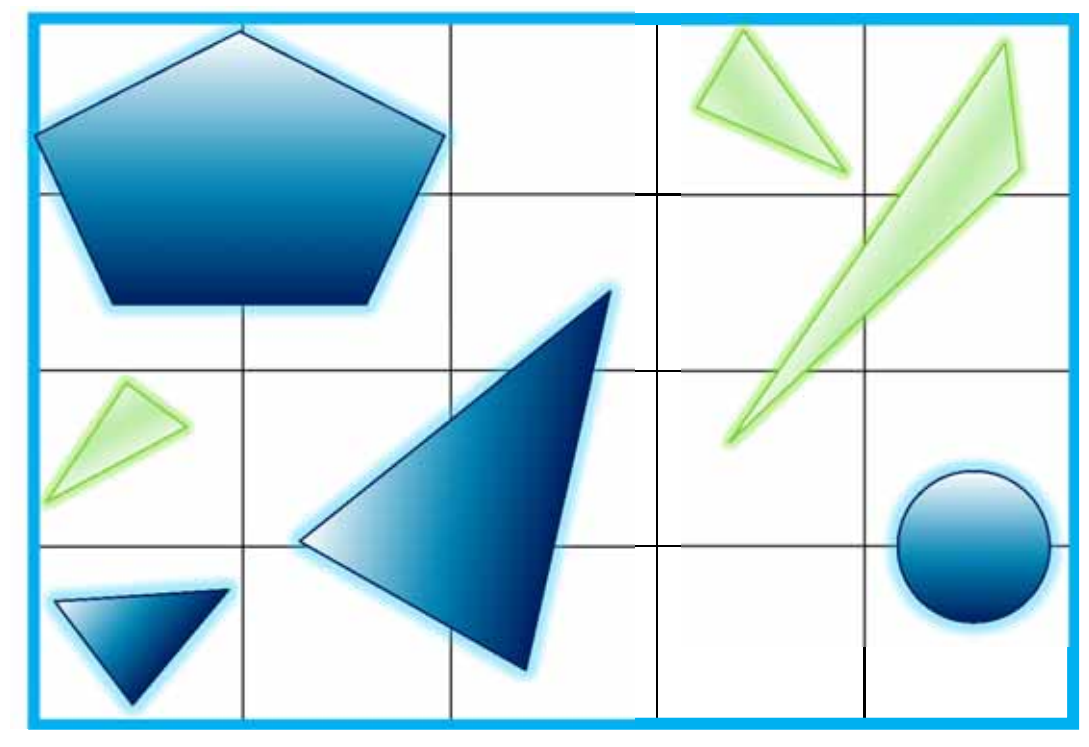




Größe und Dimension des Gitters

- bestimme Bounding Box der gesamten Szene
- wähle Gitterauflösung n_x , n_y , n_z (n_x muss nicht gleich n_y sein etc.), d.h. die Zellen sind beliebige (aber immer gleich große) Quader

▶ hier: $n_x = 5$, $n_y = 4$



Bounding Box

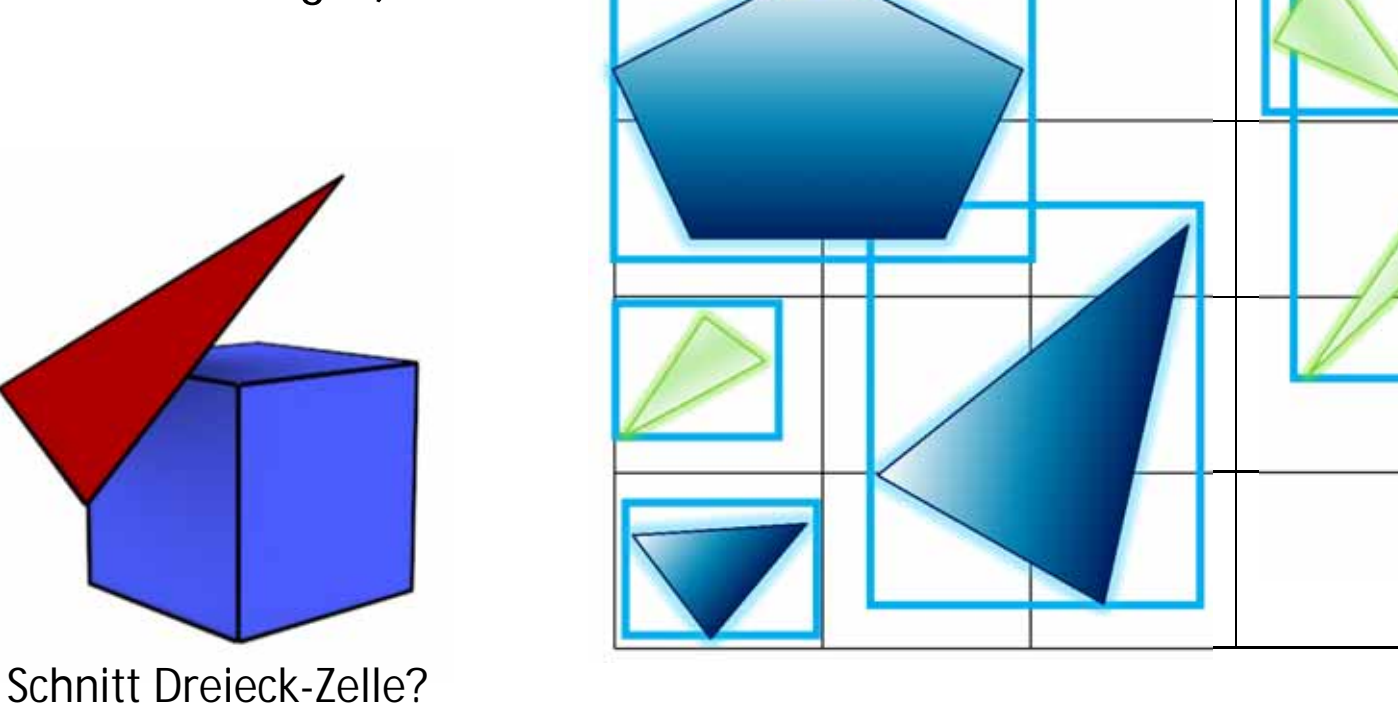


Eintragen der Primitive in das Gitter

- bestimme die Gitterzellen, die ein Objekt schneidet
 - einfach und konservativ: verwende AABB des Objekts
 - AABB kann vor exaktem Test auch zur Vorauswahl der Zellen dienen

überlappt ein Objekt mehrere Zellen, so wird es in jede Zelle eingetragen

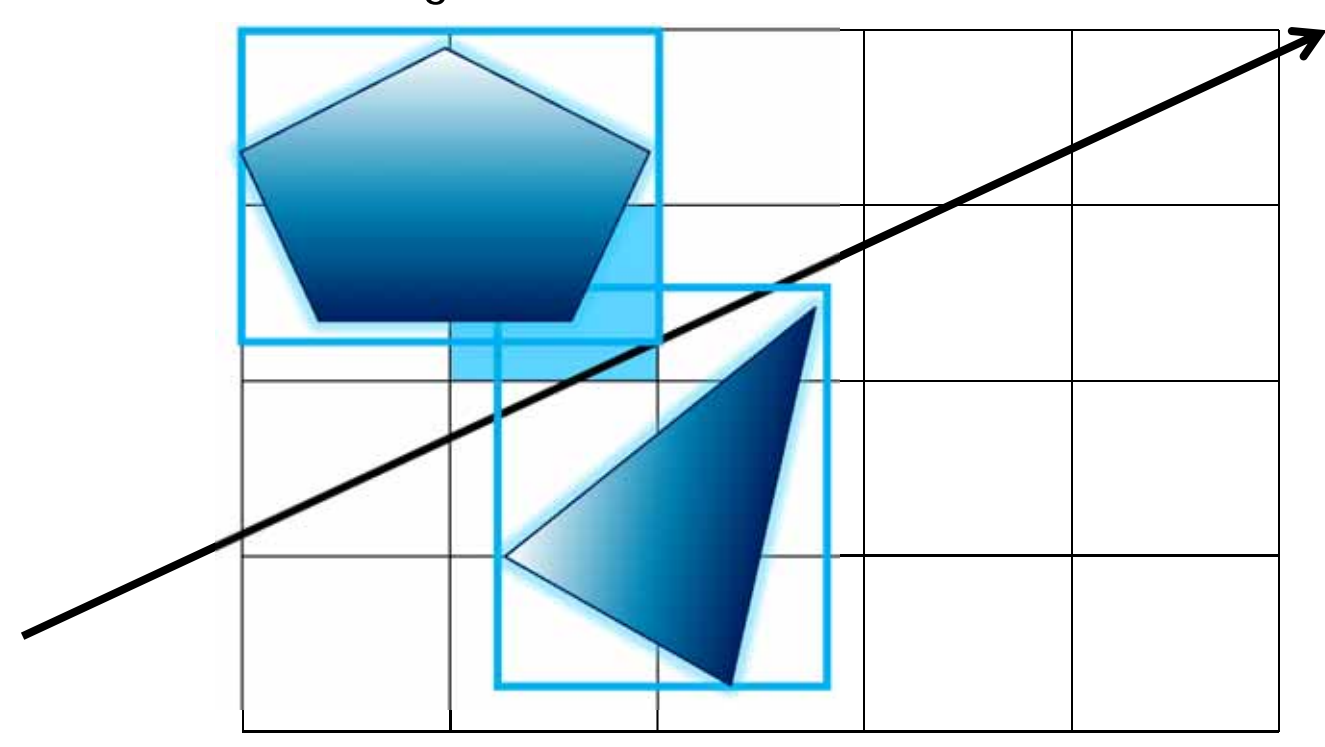
(verwende Zeiger)





Schnittpunktberechnung

- teste für jede Zelle entlang des Strahls: gibt es in dieser Zelle Schnitte mit Objekten?
 - ja: gebe nahsten Schnittpunkt zurück
 - nein: weiter mit der Traversierung

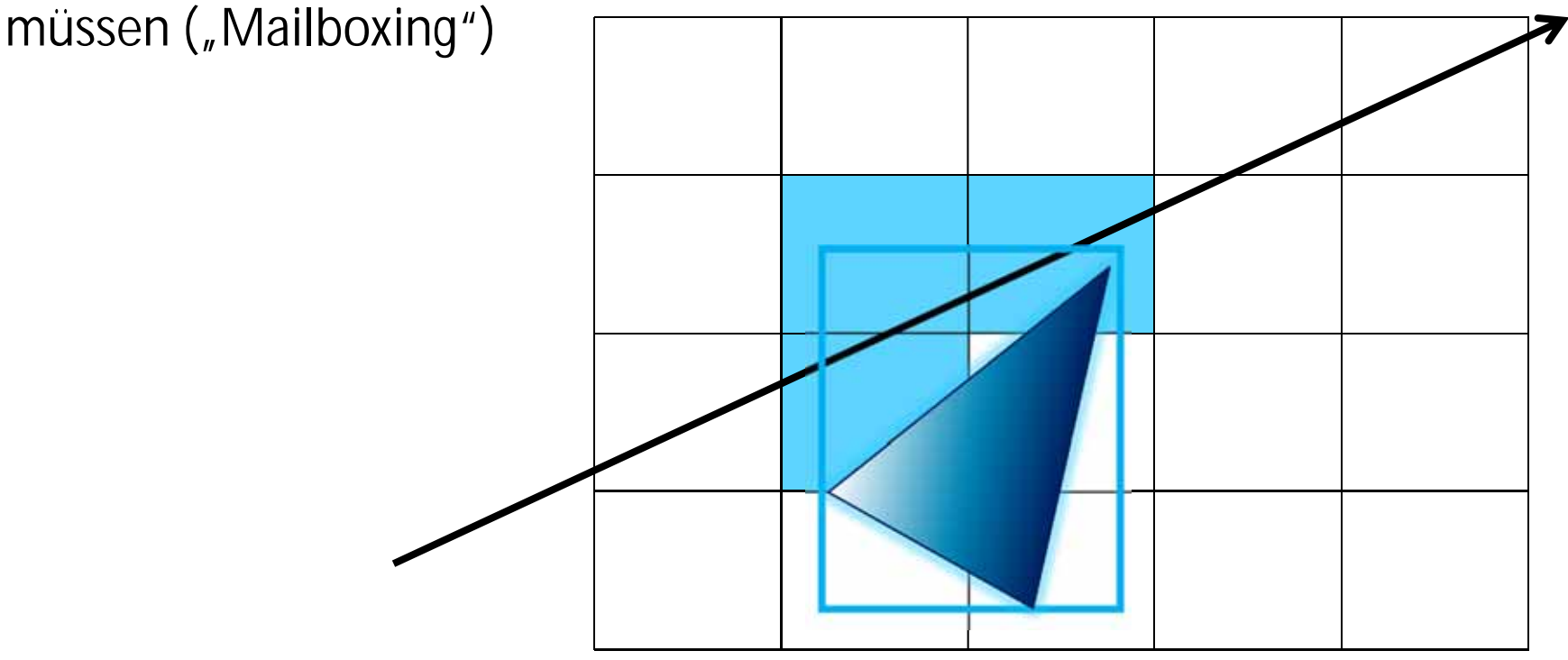




Vermeide mehrfache Schnitttests mit einem Objekt

- führe den Schnitttest durch und markiere das Objekt als getestet
- Ziel: kein weiterer Schnitttest mit einem markierten Objekt

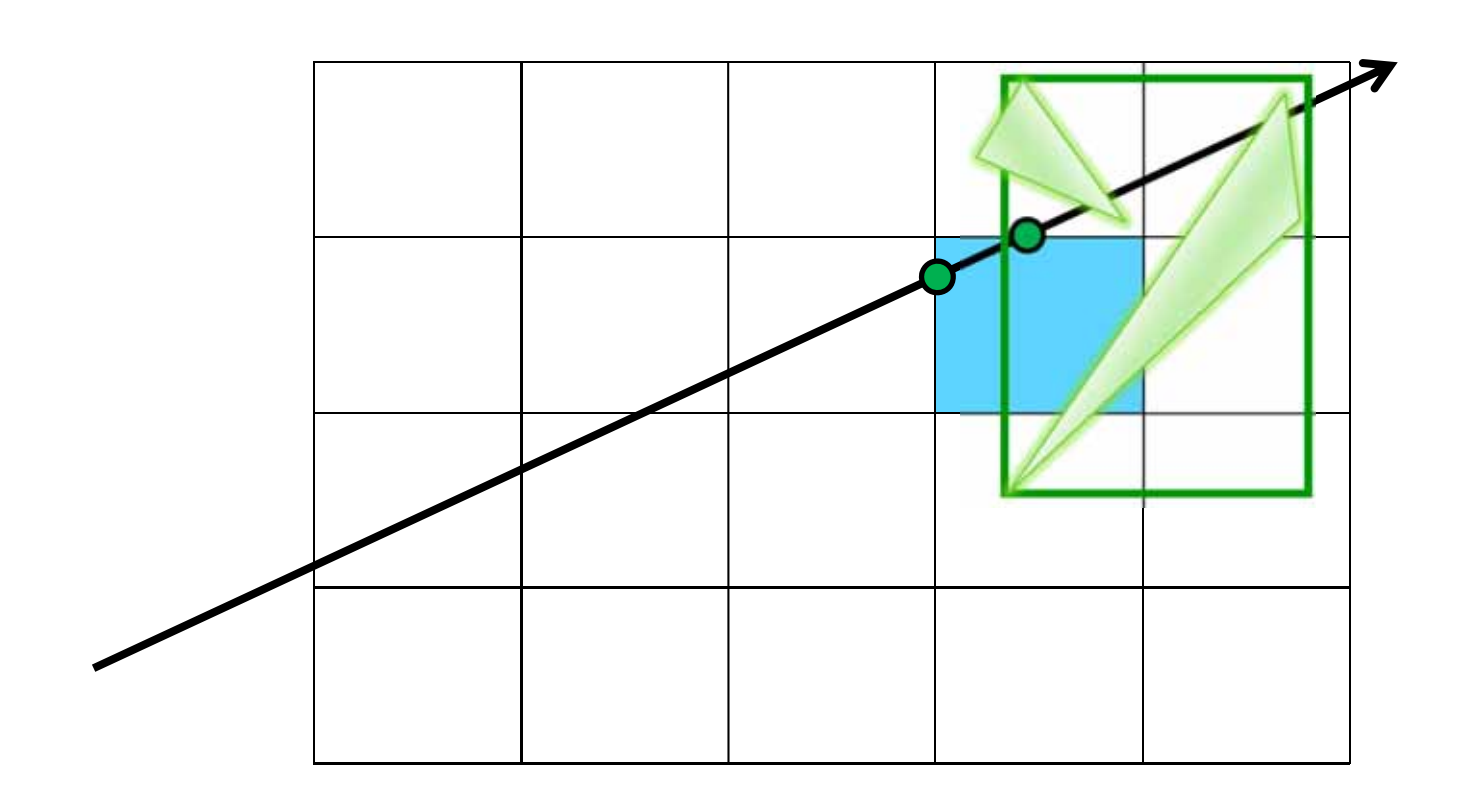
wenn ein Schnittpunkt gefunden wurde (und er außerhalb der Zelle lag): speichere den Schnittpunkt, um ihn später nicht nochmal berechnen zu





Ignoriere Schnitte außerhalb der aktuellen Zelle

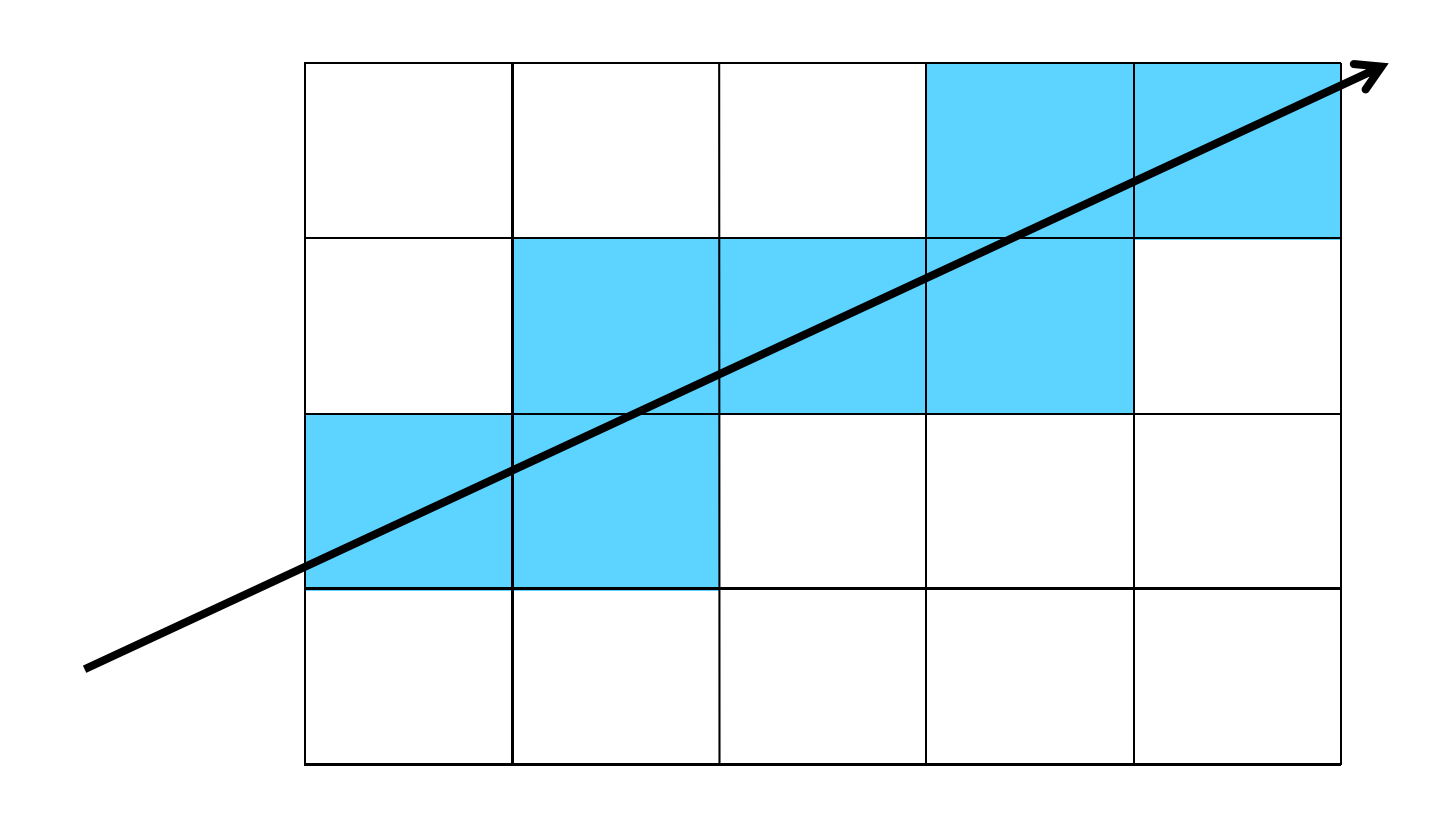
- verwerfe (oder speichere für später) Schnittpunkte außerhalb der aktuellen Zelle
- es könnte einen näheren Schnittpunkt mit einem anderen Objekt geben





Traversierung des Gitters

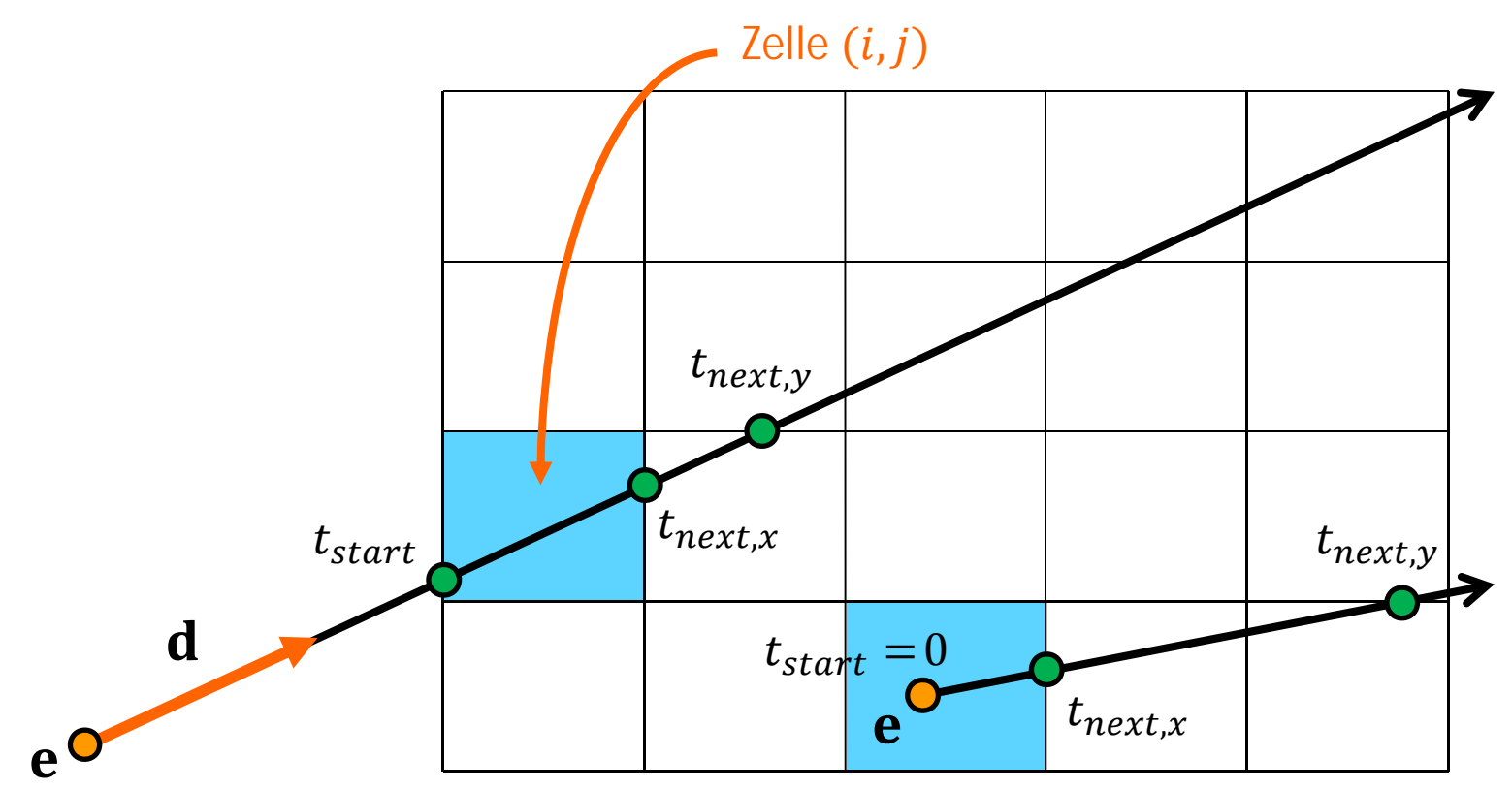
wie findet man die Zellen die ein Strahl durchläuft? (nur Objekte/Primitive in diesen Zellen möchte man testen)





Bestimmung der Start-Zelle

- schneide Strahl mit der Bounding Box der Szene
- > aus den Schnittkoordinaten lässt sich der Zellenindex (i,j) und $(zusammen mit \mathbf{d})$ dann $t_{next,x}$ bzw. $t_{next,y}$ berechnen
- Strahlursprung kann auch in der Bounding Box der Szene liegen

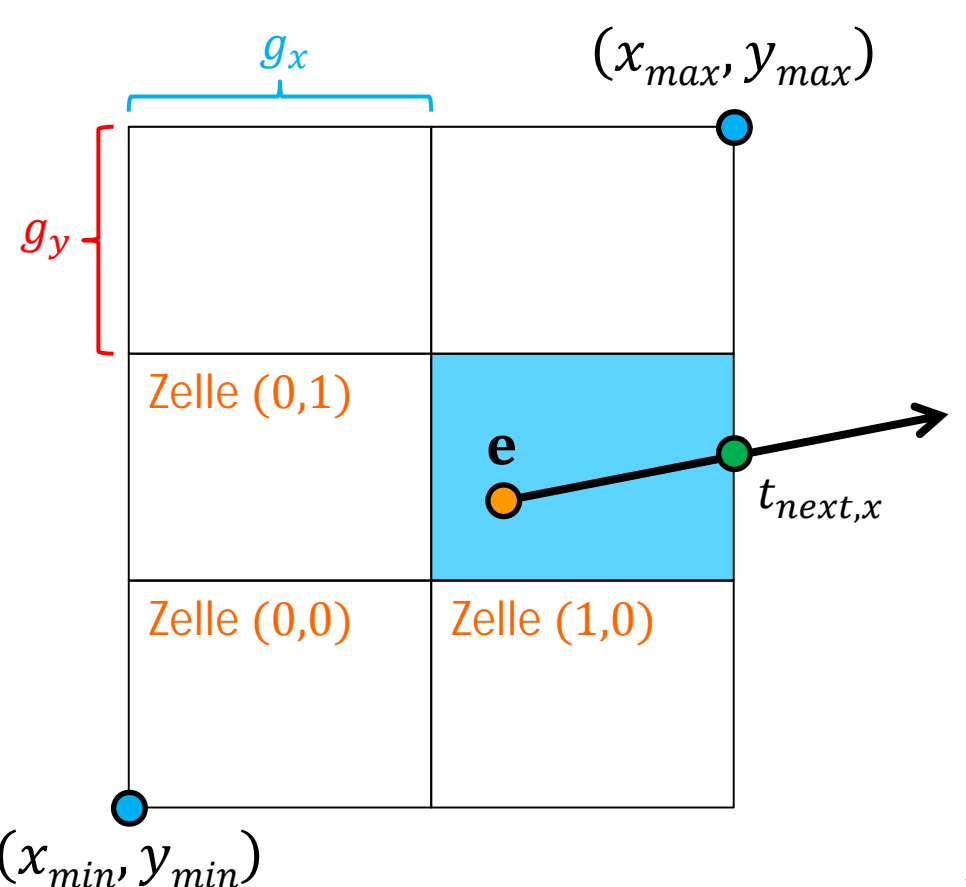




Bestimmung der Start-Zelle

- ightharpoonup Zellenindex (i,j) und $t_{next,x}$ bzw. $t_{next,y}$ aus Koordinaten berechnen
- $ightharpoonup i = \lfloor (e_x x_{min})/g_x \rfloor$ bzw. $j = \lfloor (e_y y_{min})/g_y \rfloor$

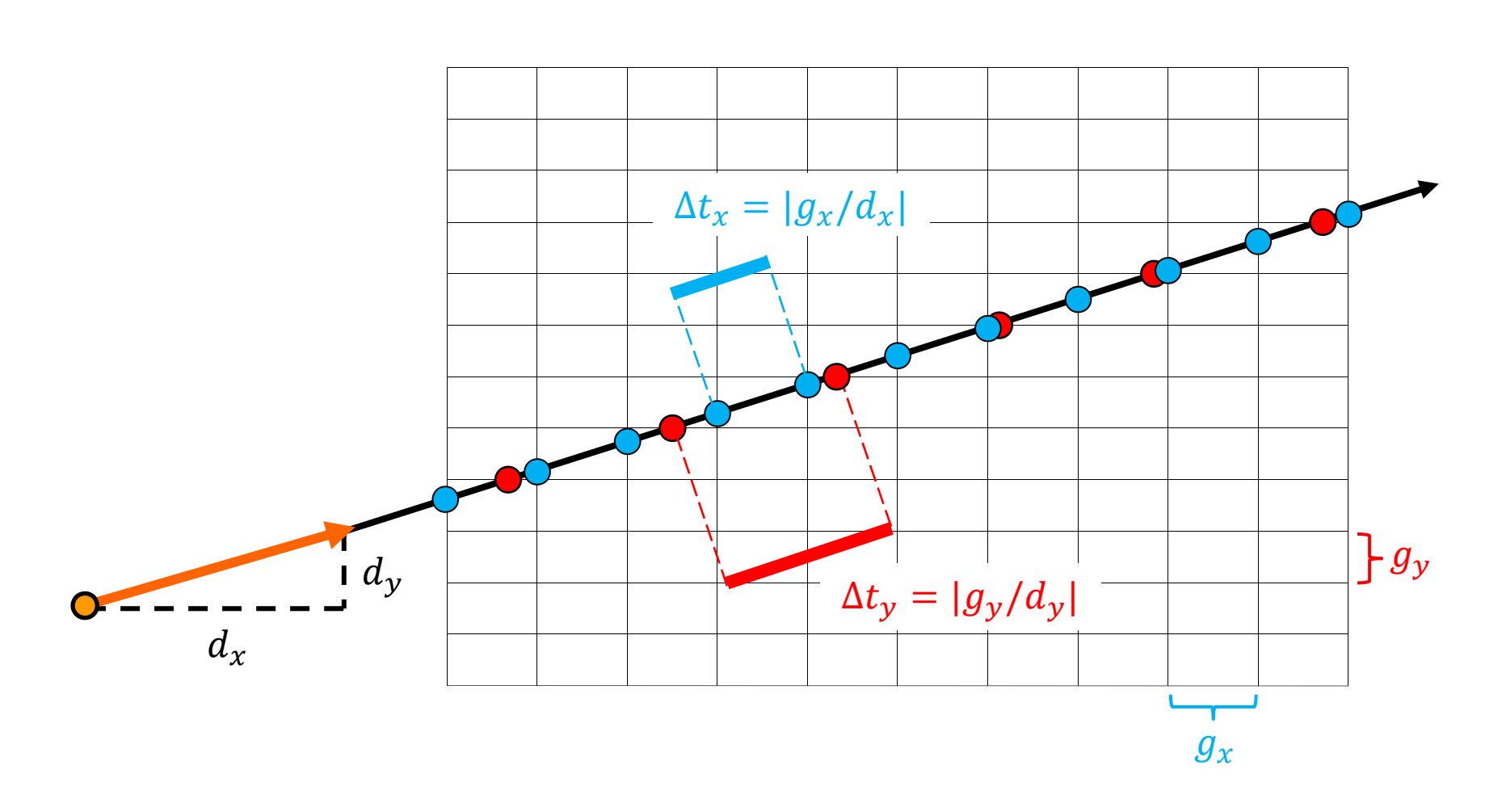
$$\Rightarrow t_{next,x} = \cdots$$





Sprung zur nächsten Zelle

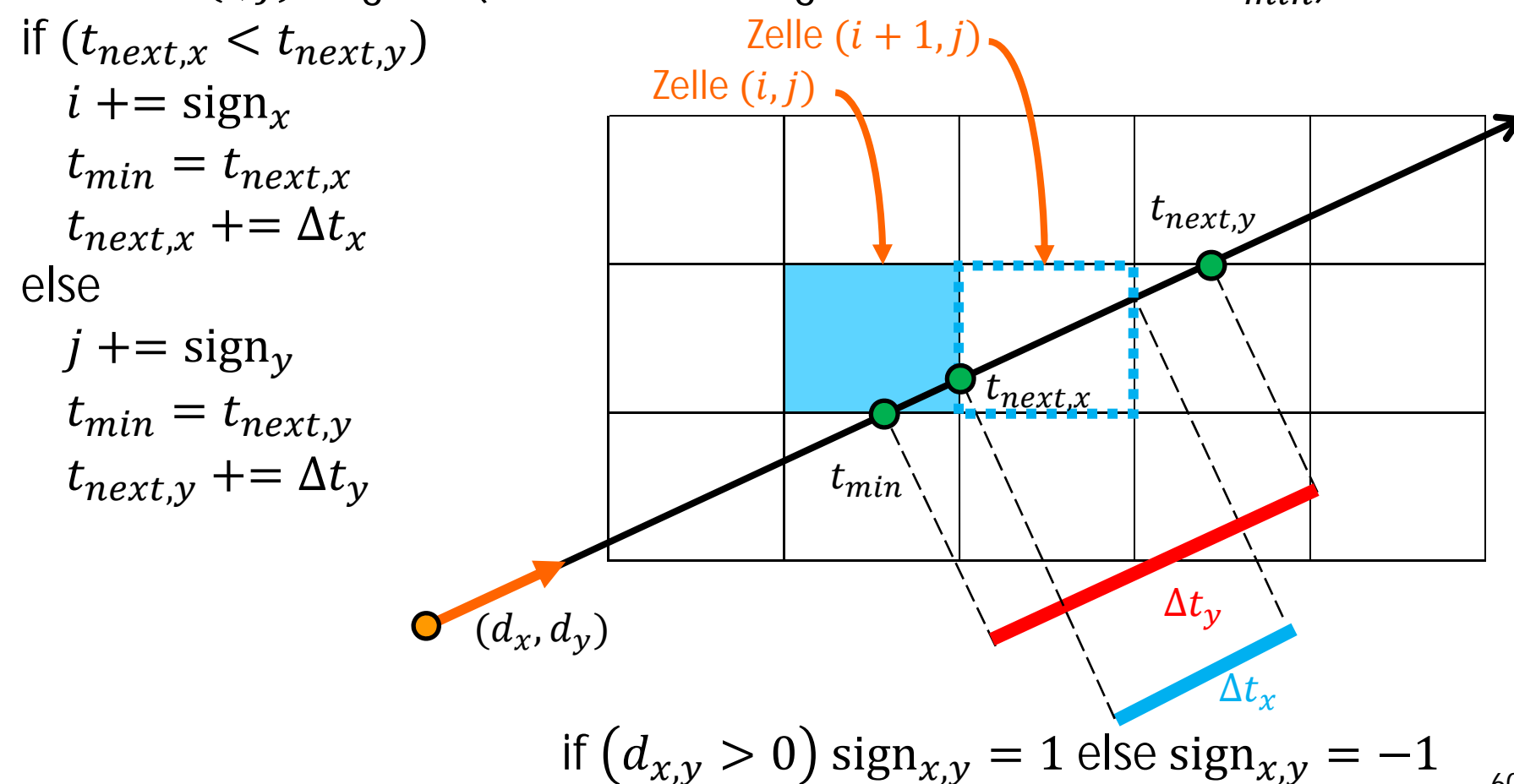
horizontale und vertikale Sprünge zur nächsten Spalte bzw. Zeile haben immer denselben Abstand





Sprung zur nächsten Zelle

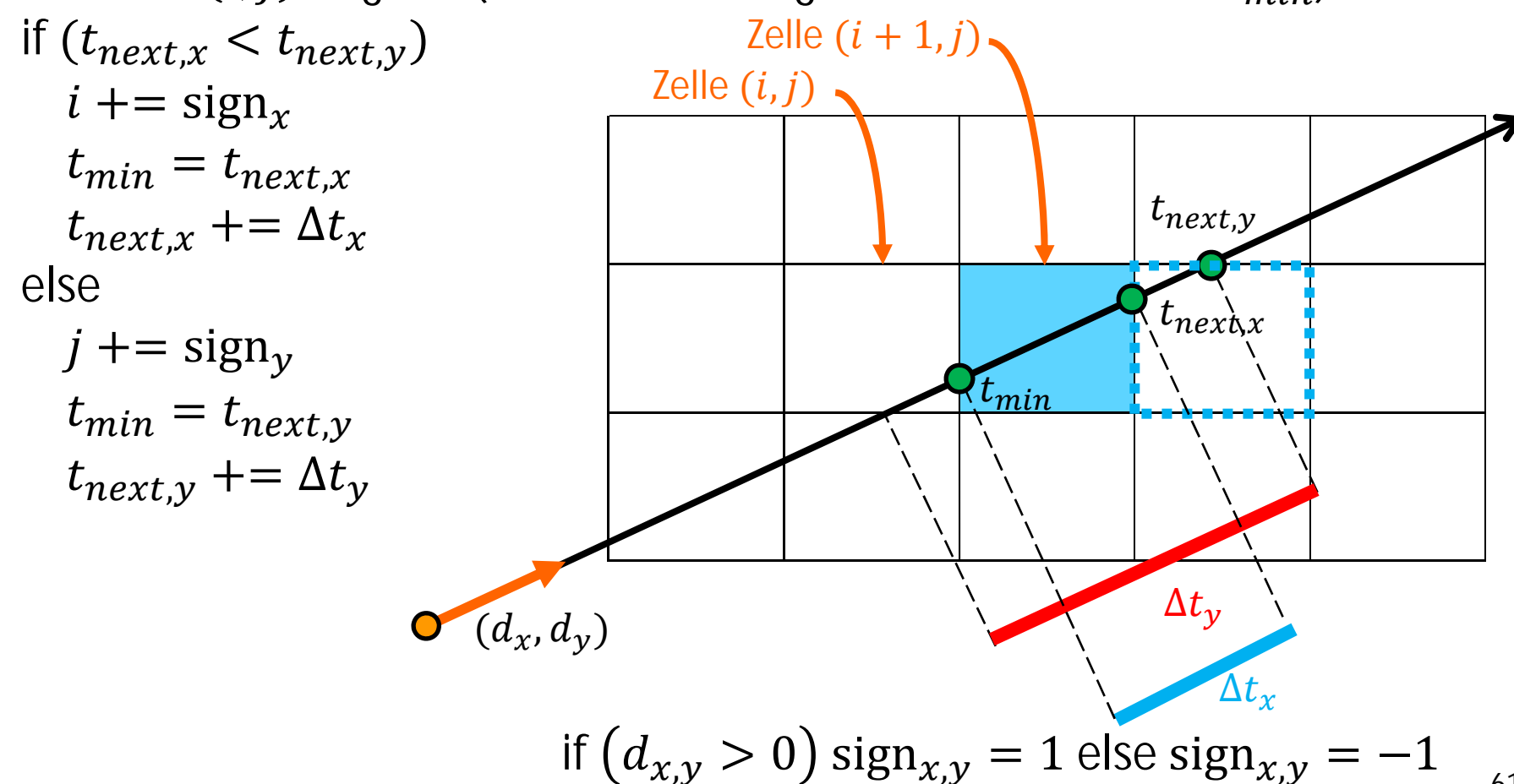
- ightharpoonup Start: $t_{next,x}$ bzw. $t_{next,y}$ einmalig bestimmen
- $ightharpoonup \Delta$ funktioniert wie folgt auch für $d_{x,y} < 0$
- \triangleright Zelle auf (i, j) folgend (wir betrachten gerade die Stelle $t = t_{min}$):





Sprung zur nächsten Zelle

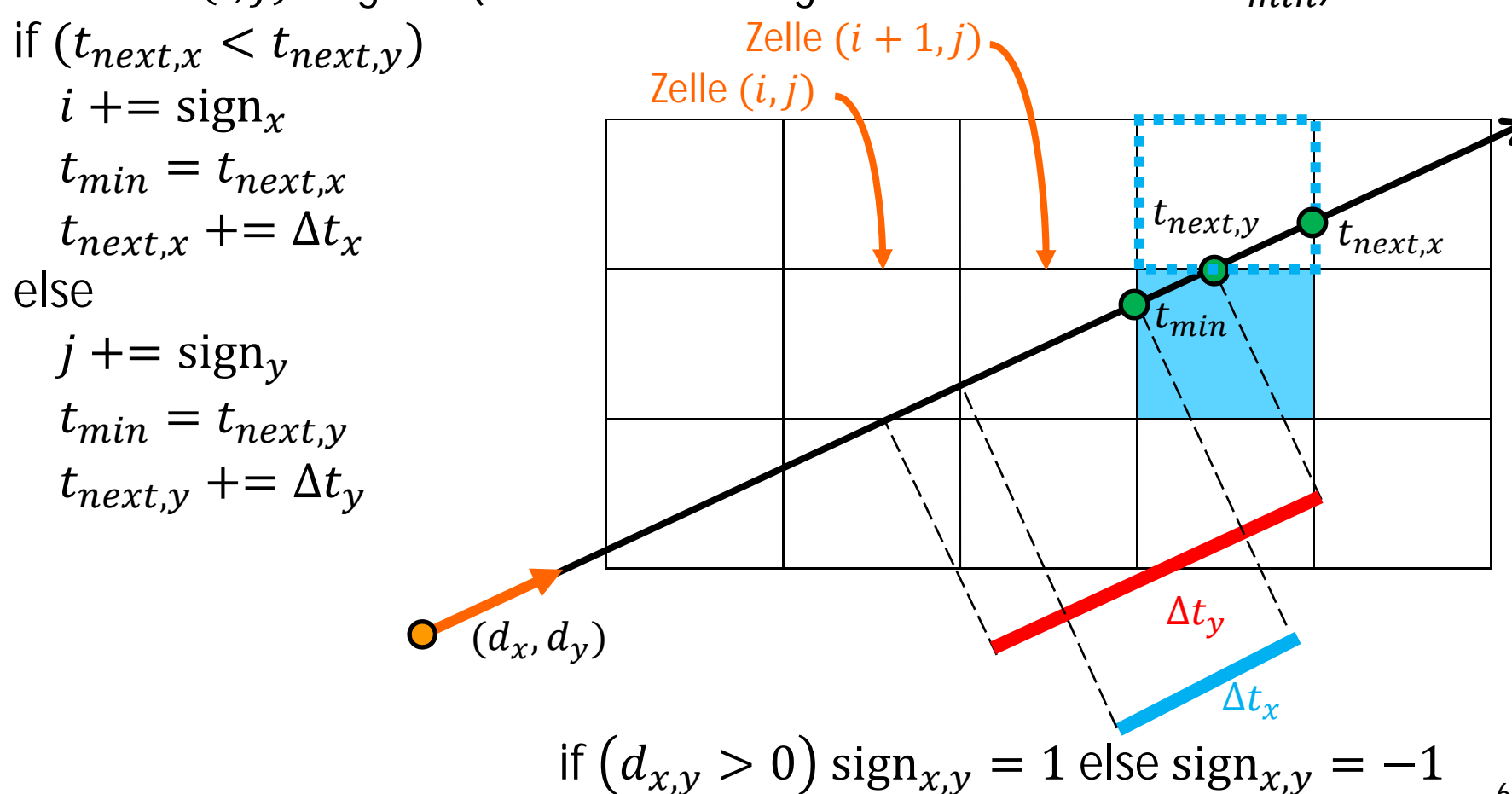
- ightharpoonup Start: $t_{next,x}$ bzw. $t_{next,y}$ einmalig bestimmen
- $ightharpoonup \Delta$ funktioniert wie folgt auch für $d_{x,y} < 0$
- \triangleright Zelle auf (i, j) folgend (wir betrachten gerade die Stelle $t = t_{min}$):





Sprung zur nächsten Zelle

- ightharpoonup Start: $t_{next,x}$ bzw. $t_{next,y}$ einmalig bestimmen
- $ightharpoonup \Delta$ funktioniert wie folgt auch für $d_{x,y} < 0$
- ▶ Zelle auf (i, j) folgend (wir betrachten gerade die Stelle $t = t_{min}$):





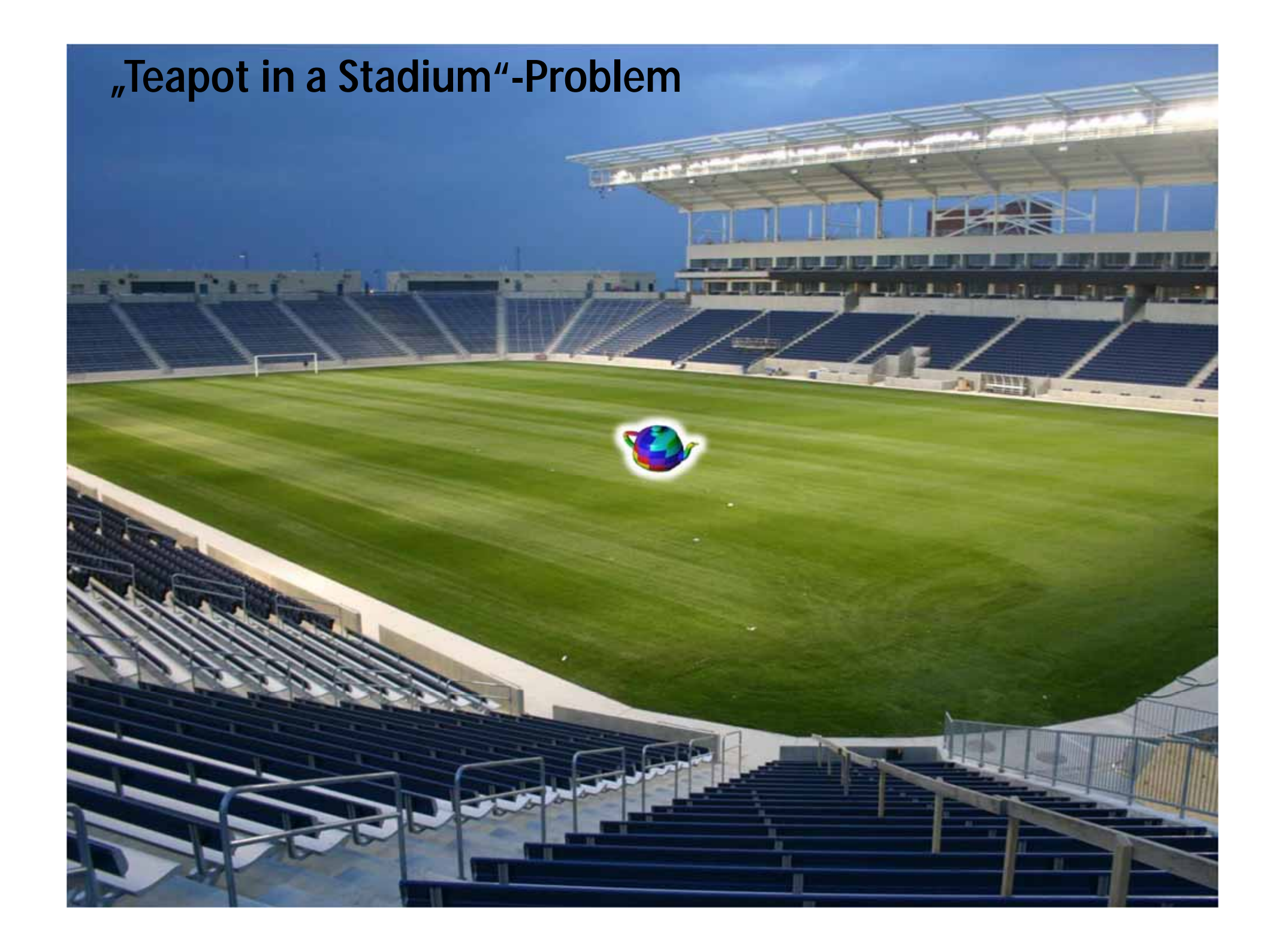
Zusammenfassung

- bestimme AABB der Szene und erzeuge Gitter
- trage Objekte/Primitive in das Gitter ein
- ightharpoonup für jeden Strahl $\mathbf{r}(t)$
 - ightharpoonup bestimme Startzelle z(i,j,k), t_{start} , $t_{next,x}$, $t_{next,y}$ und $t_{next,z}$ (in 3D)
 - ightharpoonup berechne $sign_x$, $sign_y$ und $sign_z$ aus d_x , d_y , d_z
- ightharpoonup solange $0 \le i < n_x \land 0 \le j < n_y \land 0 \le k < n_z$
 - \triangleright für jedes Primitiv P in z(i, j, k)
 - ightharpoonup teste auf Schnitt von $\mathbf{r}(t)$ und P
 - wenn Schnitt(e) in aktueller Zelle gefunden, dann gebe nahsten zurück
 - sonst: gehe weiter zu nächster Zelle
 - optional: Mailboxing



Fazit

- Vorteile
 - einfach zu konstruieren
 - einfach zu traversieren
- Nachteile
 - in der Regel nur wenige Zellen belegt
 - u.U. viel Geometrie in wenigen Zellen konzentriert

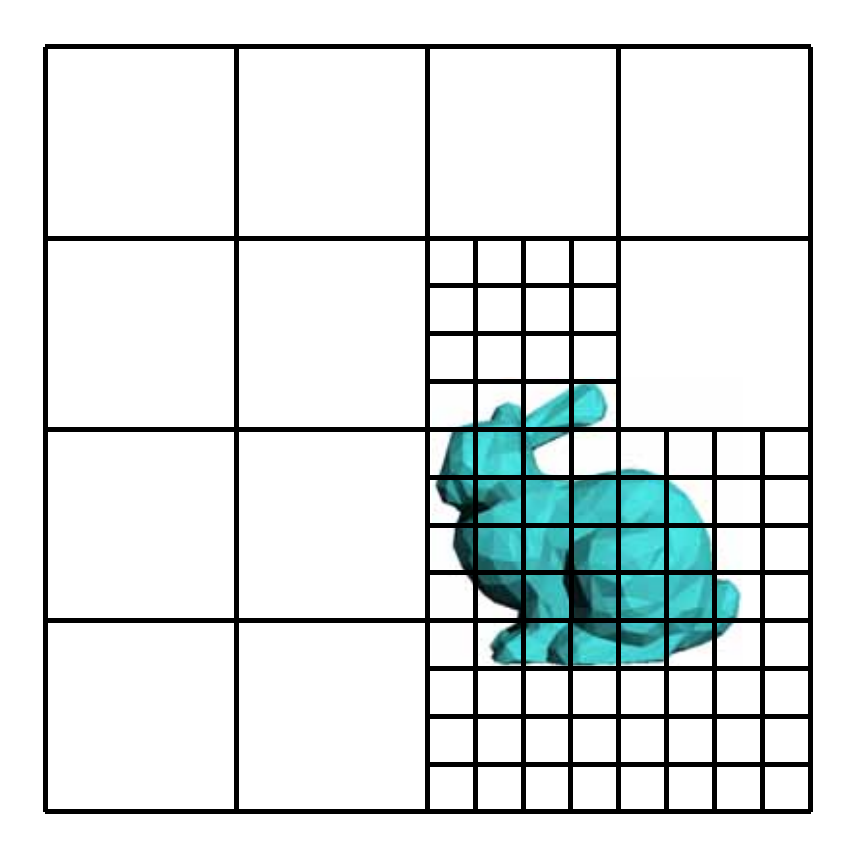


Raumunterteilung durch adaptive Gitter

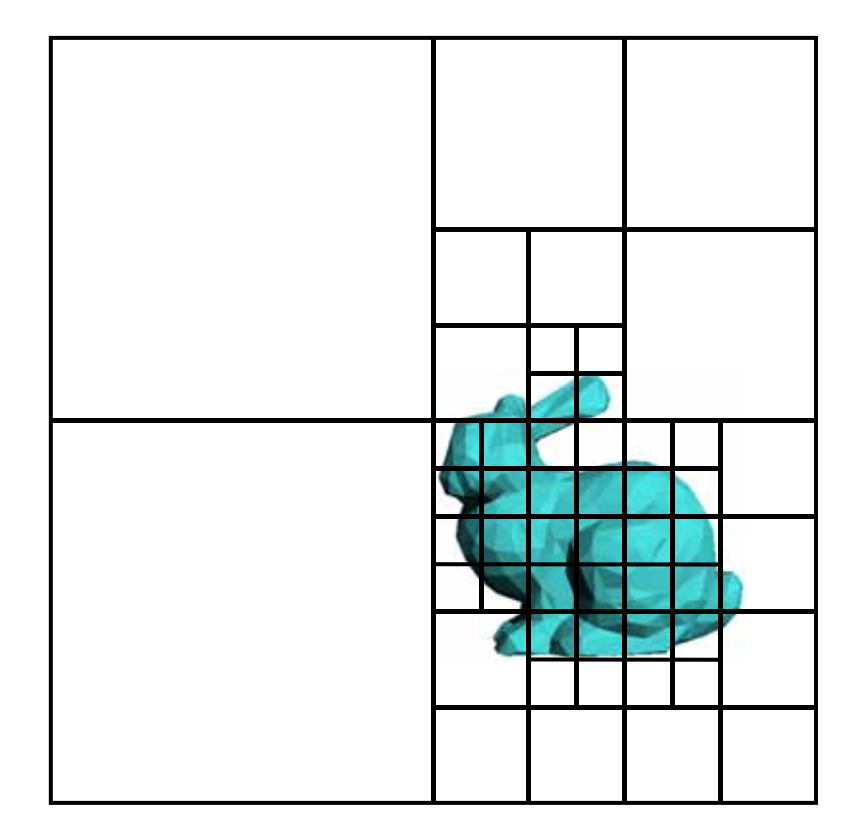


Grundidee

- rekursive Unterteilung einer Zelle bis
 - > sie nur noch maximal eine vorgegebene Anzahl Primitive enthält, oder
 - eine maximale Anzahl Unterteilungen durchgeführt wurde



Verschachtelte Gitter (Nested Grids)

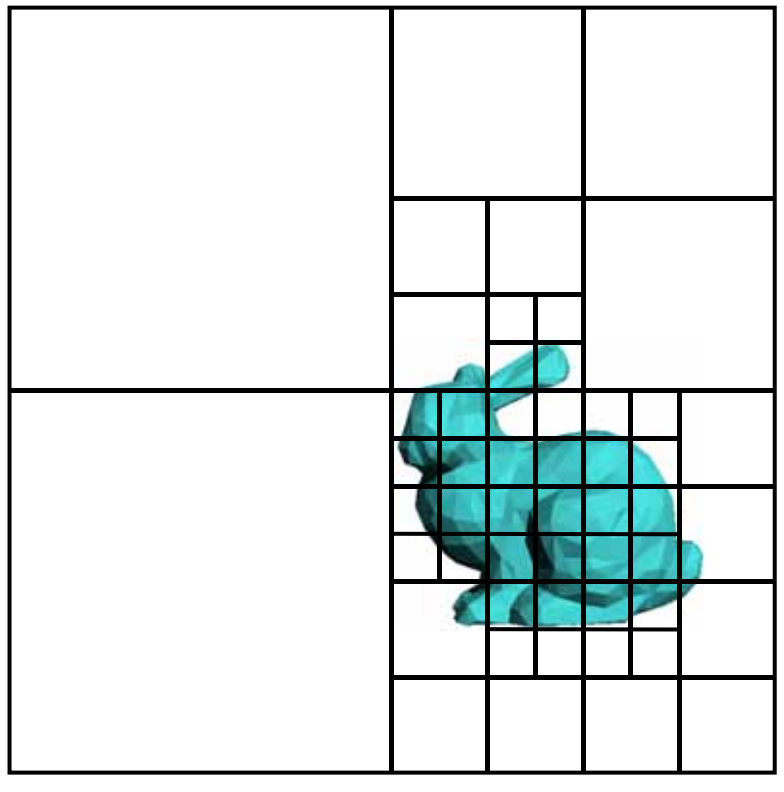


Oktalbaum (Octree), bzw. hier in 2D ein Quadtree (jeder Knoten hat 4 Kinder)



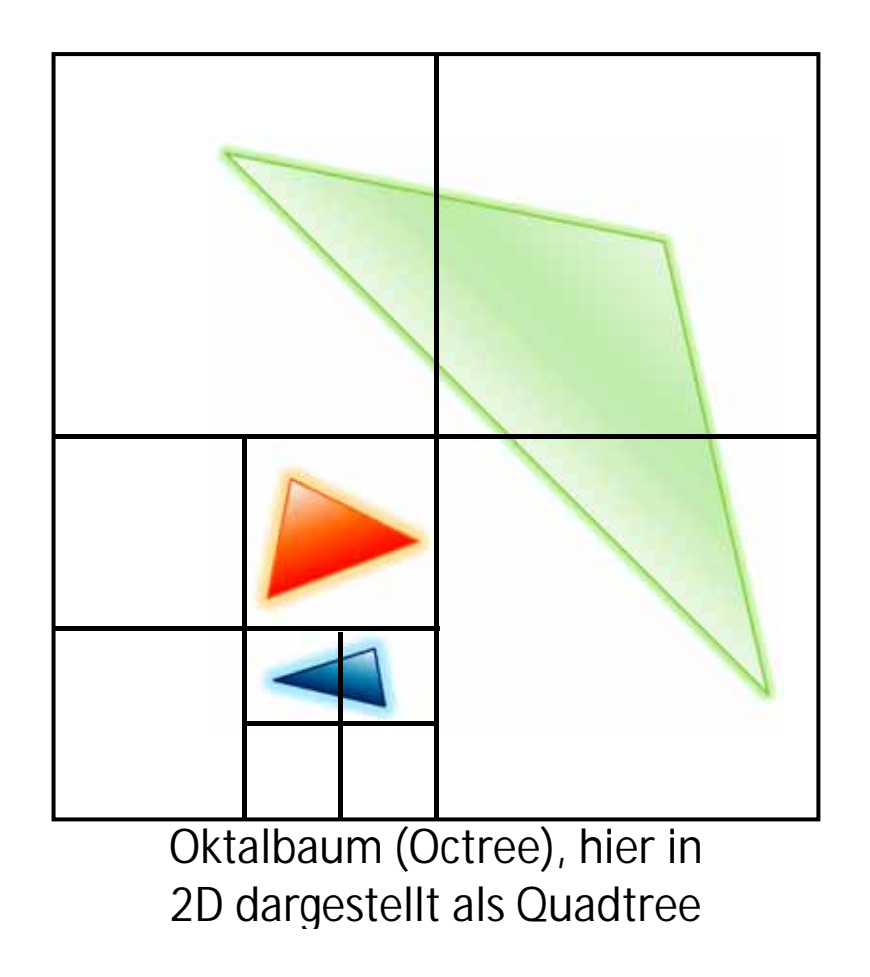
Hierarchische Raumunterteilung mit Octrees

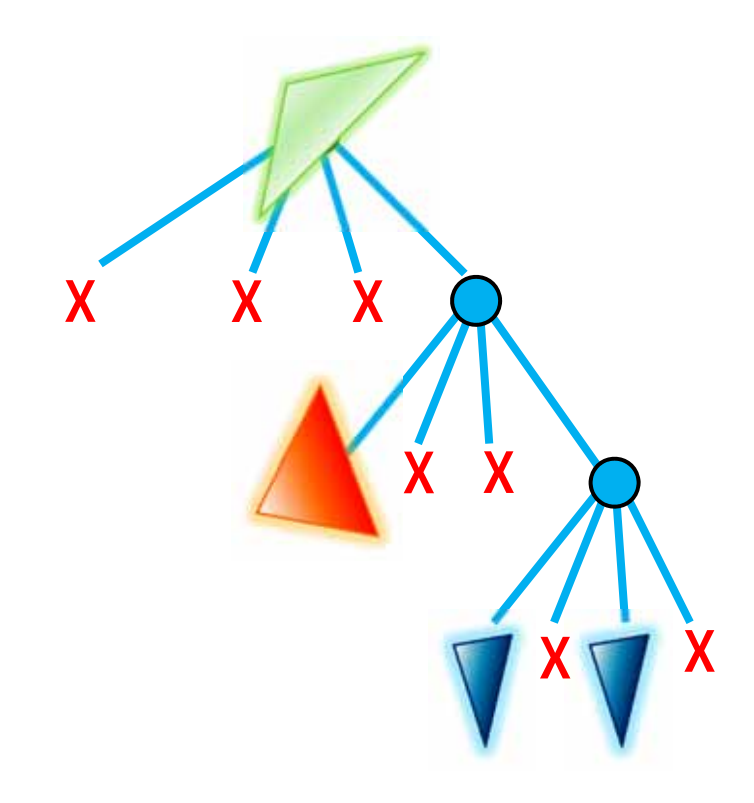
- beginne mit der Bounding-Box für die ganze Szene
- rekursive 1-zu-8 Unterteilung (daher "Oktalbaum", je 1-zu-2 in jeder Richtung) der Zellen, falls noch zu viele Primitive in einer Zelle sind
 - adaptive Unterteilung erlaubt große Schritte im leeren Raum
 - feine Unterteilung dort (und nur dort) wo Geometrie ist
- Traversierung ist relativ teuer durch häufige Auf- und Abbewegung in der Hierarchie





- Verweise auf Primitive werden in inneren Knoten gespeichert (grün) oder in den Blättern des Baums (orange, blau), dann u.U. mehrfach
- grünes Objekt könnte auch in den 3 leeren Kindknoten der Wurzel sein

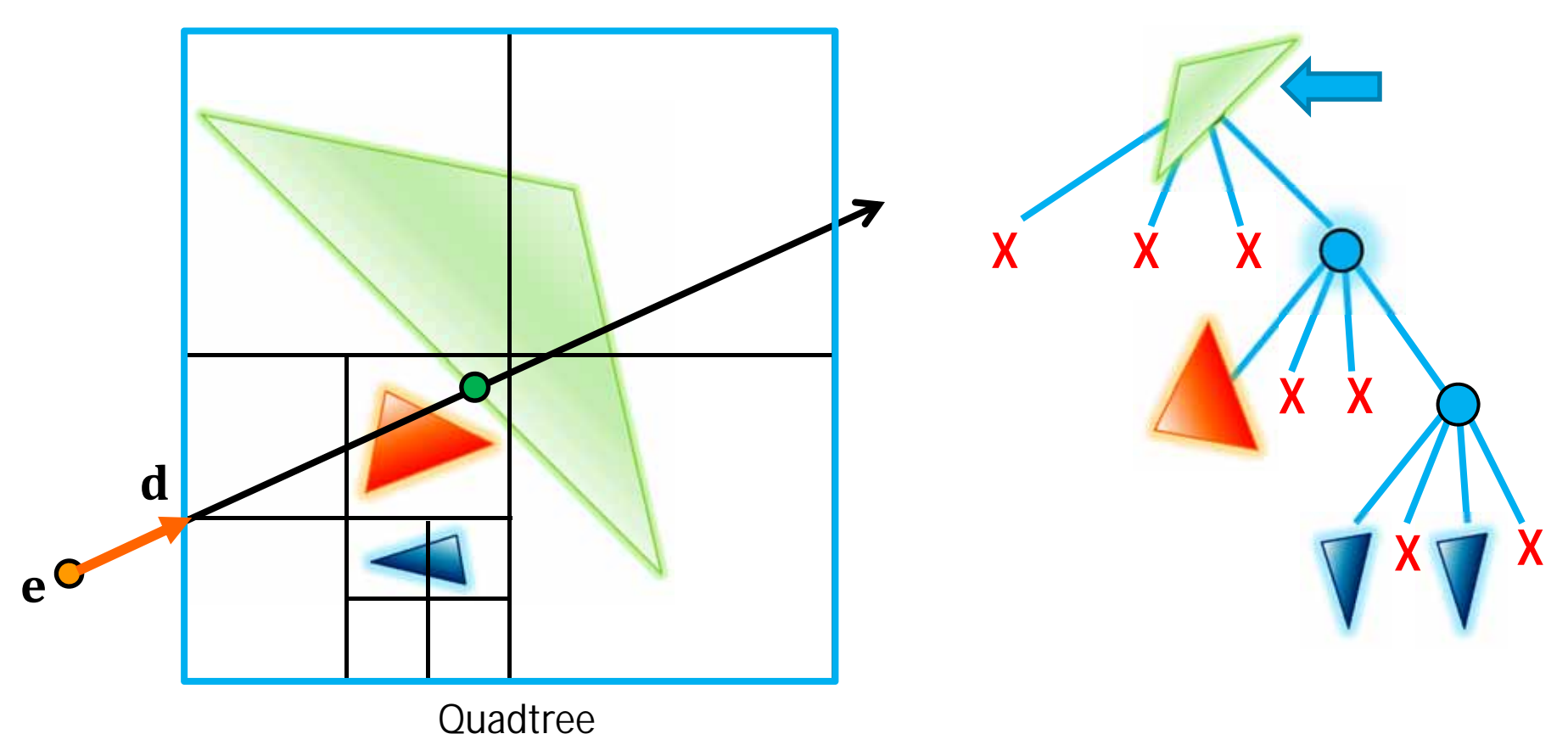






Traversierung

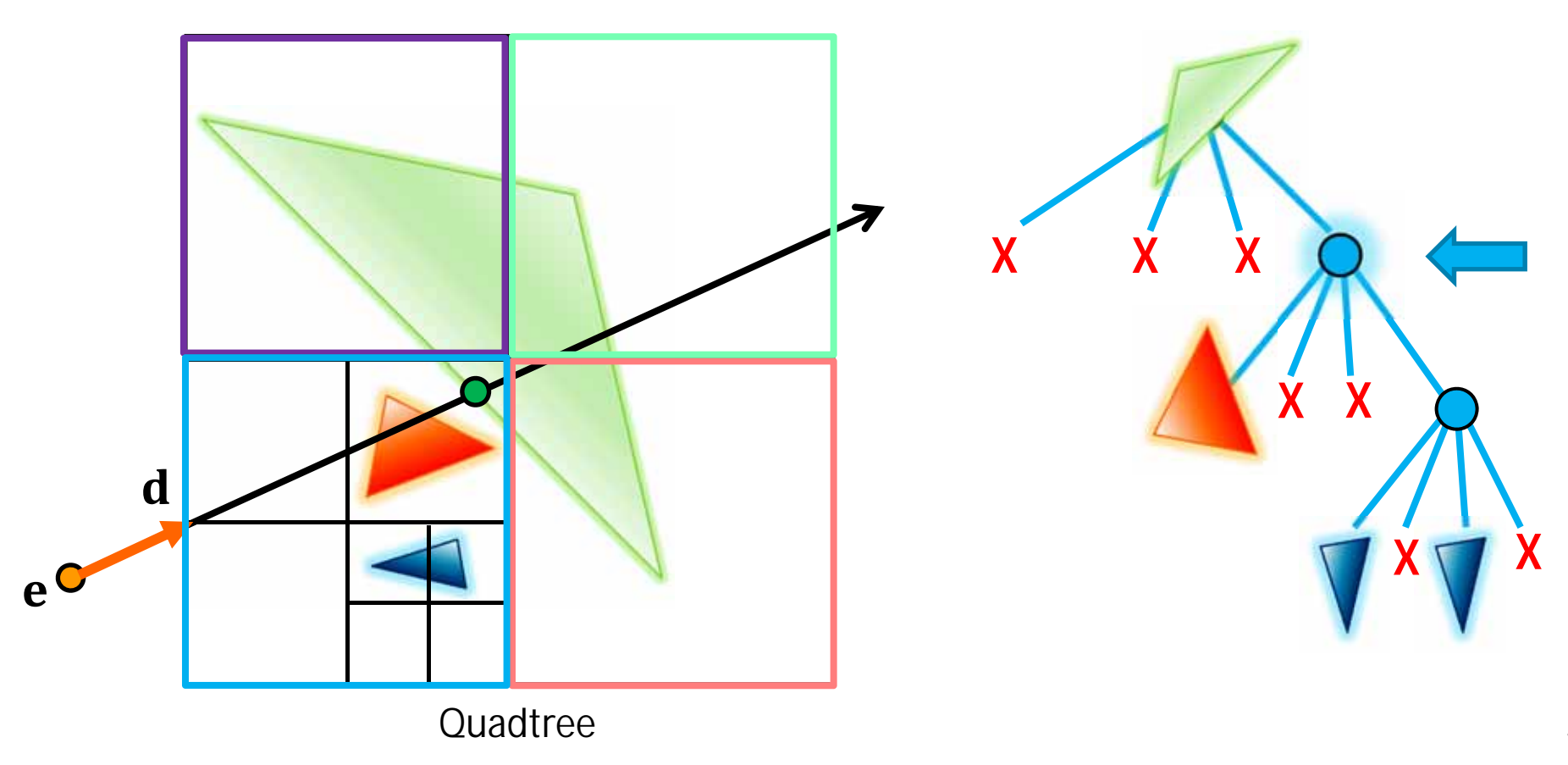
- Test gegen AABB der Wurzel (= AABB der gesamten Szene)
 - wenn Schnitt mit AABB → Test mit Objekten gespeichert in der Wurzel (Achtung: auch dieser Schnitt • muss nicht der nahste sein weil der Wurzelknoten mit anderen überlappt!)





Traversierung

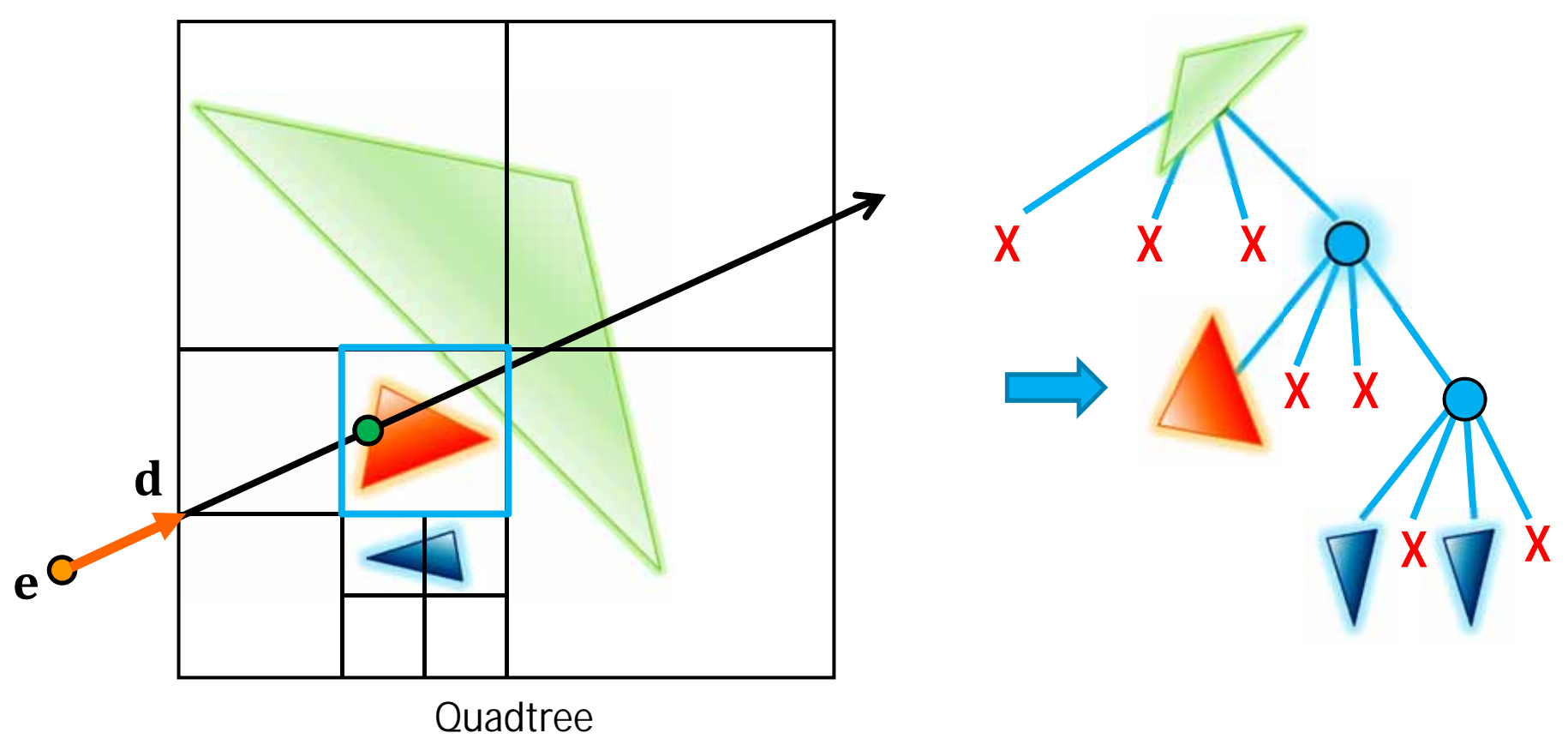
- überprüfe alle Kindknoten
 - ob sie n\u00e4her als der gefundene Schnittpunkt sind
 - ▶ nur ☐ ist hier näher (abgesehen davon: die anderen 3 sind leer)



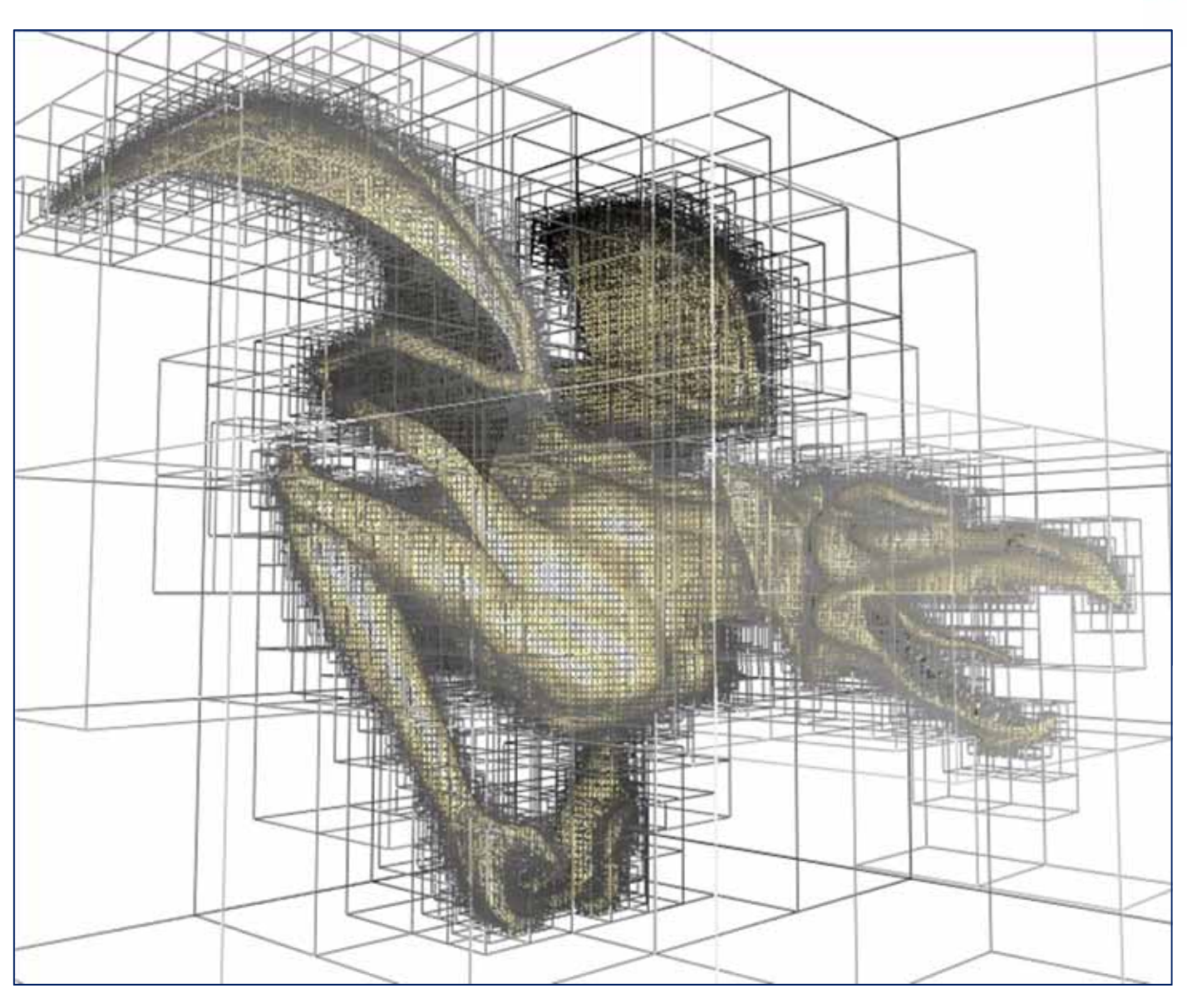


Traversierung

- Teste wiederum alle näheren, nicht-leeren Kindknoten
 - ▶ nur einer wird geschnitten und ist nicht leer → neuer Schnittpunkt
 - hier sind wir fertig hätten wir nichts geschnitten müssten wir u. U. wieder in der Hierarchie aufsteigen und weitersuchen





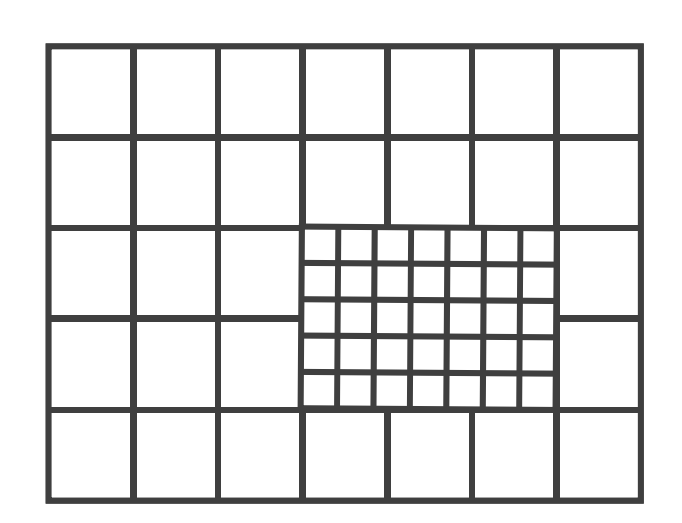


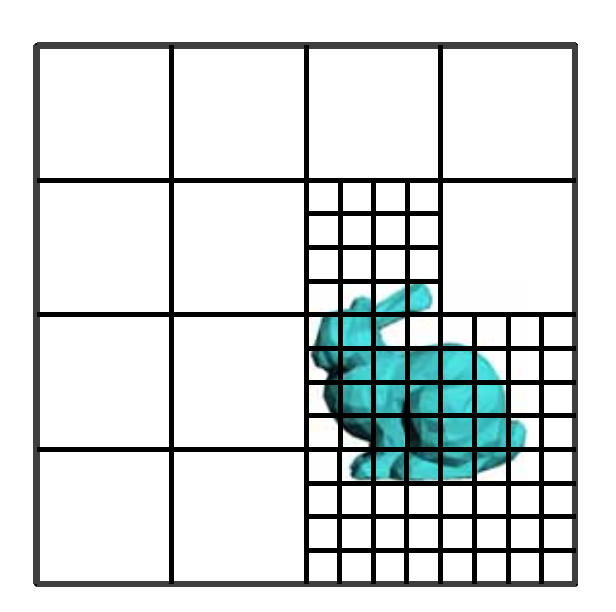
[Lefebvre 2004]

Verschachtelte Gitter



- Kombination der Ideen aus regulären Gittern und Octrees
 - nutze effiziente Traversierung von regulären Gittern
 - nutze Adaptivität einer hierarchischen Repräsentation
- Aufbau
 - grobes Gitter für Bounding-Box der Szene
 - Bounding-Box von Objekt/Primitiv-Gruppen mit dicht gepackten Objekten werden durch neues Gitter ersetzt
 - Problem: was sind gute Gruppen?



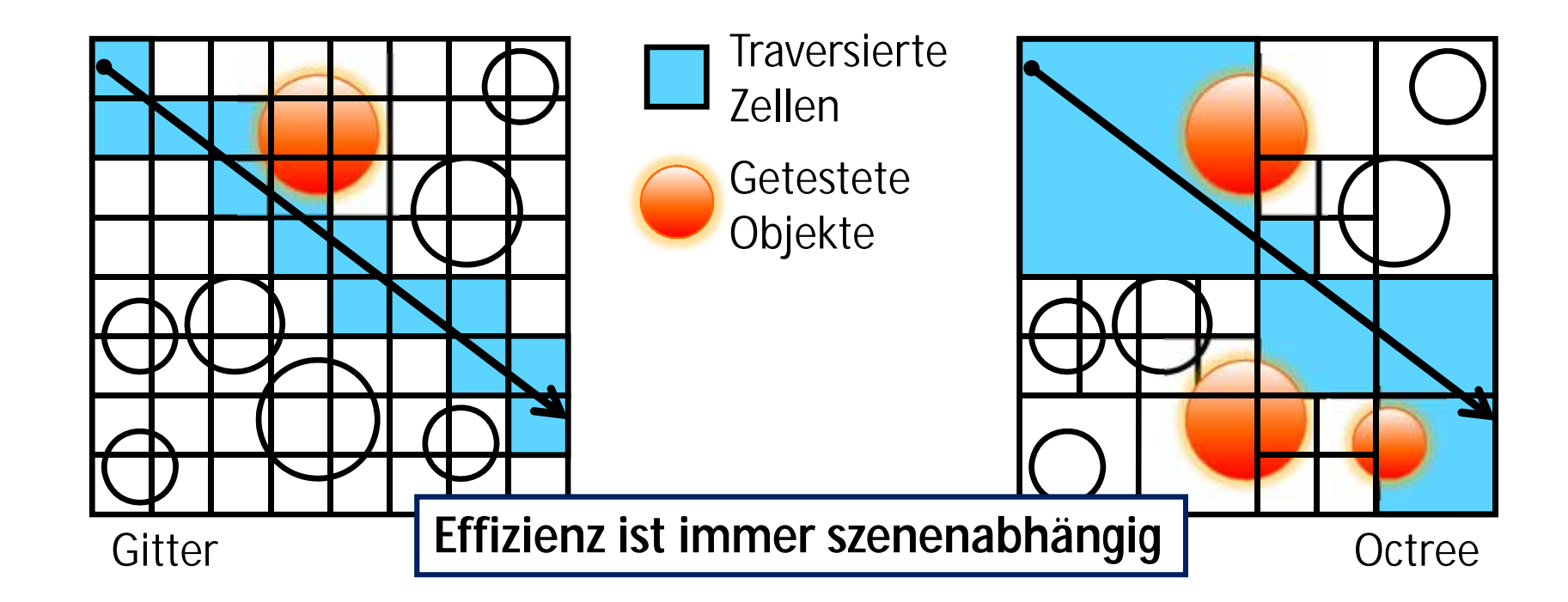


Vergleich Gitter vs. Octree



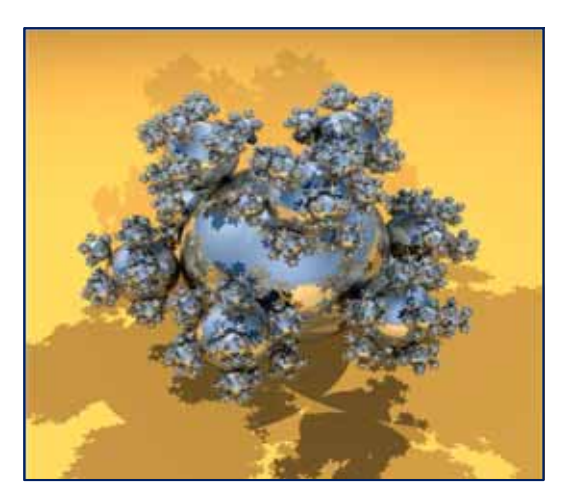
- Gitter
 - einfacher Algorithmus
 - schlecht bei ungleich verteilter Geometrie: kein effizientes Überspringen von leerem Raum
 - adaptiv durch verschachtelte Gitter
 - ähnlicher Aufwand für ähnliche Strahlen

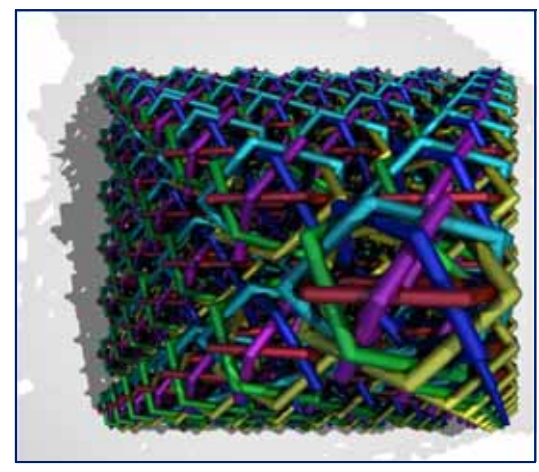
- Octree
 - Adaptivität mit feiner Granularität
 - häufige Vertikalbewegung (auf und ab in der Hierarchie)
 - Traversierungskosten für zwei ähnliche Strahlen können stärker variieren (schwierig bei guter Ausnutzung paralleler Hardware)

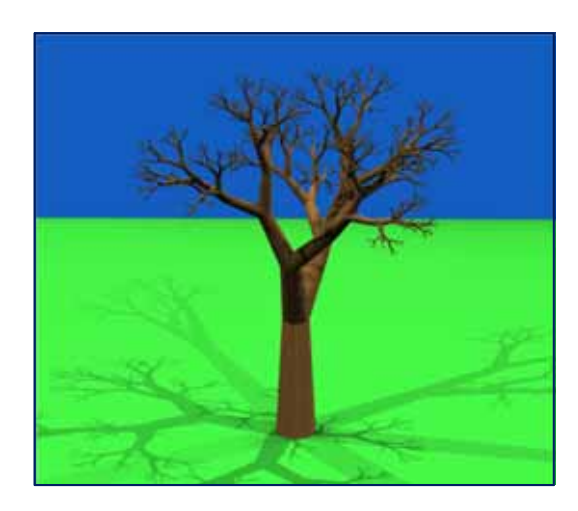


Vergleich









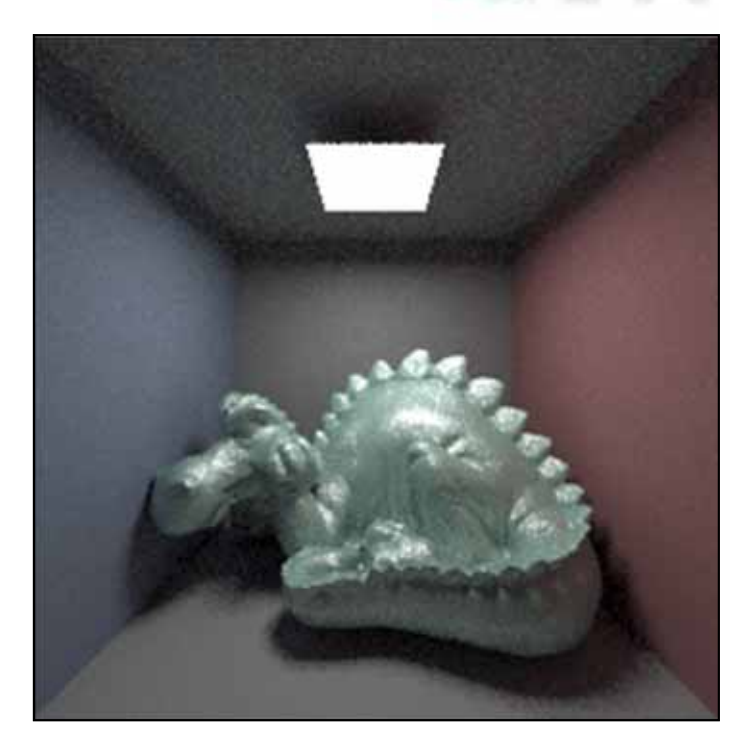
Zeit		Kugeln	Ringe	Baum
Uniformes Gitter	grob	244	129	1517
	fein	38	83	781
Hierarchisches Gitter		34	116	34

Vlastimil Havran, Best Efficiency Scheme Project

Inhalt: Räumliche Datenstrukturen

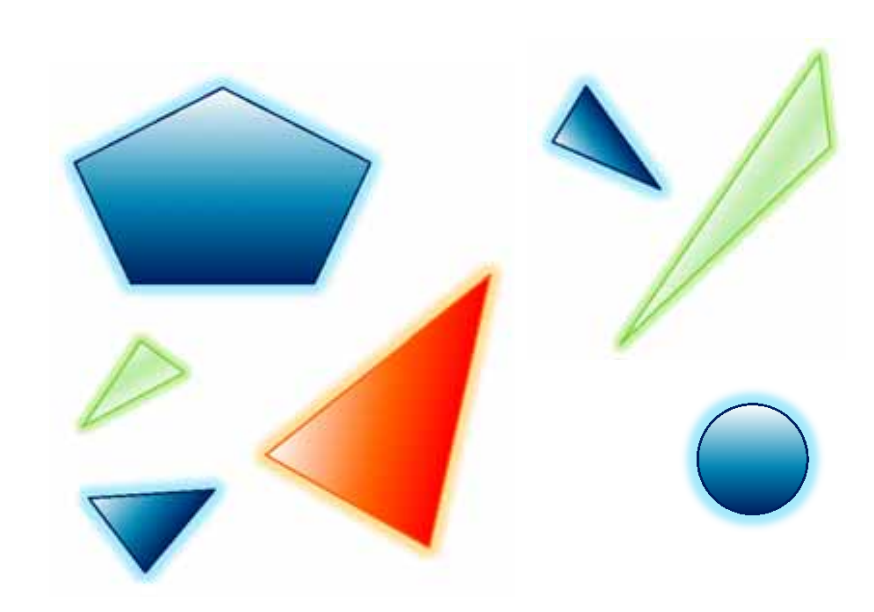
⊴VD

- Analyse der Kosten bei Ray Tracing
- Ansätze zur Beschleunigung von Ray Tracing
- Bildraumverfahren
- Bounding Volumes (Hüllkörper)
- Räumliche Datenstrukturen
 - Bounding Volume Hierarchies
 - > reguläre und adaptive Gitter
 - kD-Bäume und BSP-Bäume



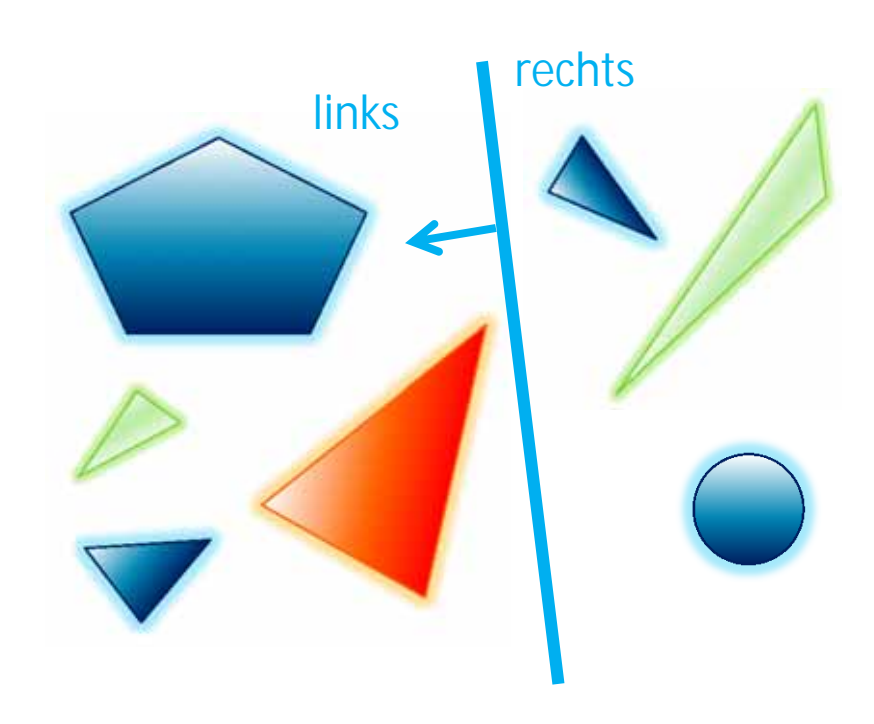


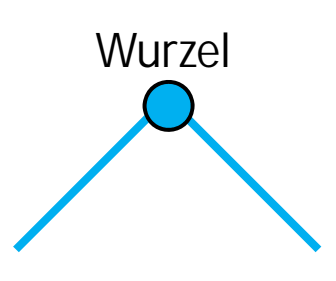
- Erweiterung von Binärbäumen auf k Dimensionen
- verwende Ebenen um den Raum rekursiv zu unterteilen
 - → ergibt Binärbaumstruktur





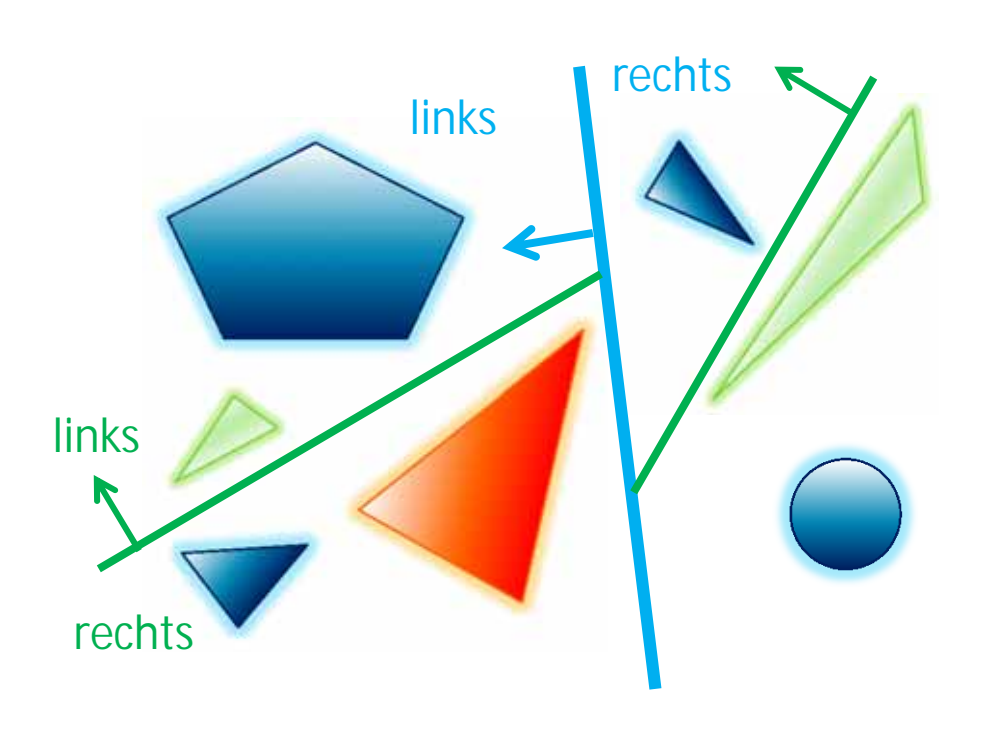
- Erweiterung von Binärbäumen auf k Dimensionen
- verwende Ebenen um den Raum rekursiv zu unterteilen
 - → ergibt Binärbaumstruktur

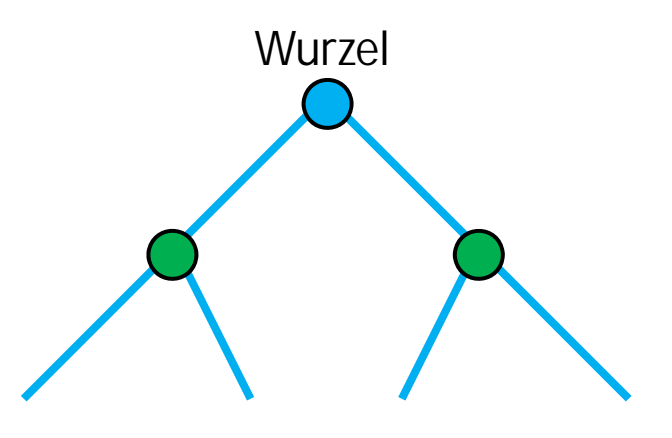






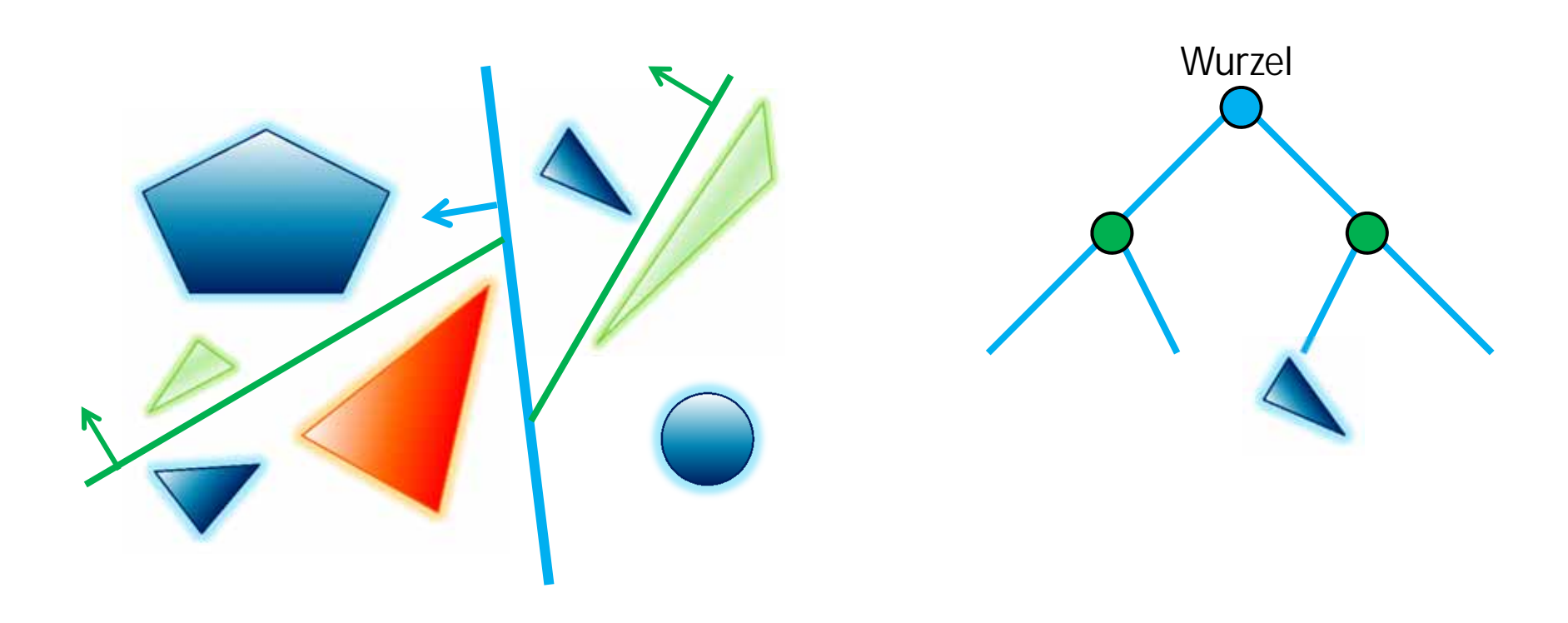
- Erweiterung von Binärbäumen auf k Dimensionen
- verwende Ebenen um den Raum rekursiv zu unterteilen
 - → ergibt Binärbaumstruktur





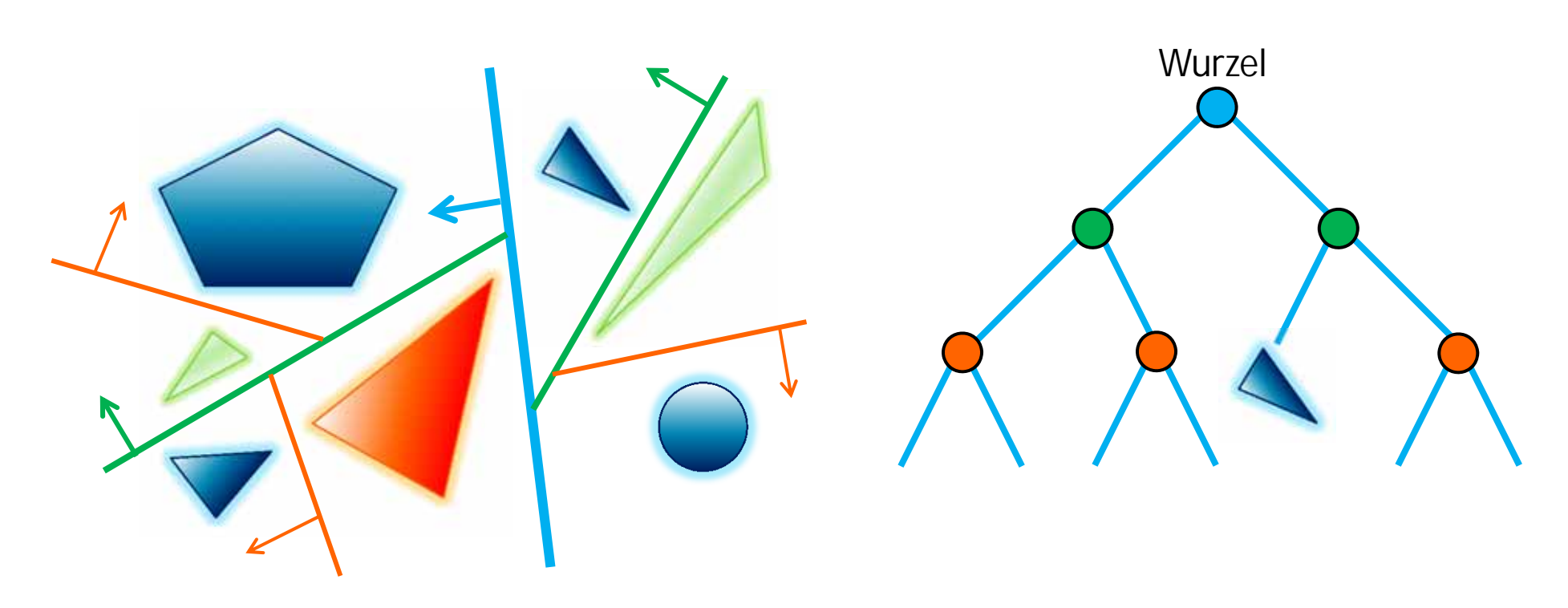


- Erweiterung von Binärbäumen auf k Dimensionen
- verwende Ebenen um den Raum rekursiv zu unterteilen
 - → ergibt Binärbaumstruktur



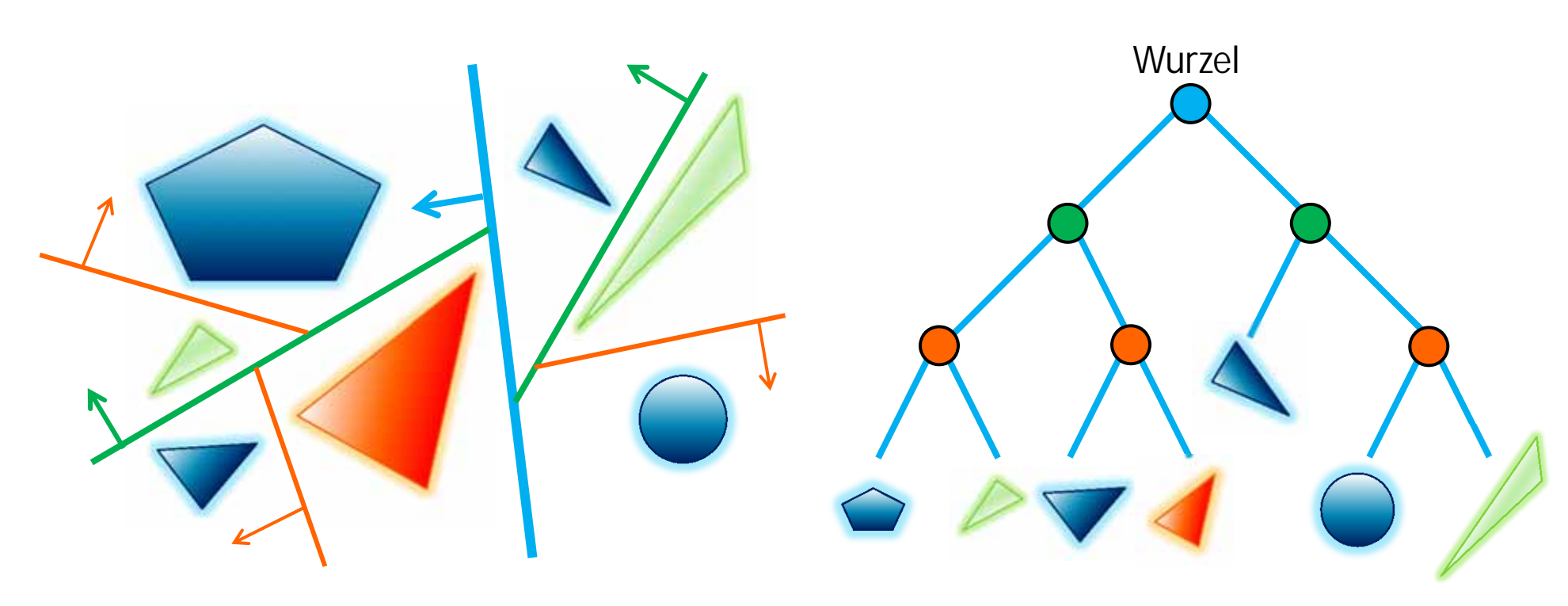


- Erweiterung von Binärbäumen auf k Dimensionen
- verwende Ebenen um den Raum rekursiv zu unterteilen
 - → ergibt Binärbaumstruktur





- Erweiterung von Binärbäumen auf k Dimensionen
- verwende Ebenen um den Raum rekursiv zu unterteilen
 - → ergibt Binärbaumstruktur
- ▶ Unterschied: BSP-Bäume verwenden beliebig orientierte Ebenen, kD-Bäume nur Ebenen die senkrecht zur x-, y- oder z-Achse sind





Konstruktion

- Konstruktion findet rekursiv, ähnlich wie BVH, statt
 - initialisiere Wurzelknoten: enthält alle Objekte/Primitive der Szene
 - unterteile den Wurzelknoten rekursiv...
 - ...bis ein Knoten nur noch eine vorgegebene maximale Anzahl Primitive enthält
 - ► ...oder eine maximale Rekursionstiefe erreicht ist (um die heuristische Natur zu verdeutlichen: ein Erfahrungswert besagt Tiefe = $8 + 1.3\log(n)$ für n Primitive)
 - teile die Primitive auf und bilde einen "linken" und einen "rechten" Kindknoten



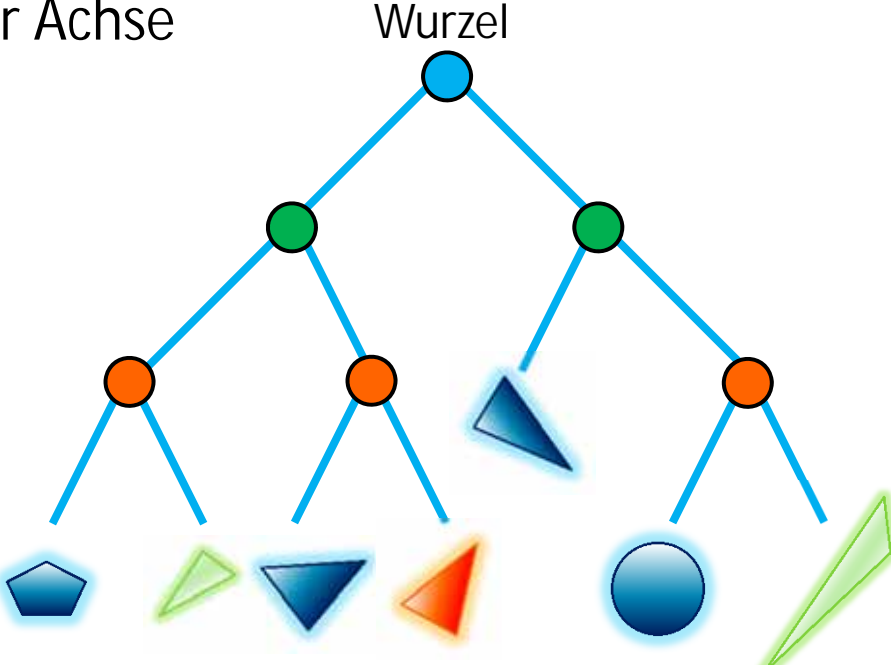
Eigenschaften (im Vergleich mit BVH)

- echte Raumunterteilung: Knoten überlappen sich nicht (vgl. BVH)
- gute Anpassung an Geometrie möglich (v.a. bei BSP-Bäumen)
- die Blattknoten speichern die Primitive
- innere Knoten speichern die Split-Ebenen
 - BSP-Baum: Normale der Ebene und Abstand zum Ursprung

kD-Baum: die zur Ebene senkrechte Achse und die Position entlang dieser Achse

Zeiger auf die Kindknoten

kD-Bäume sind einfacher zu konstruieren (keine Ebenen mit freier Orientierung) und werden daher häufiger eingesetzt

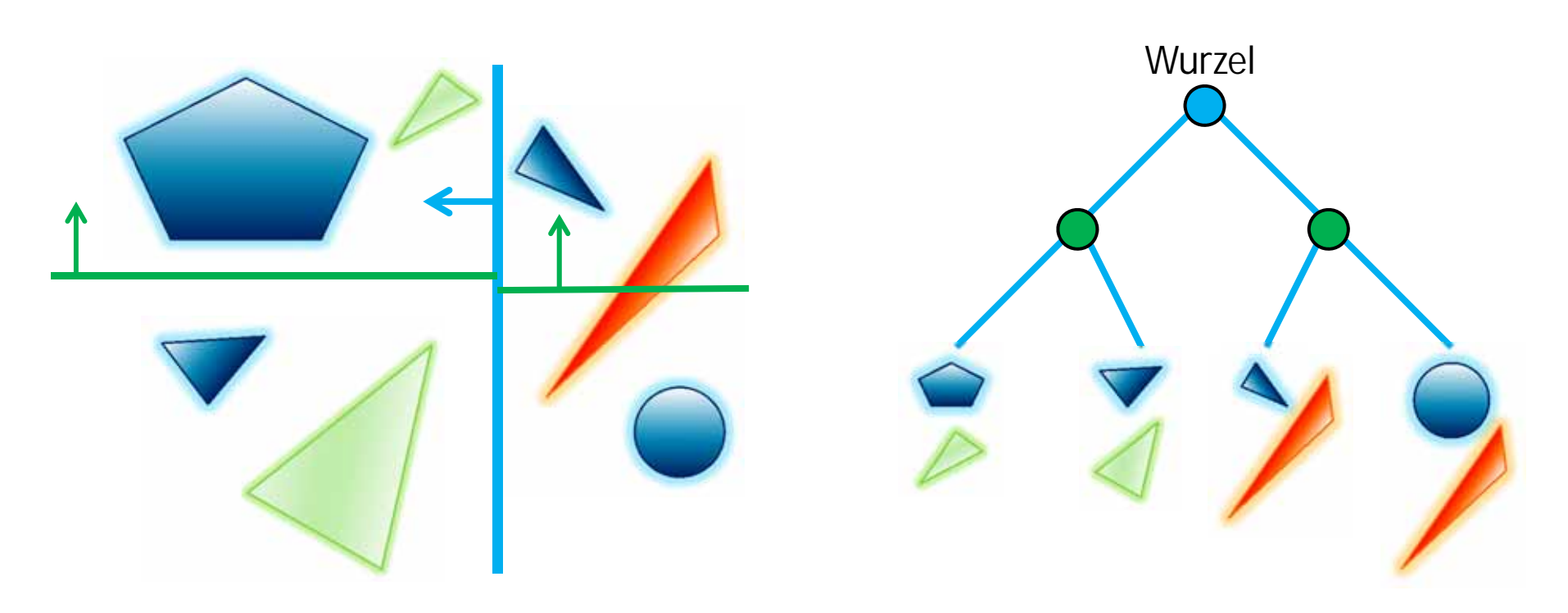


kD-Bäume



Eigenschaften

- ightharpoonup Split-Ebenen senkrecht zur x-, y- oder z-Achse
- Primitive die eine Split-Ebene schneiden
 - werden meist in beide Kindknoten eingefügt: ein Primitiv kann also in mehreren Knoten vorkommen

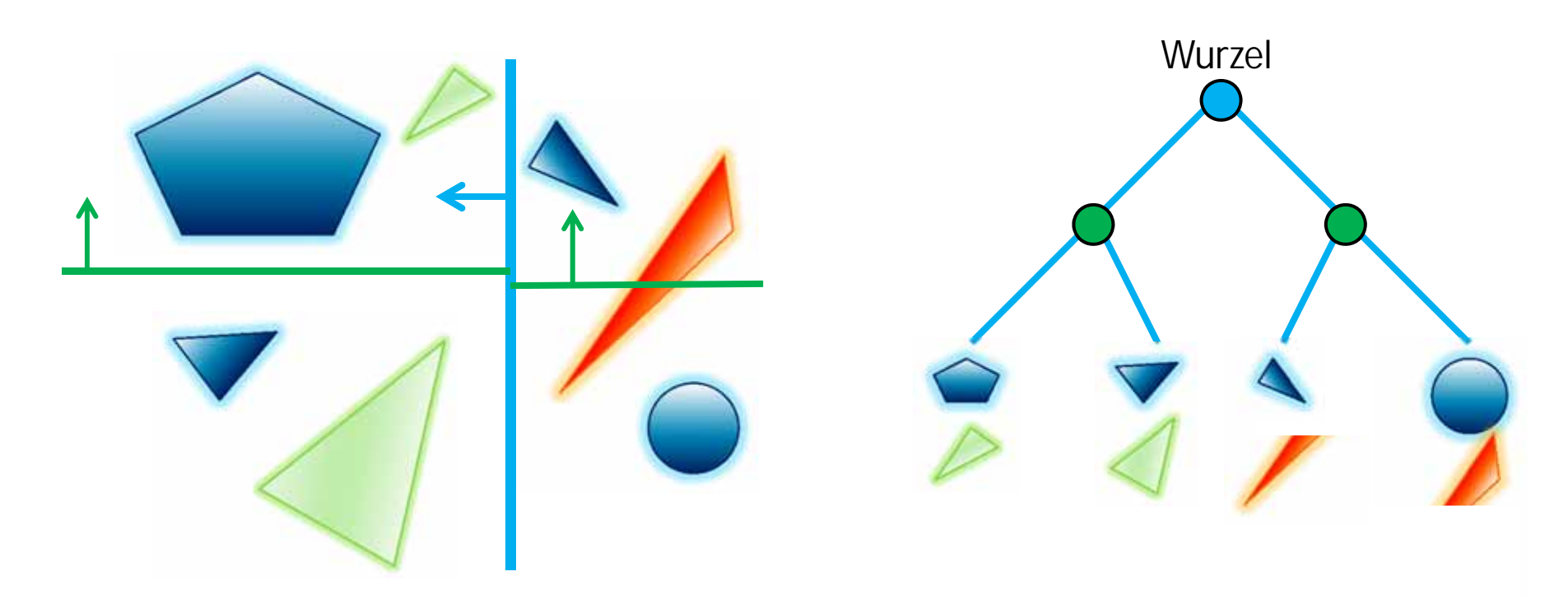


kD-Bäume



Eigenschaften

- Primitive die eine Split-Ebene schneiden
 - werden meist in beide Kindknoten eingefügt: ein Primitiv kann also in mehreren Knoten vorkommen
 - optional: zerschneide das Primitiv (in der Regel macht man das aber nicht!)



kD-Baum und BVH Konstruktion



Aufteilung (Split) eines Knotens für kD-Baum- und BVH-Konstruktion

- Bestimmung der "optimalen" Split-Ebene
 - räumliches Mittel (spatial median): teile Knoten in der Mitte entlang der Achse der größten Ausdehnung **oder** teile erst entlang der x-, dann y-, dann z-, dann wieder x-Achse, usw.
 - \triangleright Aufbau $O(n \log n)$
 - Objektmittel (object median): teile Knoten, so dass linker und rechter Kindknoten gleich viele Primitive enthalten (typischerweise entlang größter Ausdehnung)
 - ▶ Aufbau $O(n \log^2 n)$, wenn eine $O(n \log n)$ Sortierung verwendet wird
 - Kostenfunktion (Surface Area Heuristic)
 - Ziel: im Mittel sollen zufällige Strahlen, die den betrachteten Knoten schneiden, den gleichen Aufwand verursachen, egal welcher der Kindknoten weiter traversiert wird
 - resultiert in einem bei der Traversierung balancierten Baum
 - ightharpoonup Aufbau $O(n \log^2 n)$ möglich http://www.cgg.cvut.cz/members/havran/ARTICLES/ingo06rtKdtree.pdf
- Anm. die Wahl einer guten Split-Ebene ist bei kD-Bäumen schon schwierig bei BSP-Bäumen ist der "Suchraum" noch viel größer



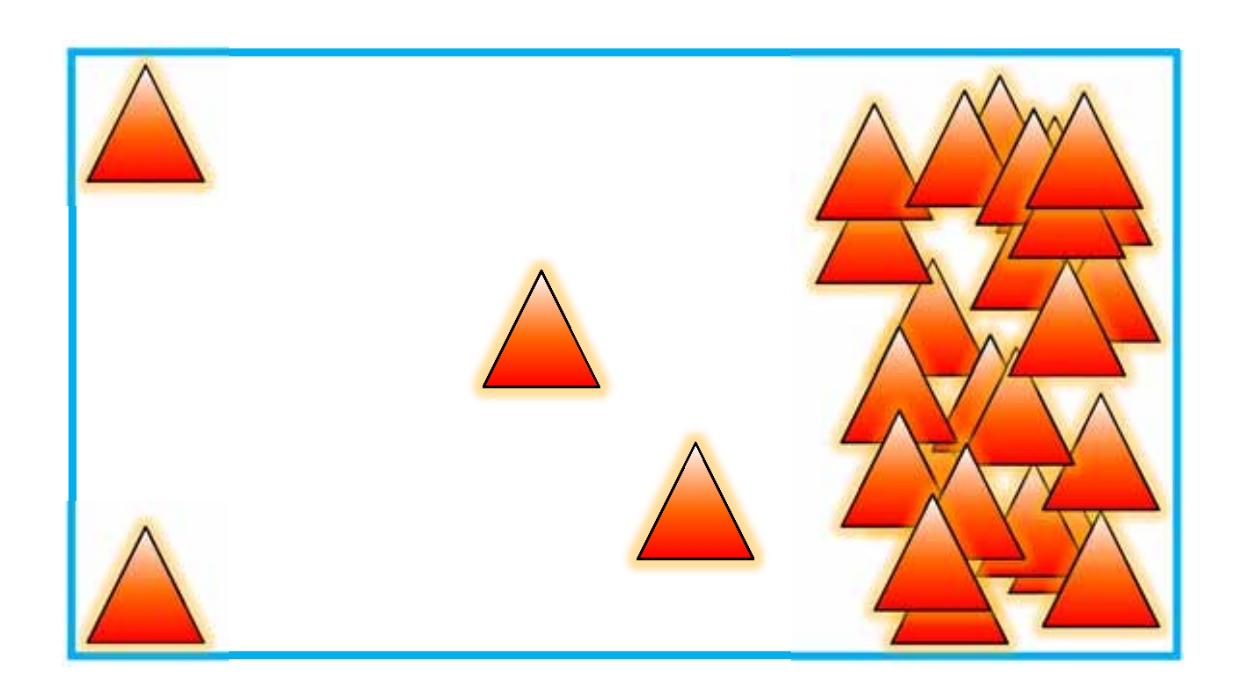
- wie unterteilt man Knoten am besten?
 - ▶ so das Ray Tracing schnell geht ☺
 - Idee: stelle eine Kostenfunktion auf und minimiere
- Kosten für das Traversieren eines unterteilten Knotens

$$C = C_T + P(\text{treffe } L)C(L) + P(\text{treffe } R)C(R)$$

- wichtig: Unterteilung nur dann, wenn die Kosten dadurch geringer werden, als den Schnitt mit allen Objekten des Knoten zu berechnen
- $ightharpoonup C_T$: Kosten für das Traversieren des (neuen) inneren Knotens (= Entscheidung, ob mit linkem oder rechtem Kind fortgefahren wird)
- ▶ P(treffe L), P(treffe R): Wahrscheinlichkeit, dass der Strahl den linken bzw. rechten Kindknoten trifft
- ightharpoonup C(L), C(R): Kosten für das Traversieren und Schnitttests des linken und rechten Kindknotens

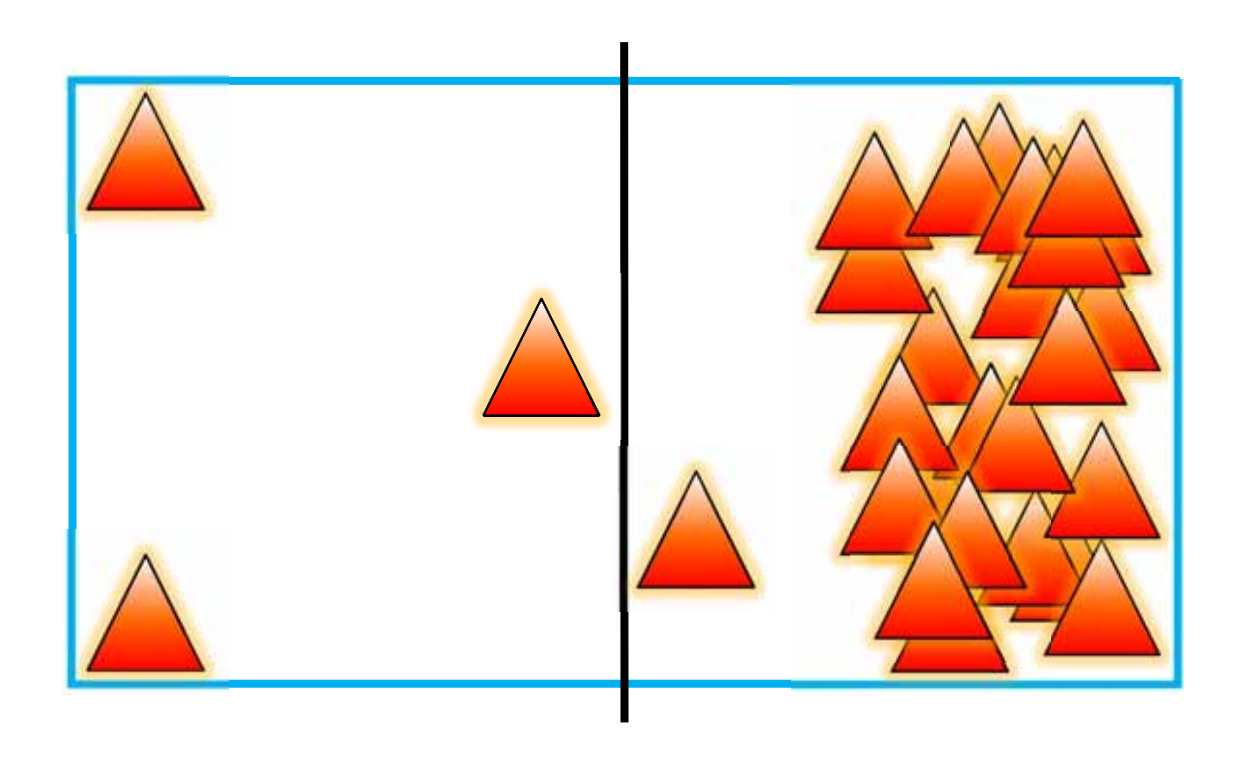


- Beispiel
 - > SAH ist für kD- und BSP-Bäume, sowie für BVH einsetzbar
 - wir betrachten während der Konstruktion Bounding Boxes von Objekten eines Knotens auch wenn wir kD- und BSP-Bäume erzeugen



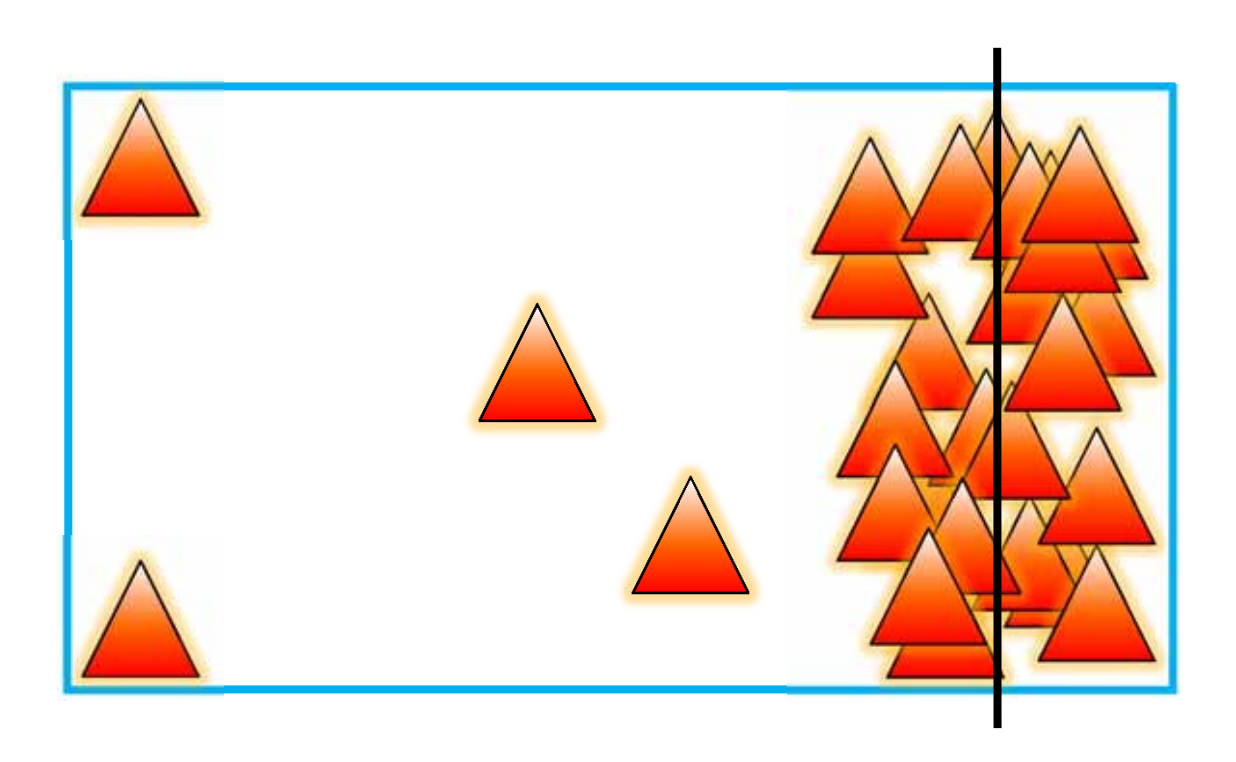


- Beispiel: Unterteilung in der Mitte
 - Motivation: gleiche Wahrscheinlichkeiten für das Treffen des linken bzw. rechten Kindknotens aus
 - ightharpoonup aber: keine Berücksichtigung von C(L) bzw. C(R)



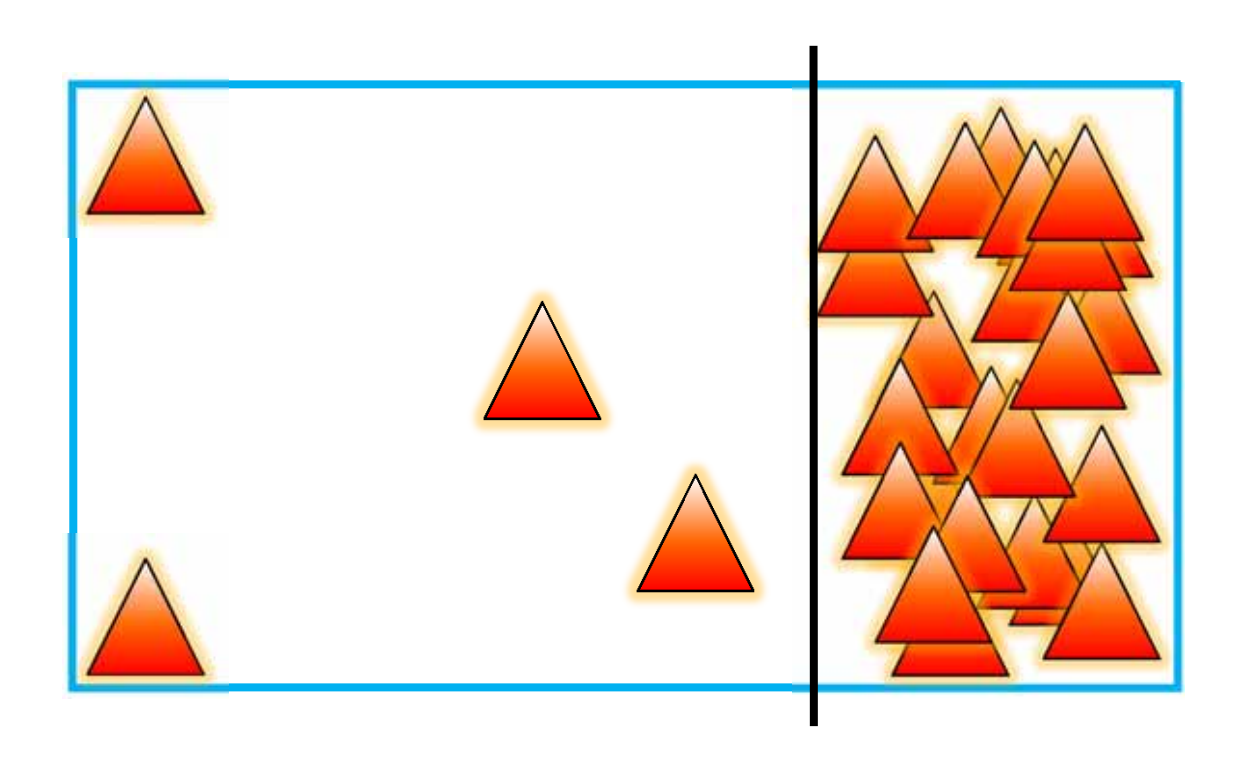


- Beispiel: Unterteile nach Objekt-Median
 - Motivation: gleiche C(L) und C(R) aus, d.h. in etwa genauso viele Dreiecke in jedem Kindknoten, die geschnitten werden müssen
 - aber: keine Berücksichtigung der Wahrscheinlichkeiten für das Treffen des linken bzw. rechten Kindknotens





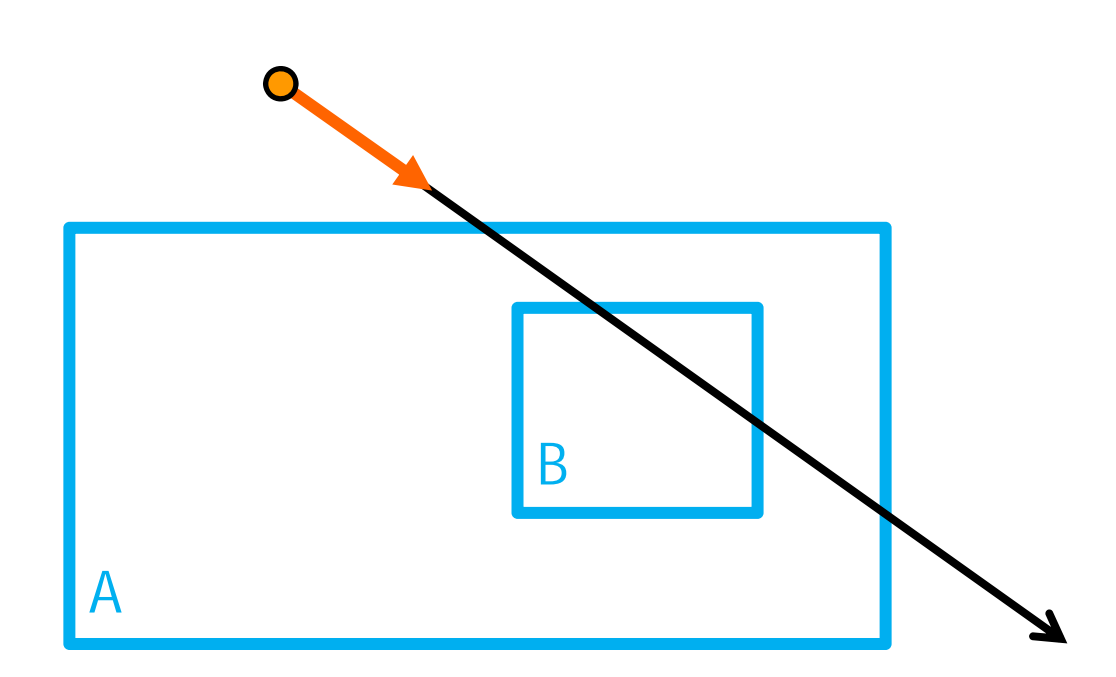
- Beispiel: kostenoptimierte Unterteilung
 - Isolation von komplexen Szenenteilen
 - Erzeuge große dünnbesetzte/leere Bereiche





Eine Konsequenz aus Croftons Theorem (gilt allg. für konvexe Objekte)

- geg. eine Box B, komplett enthalten in einer Box A
- ▶ die Wahrscheinlichkeit, dass ein zufälliger Strahl, der A schneidet, auch B schneidet ist: SA(B)/SA(A)
- > SA(.) ist die Oberfläche einer Box



Surface Area Heuristics (SAH)



Kostenfunktion

Kostenfunktion f
ür das Unterteilen eines kD-Baum/BVH Knotens p

$$C = C_T + \frac{SA(B_l)}{SA(B_p)}|P_l| + \frac{SA(B_r)}{SA(B_p)}|P_r|$$

- $ightharpoonup B_l$, B_r und B_p sind die Bounding Boxes der Primitive im linken und rechten Kindknoten, bzw. des betrachteten Knotens p
- $\triangleright |P_l|$ und $|P_r|$ Anzahl der Primitive im linken und rechten Kindknoten
 - zur Abschätzung der Kosten für die Kindknoten
- $ightharpoonup C_T$ sind die Kosten der Traversierung eines kD-Baum/BVH Knotens relativ zu den Kosten eines Strahl-Primitiv-Schnitttests
 - ightharpoonup durch den konstanten Overhead C_T lohnt sich Unterteilung bei kleineren Knoten irgendwann nicht mehr
- Ziel: finde die Unterteilung, die die Kostenfunktion minimiert

Surface Area Heuristics (SAH)



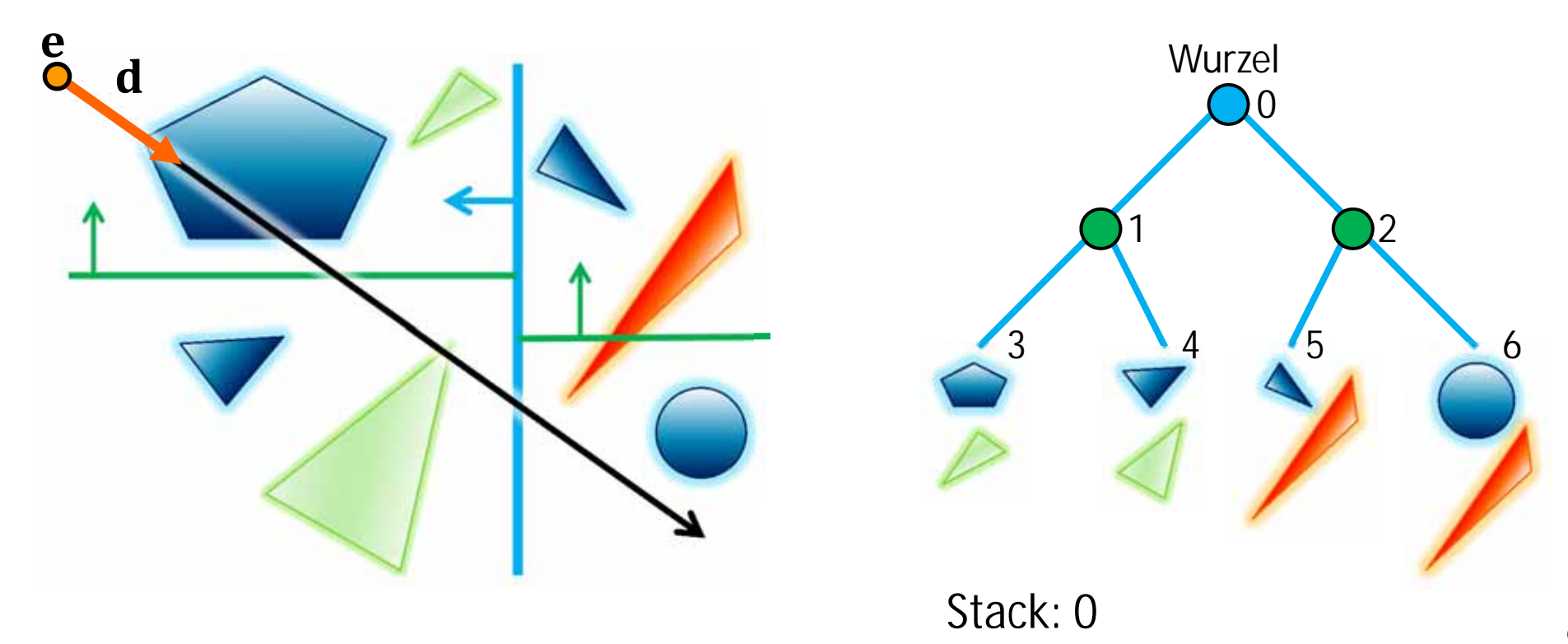
Optimierung/Bestimmung der Unterteilung

- aufwändig, da der Suchraum groß sein kann
- daher meist approximative Konstruktion
 - representation entrangement of the properties of the entrangement of the entrangement
 - ightharpoonup natürlich innerhalb der Bounding Box B_p
 - berechne Kostenfunktion für jeden Kandidaten (nicht vernachlässigbare Kosten!)
 - wähle Kandidaten mit den niedrigsten Kosten
- gut konstruierte kD-/BSP-Bäume bzw. BVHs können um ein Vielfaches schneller sein, als schlecht konstruierte



Traversierung

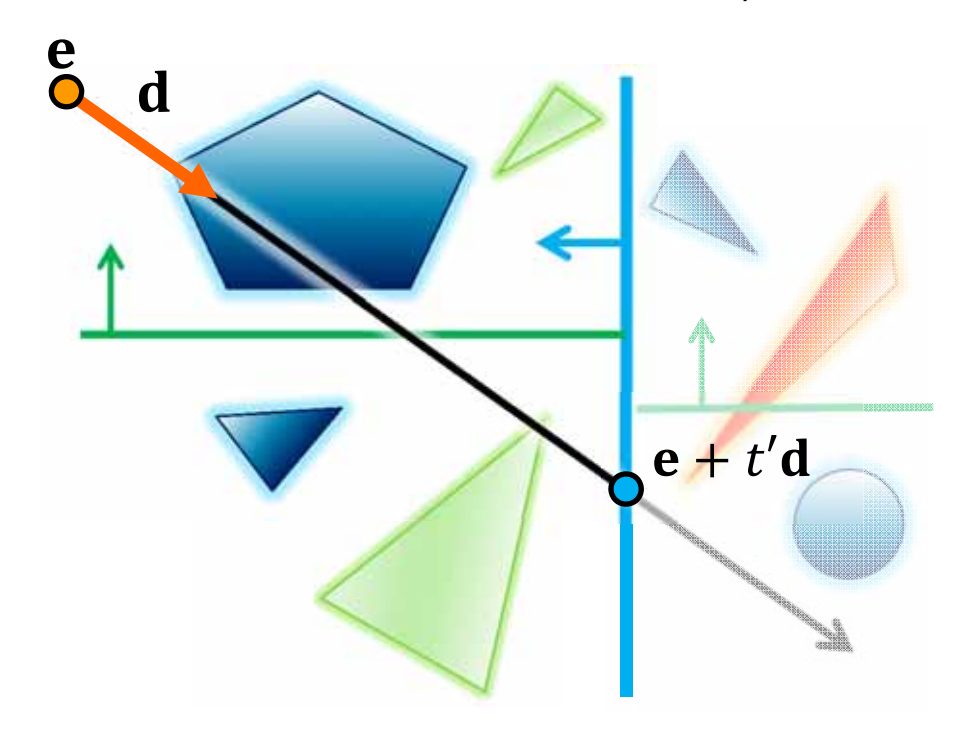
- > Strahl $\mathbf{r}(t) = \mathbf{e} + t\mathbf{d}$, mit $t_{min} \le t \le t_{max}$ (t_{min} , t_{max} z.B. aus Schnitt mit AABB der ganzen Szene, oder $t_{min} = 0$, $t_{max} = \infty$)
- Ziel: Traversierung der Knoten "von vorne nach hinten"
- verwende Stack, um die Knoten für die Bearbeitung zu halten
- zu Beginn enthält der Stack den Wurzelknoten (0)

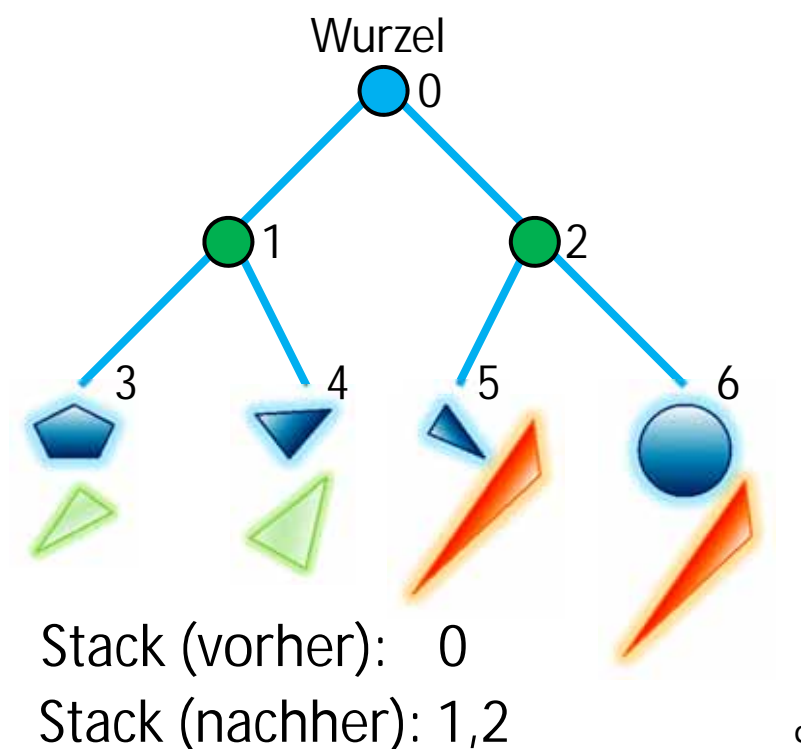




Traversierung

- ightharpoonup Strahl $\mathbf{r}(t) = \mathbf{e} + t\mathbf{d}$, mit $0 \le t \le t_{max}$
- schneide Strahl mit der Split-Ebene (entnehme ersten Knoten vom Stack)
 - ightharpoonup der Schnitt bei liegt t' mit $0 \le t' \le t_{max}$
 - fahre mit beiden Kindern rekursiv fort
 - zuerst der Kindknoten, der e enthält

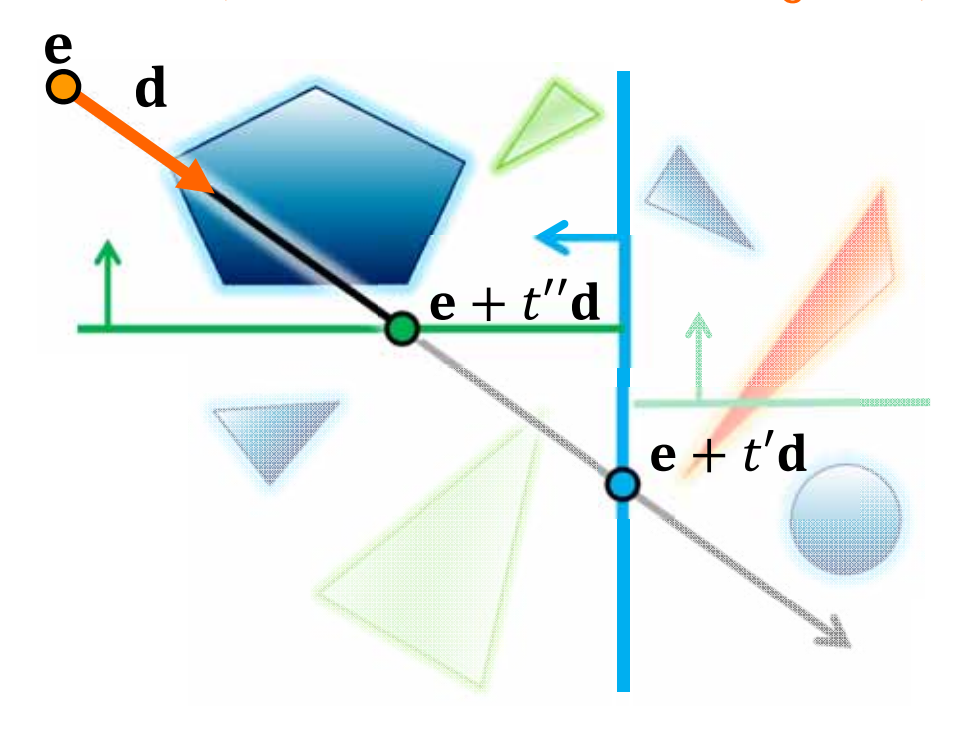


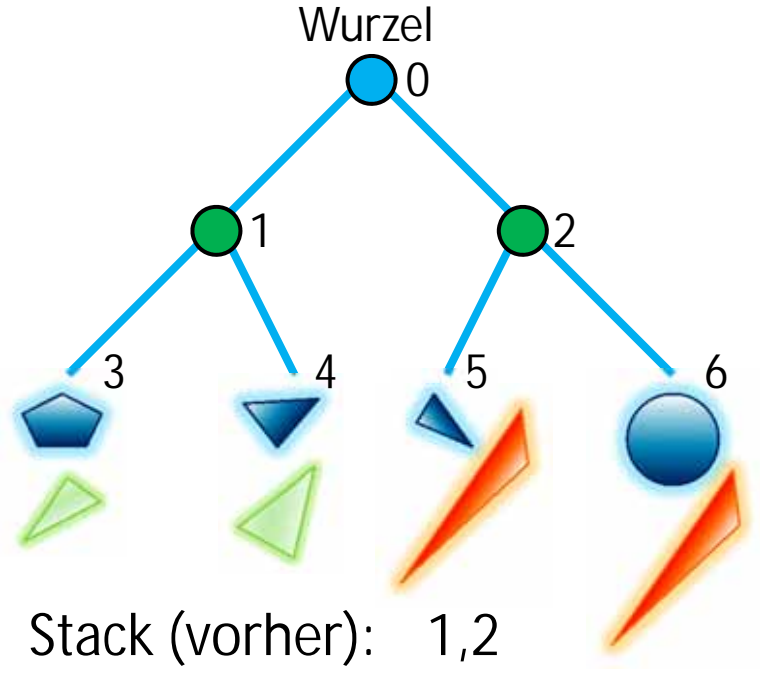




Traversierung

- schneide Strahl mit der Split-Ebene (entnehme Knoten 1 vom Stack)
 - ▶ liegt der Schnitt bei t'' mit $0 \le t'' \le t'$ (das muss nicht so sein)
 - dann fahre mit beiden Kindern rekursiv fort
 - zuerst der Kindknoten, der e enthält
 - (der andere Fall kommt gleich)



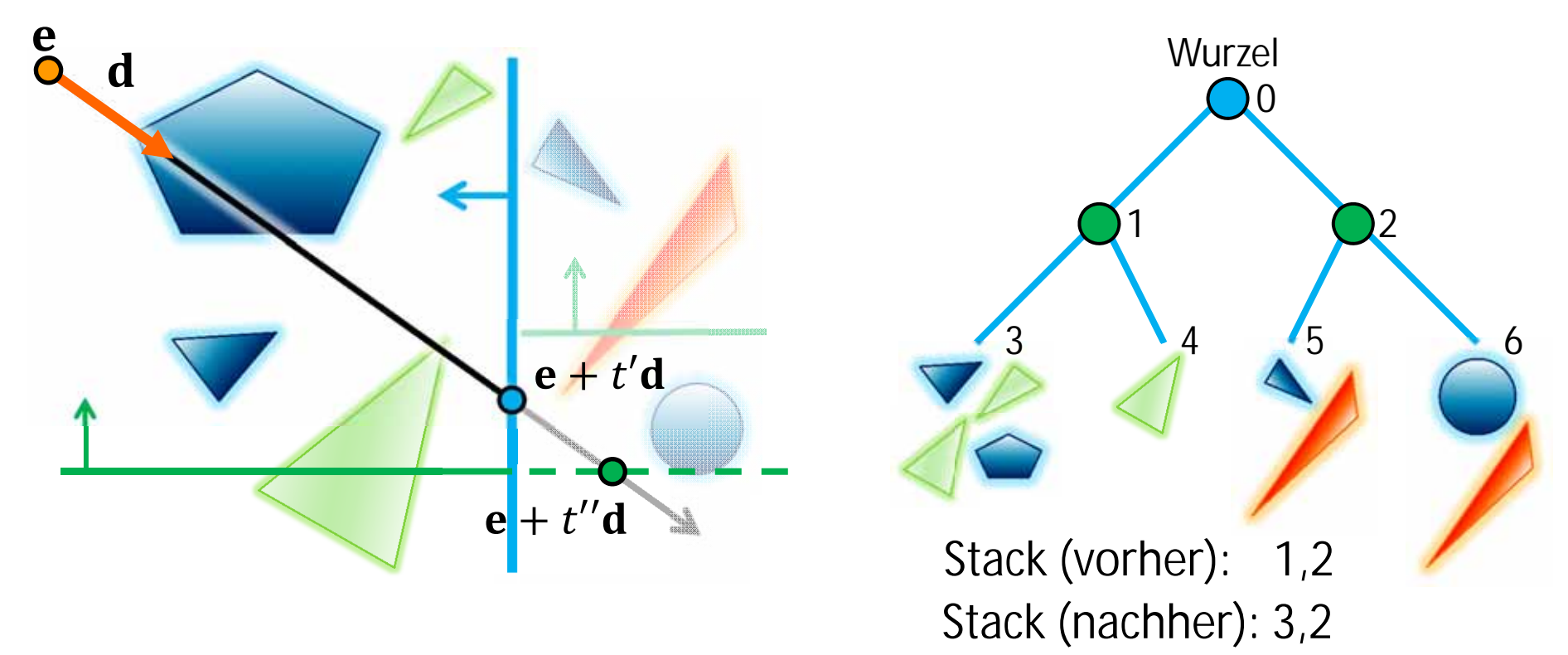


Stack (nachher): 3,4,2



Traversierung: "der andere Fall"

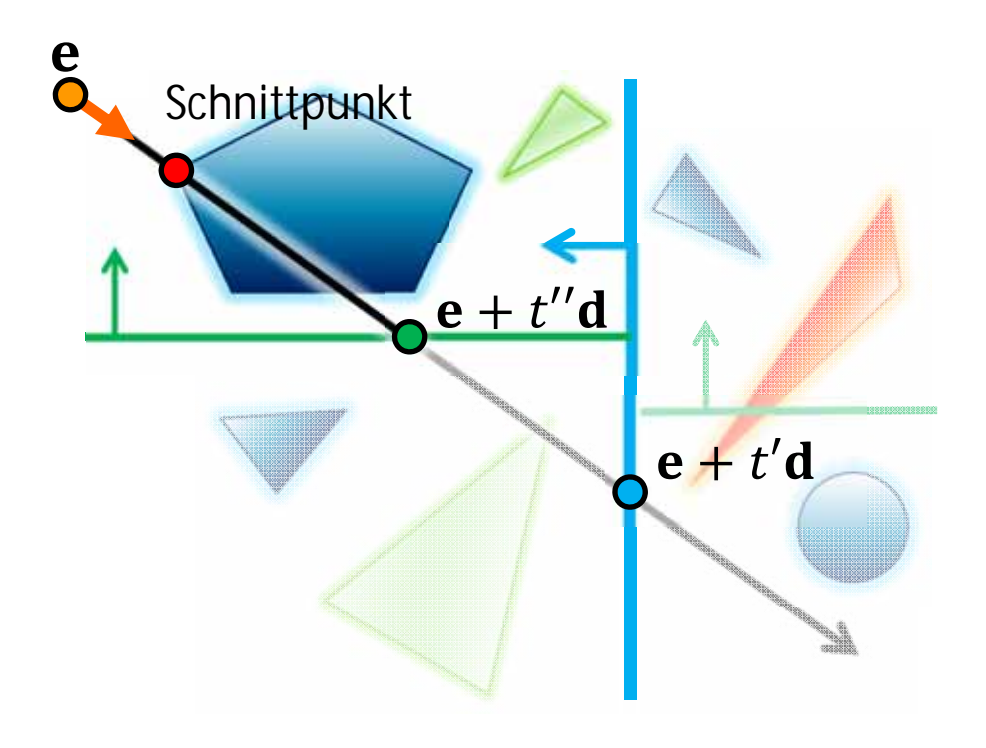
- Achtung: nur zur Illustration, hat nichts mit dem Beispiel zu tun!
- schneide Strahl mit der Split-Ebene (entnehme Knoten 1 vom Stack)
 - ightharpoonup hier liegt der Schnitt bei $t^{\prime\prime}$ mit $t^{\prime\prime}>t^{\prime}$
 - nur der Kindknoten, der e enthält wird traversiert (hier Knoten 3)
 - hier: bevor Knoten 4 erreicht wird, verlassen wir den Teilbaum

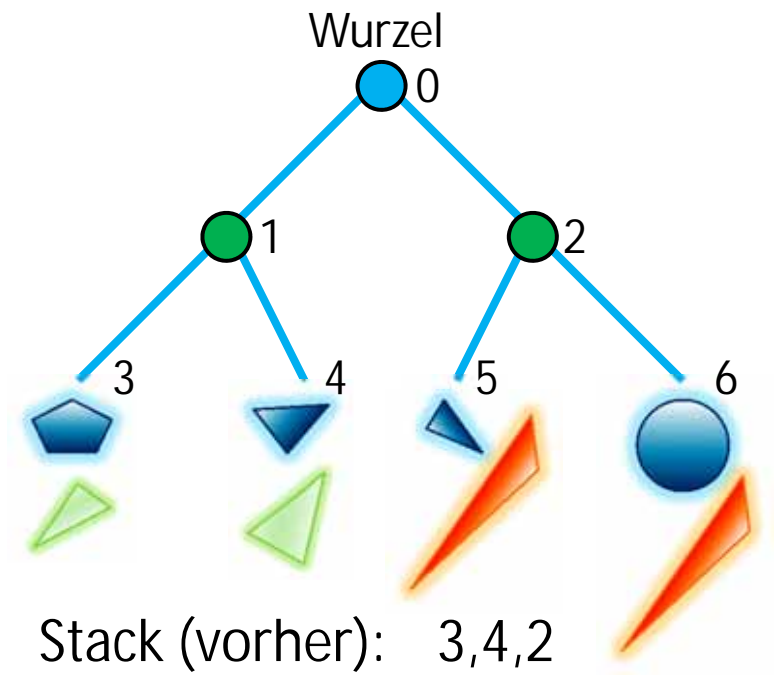




Traversierung

- wenn Blattknoten erreicht, dann teste Schnittpunkte mit Primitiven
- pebe Schnittpunkt zurück, wenn innerhalb [0, t'') (bzw. [t'', t'), wenn Primitive im hinteren Halbraum getestet wurden)
- Vorteil "echter" Raumunterteilung: kein möglicher Schnitt weiter hinten
- in diesem Beispiel sind wir jetzt fertig!





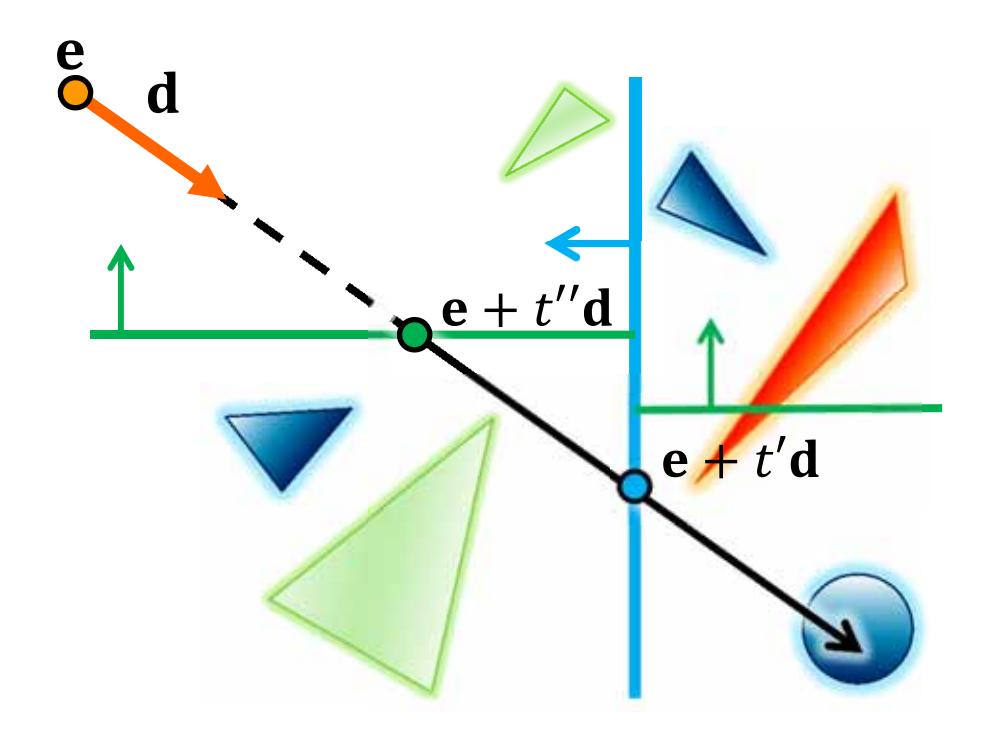
Stack (nachher): 4,2

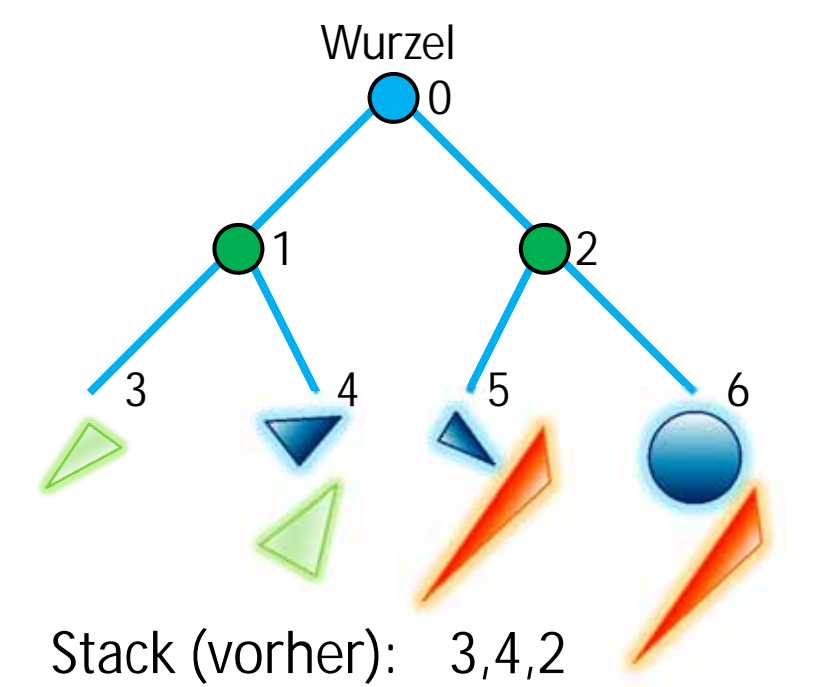
100



Traversierung

- keine Schnittpunkte im Knoten 3 gefunden
- ▶ fahre mit n\u00e4chstem Knoten vom Stack fort → Knoten 4
- ightharpoonup auch dort gibt es keine Schnittpunkte für $t'' \leq t \leq t'$





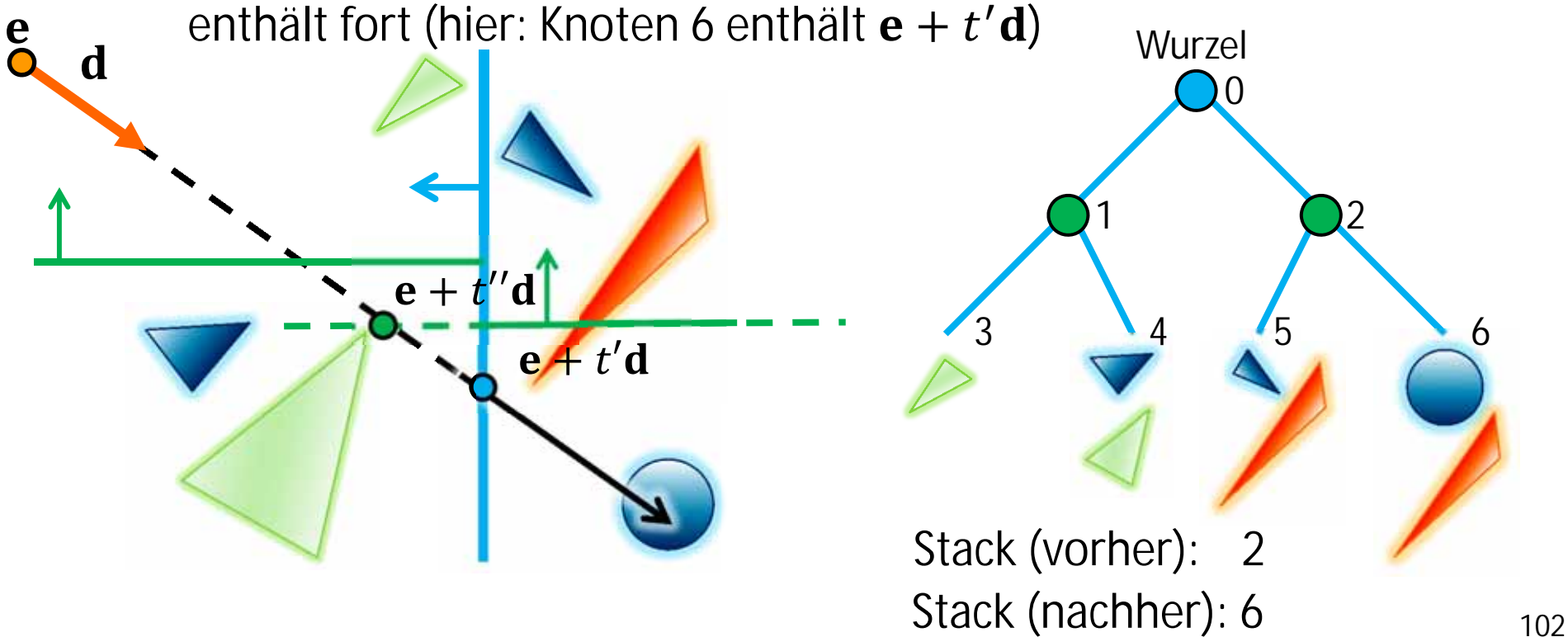
Stack (nachher): 2

101



Traversierung

- ▶ fahre mit n\u00e4chstem Knoten vom Stack fort → Knoten 2
- schneide Strahl mit der Split-Ebene (Knoten 2)
 - liefert den Schnitt bei t''
 - ightharpoonup wenn $t'' \in [t', t_{max})$, dann wären wir in Knoten 5 (nicht der Fall)
 - ▶ wenn $t'' \notin [t', t_{max})$, dann fahre mit dem Kind, das den Startpunkt •





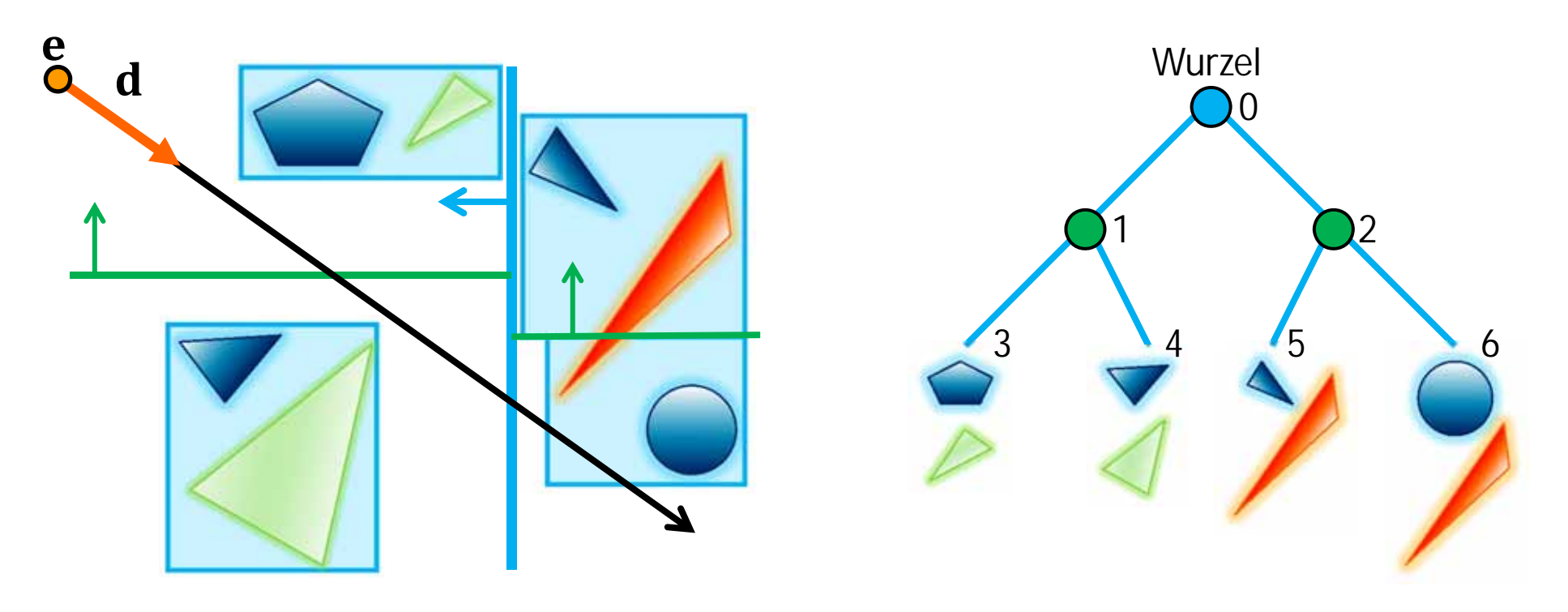
Traversierung

- ightharpoonup Strahl $\mathbf{r}(t) = \mathbf{e} + t\mathbf{d}$, mit $0 \le t \le t_{max}$
- schneide Strahl mit der Split-Ebene (beginnend beim Wurzelknoten)
 - Schnitt mit der Split-Ebene bei t'
 - wenn t' auf dem Strahlsegment liegt: traversiere beide Kinder rekursiv, zuerst das Kind, das e enthält
 - liegt t' nicht auf dem Strahlsegment: dann fahre nur mit dem Kind, das e enthält fort
 - Blattknoten erreicht:
 - teste Schnittpunkte mit Primitiven
 - gebe Schnittpunkt zurück, wenn innerhalb des aktuellen Strahlsegments
 - Reihenfolge der Traversierung der Knoten: von vorne nach hinten!
- Komplexität
 - \triangleright $O(\log n)$ Schnitttests für n Objekte/Primitive in der Szene



Kombination mit AABBs

- i.d.R. speichert man für die Primitive eines Knotens zusätzlich eine AABB
- hilfreich, wenn Primitive nur einen kleinen Teil des Raums einnehmen
- für Schnitttest pro Knoten bedeutet das: teste nur auf Schnitt mit Primitiven, wenn die AABB geschnitten wird
- Isolation dünnbesetzter Bereiche ist daher wünschenswert



Anwendung: kD-Bäume und Photon Mapping





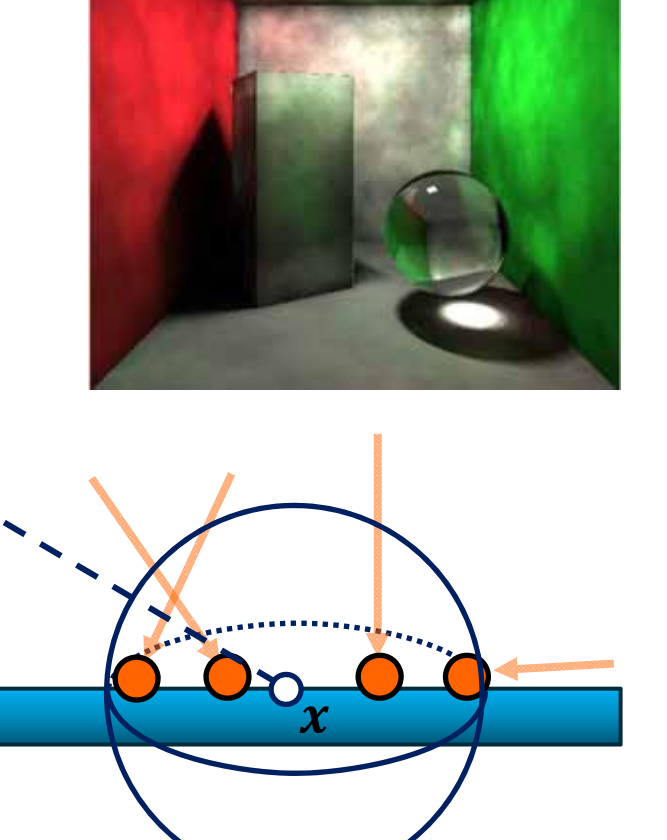
Exkurs: Photon Mapping

■VD

Grundidee

- sende Photonen (Energiepakete) von den Lichtquellen aus
- verfolge und speichere Photonen, wenn sie eine diffuse Fläche treffen
- ▶ Helligkeit

 Photonenenergie pro Fläche
 - Suche die n-nächsten Photonen oder alle Photonen in einer Umgebung mit Radius r

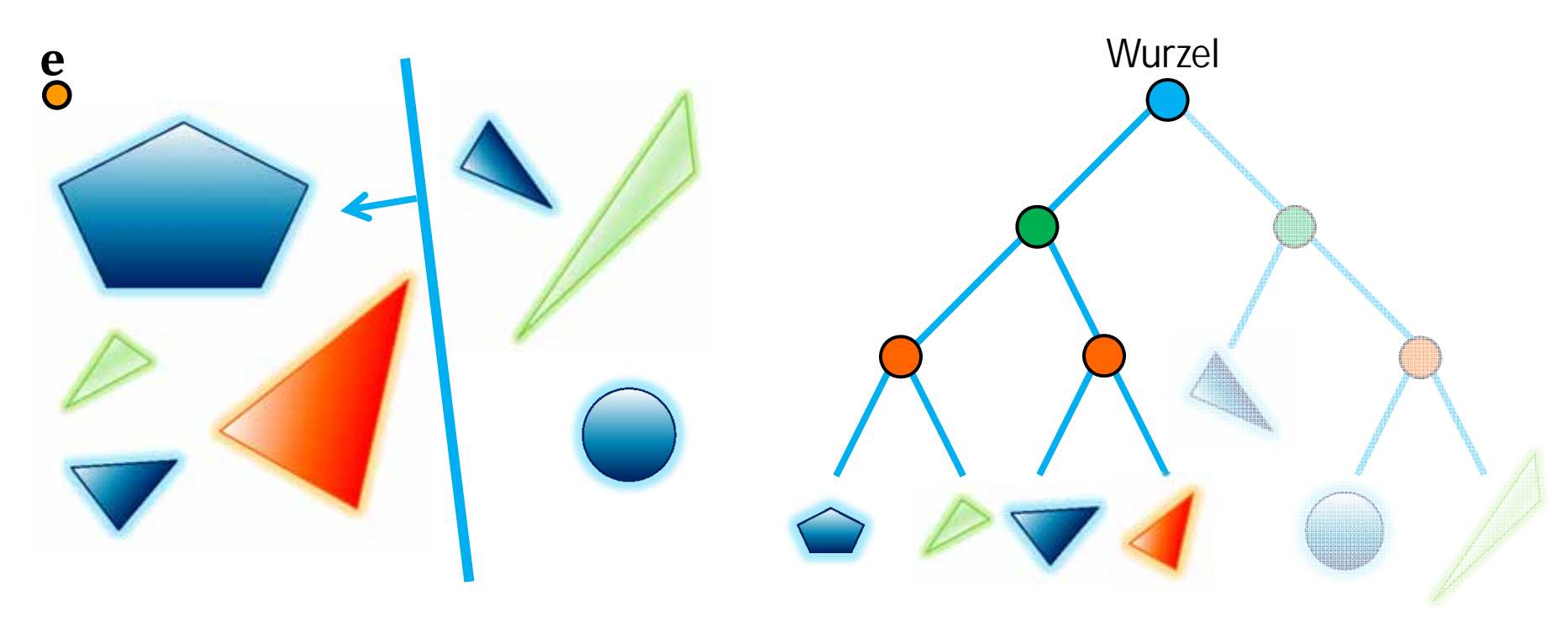


Suche im kD-/BSP-Baum



Suche das nahste Objekt/Primitiv zum Punkt e

- e liegt im positiven Halbraum der Split-Ebene der Wurzel
 - d.h. alle Objekte im negativen Halbraum sind "weiter hinten"

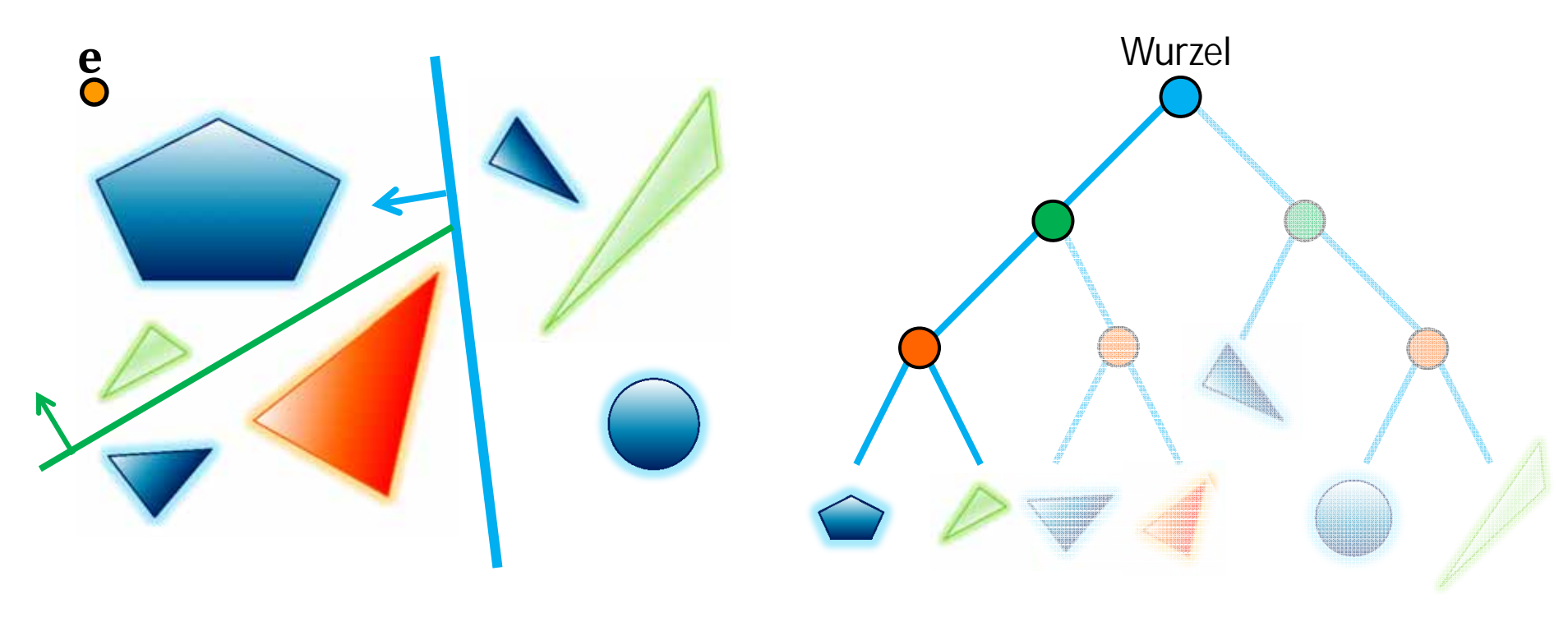


Suche im kD-/BSP-Baum



Suche das nahste Objekt/Primitiv zum Punkt e

- e liegt im positiven Halbraum der Split-Ebene des Knotens
 - d.h. alle Objekte im negativen Halbraum sind "weiter hinten"

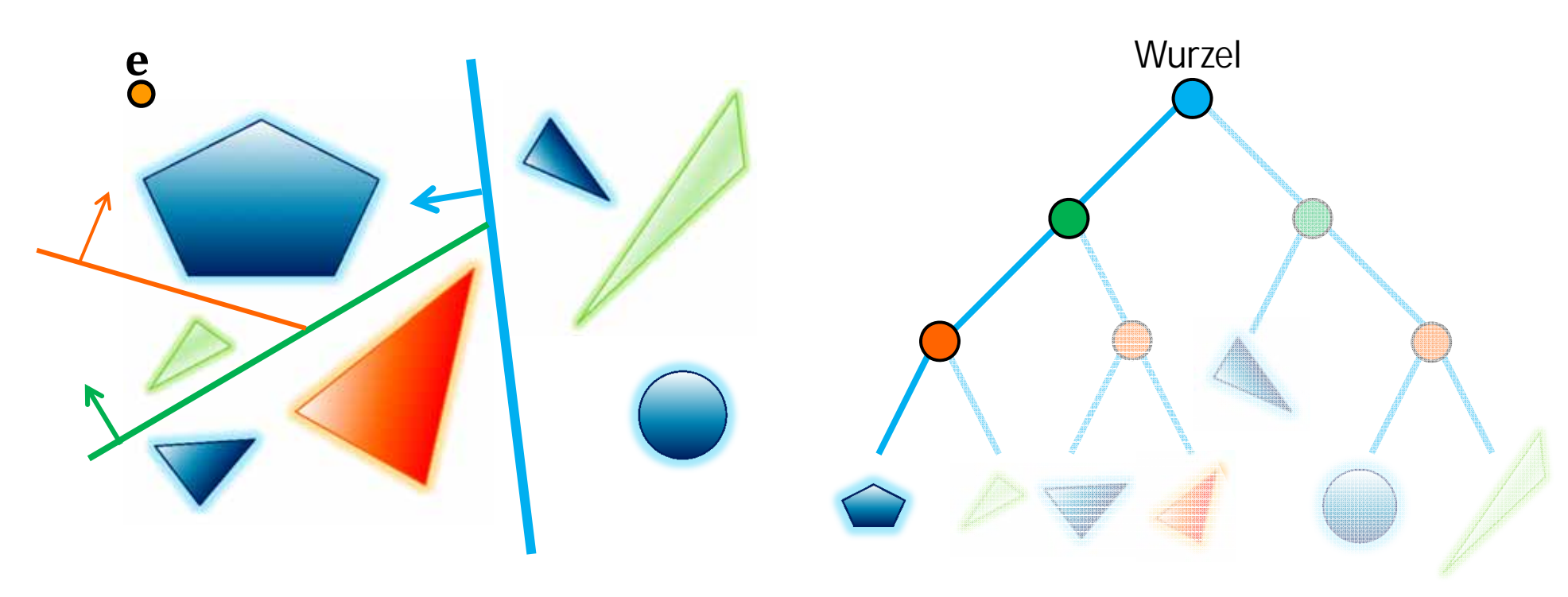




Suche das nahste Objekt/Primitiv zum Punkt e

- e liegt im positiven Halbraum der Split-Ebene des Knotens
 - d.h. alle Objekte im negativen Halbraum sind "weiter hinten"

dieses Prozedere findet den Unterraum in dem sich **e** befindet, aber nicht immer das nahste Objekt!

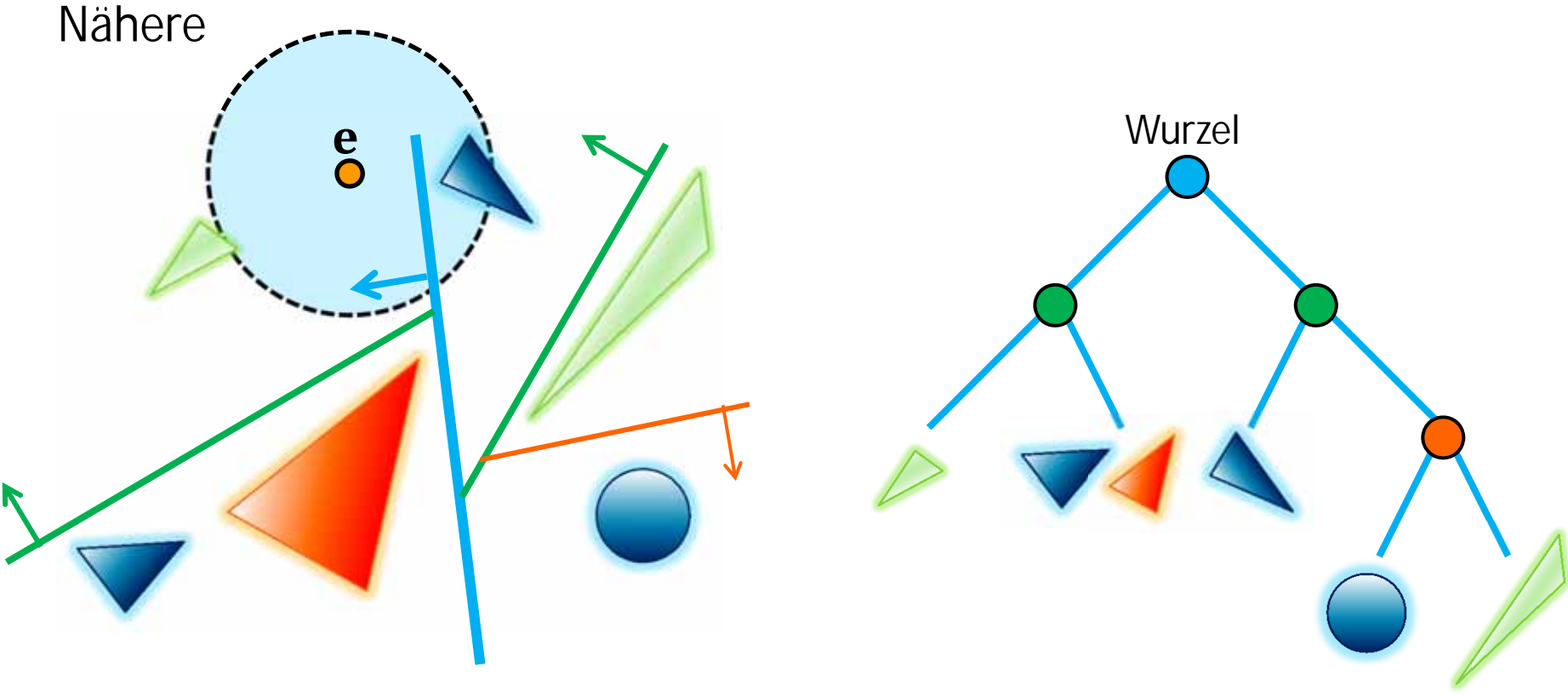




Suche das nahste Objekt/Primitiv zum Punkt e

- das Objekt /> im selben Unterraum wie e ist nicht das Nahste
- das gesuchte Objekt \(\) kann in jedem Unterraum liegen, der n\(\) her an \(\) liegt, als das bisher gefundene Primitiv

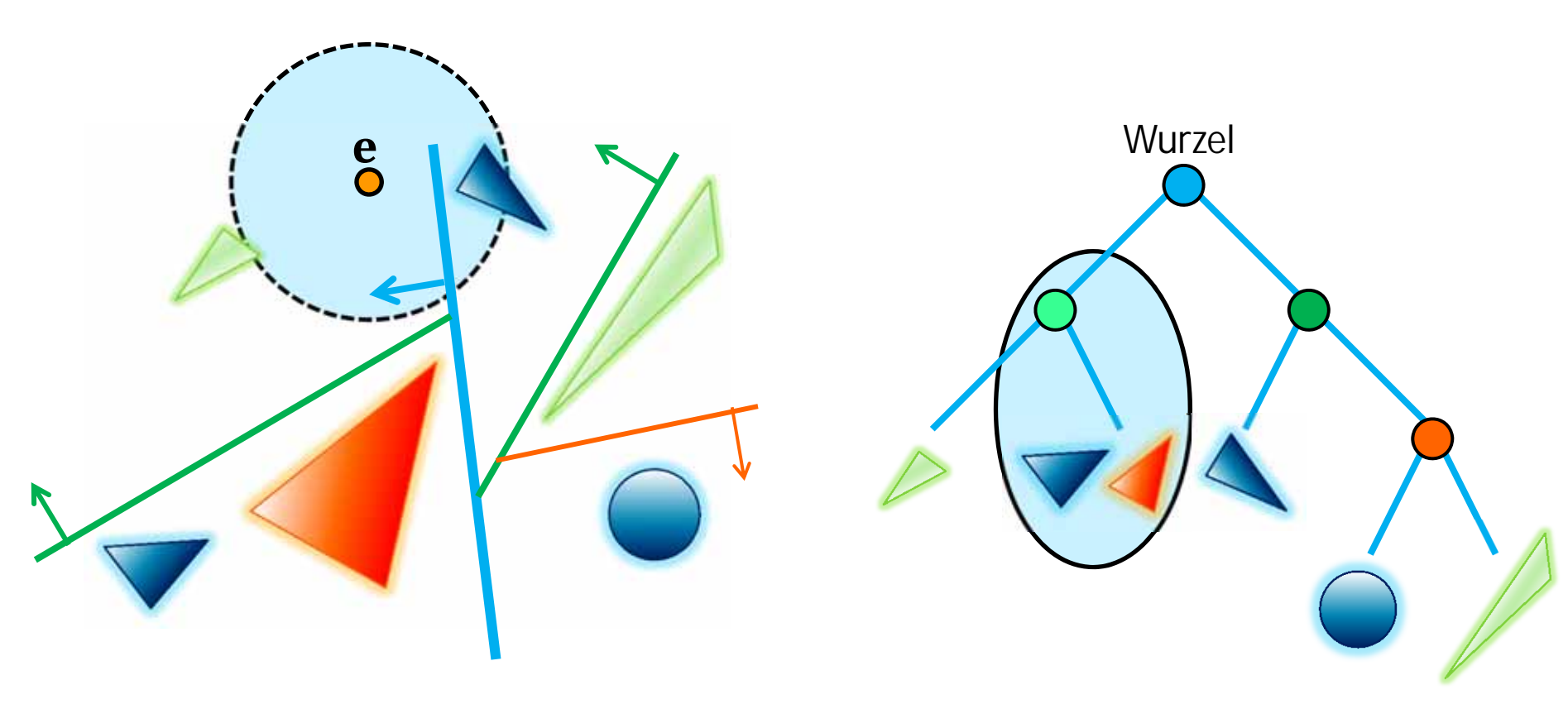
speichere Abstand zum jeweils nahsten gefundenen Objekt und suche





Suche das nahste Objekt/Primitiv zum Punkt e

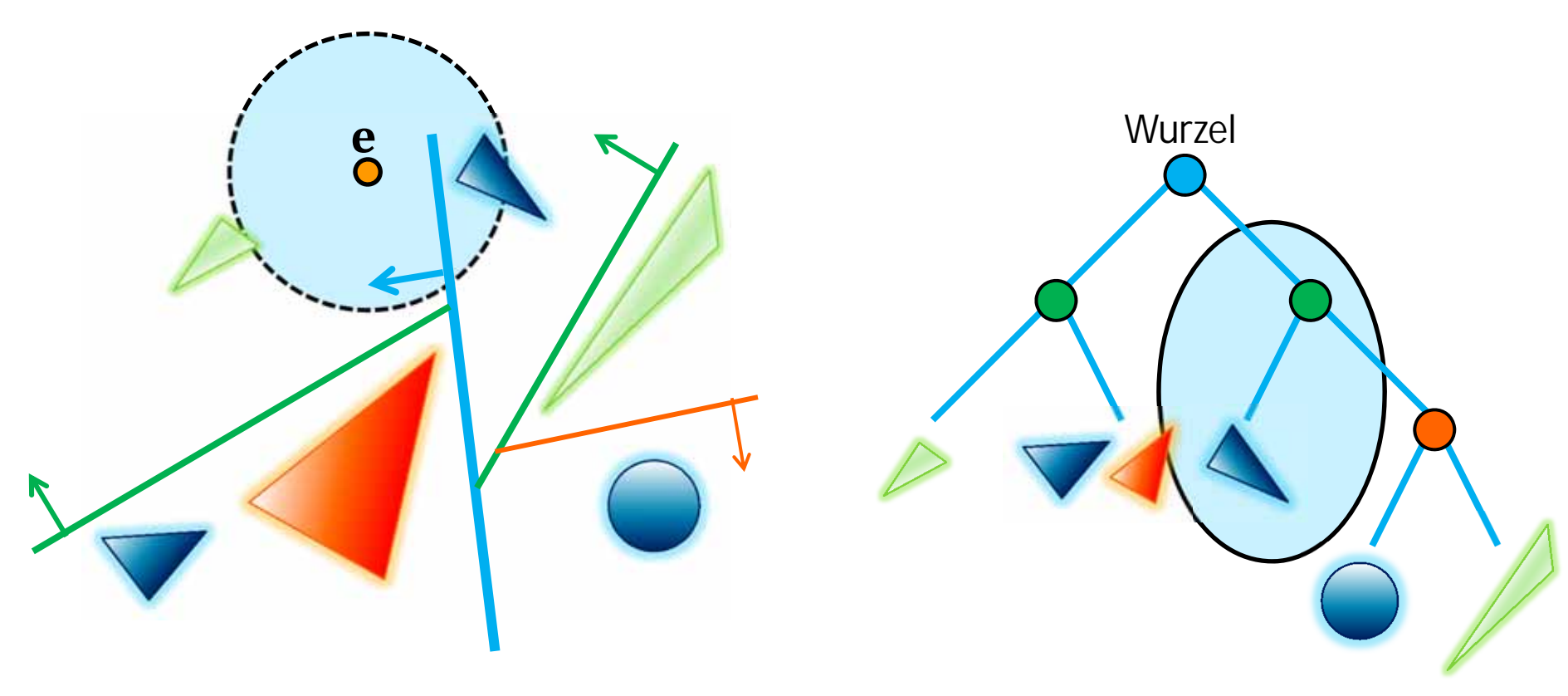
- das gesuchte Objekt kann in jedem Unterraum liegen, der näher an e liegt, als das bisher gefundene Primitiv
- gehe zum Elternknoten und prüfe ob der andere Kindknoten in Frage kommt (hier nicht der Fall)





Suche das nahste Objekt/Primitiv zum Punkt e

- gehe im Baum weiter nach oben und prüfe den anderen Kindknoten
- steige in diesem Teilbaum durch Tiefensuche ab (depth-first traversal): jeweils den Ast des näheren Teilbaums zuerst
- \triangleright im Mittel $O(\log n)$, worst case O(n) (n Objekte/Primitive)

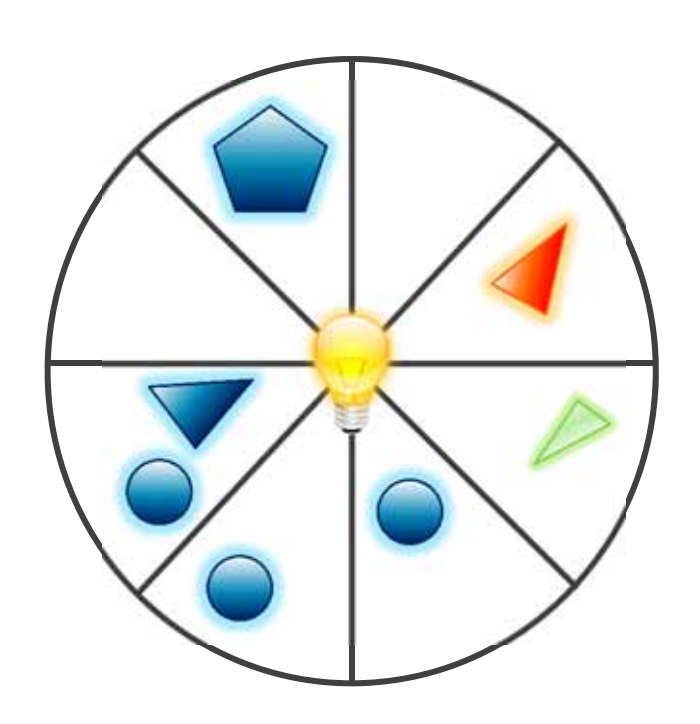


Richtungsunterteilung



Idee: Unterteile Objekte nach Richtung, in der sie liegen

- Sortierung für einige diskrete Richtungen
 - optional: jeweils nach Entfernung
- Bsp. Beschleunigung des Schattentests bei Punktlichtquellen
- werden sehr selten eingesetzt



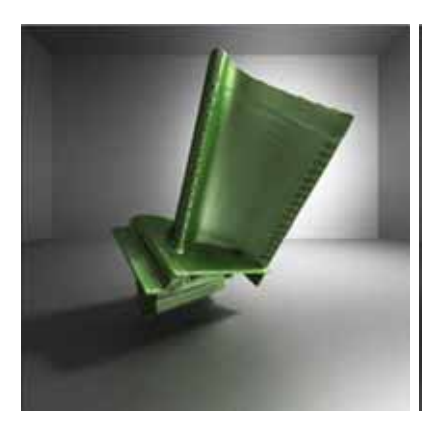
Modernes Ray-Tracing

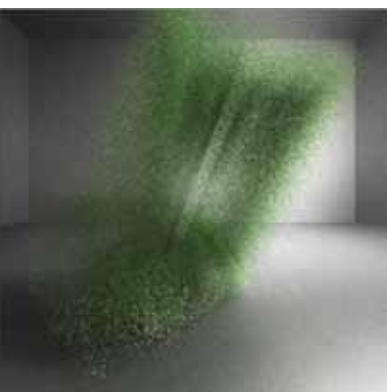


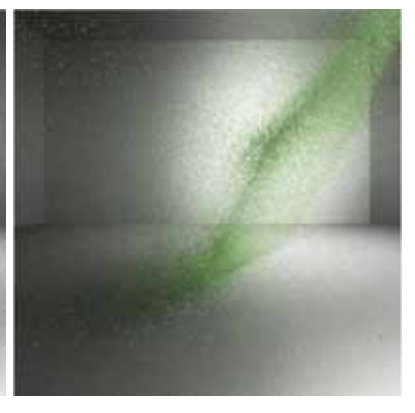
- SIMD Architekturen und kleine Strahlenbündel (typ. 4-16 Strahlen)
 - kohärente Strahlenpakete: Gruppen von Strahlen mit ähnlichem Ursprung und Richtung (z.B. Primärstrahlen, Schattenstrahlen etc.)
 - können oft sehr schnell verarbeitet werden: oft ähnliche Wege durch die (hierarchische) Beschleunigungsstruktur
 - Bsp. der Schnitttest Strahl-AABB kann mit SIMD Befehlen einfach auf einen Test 4-Strahlen-AABB erweitert werden
 - inkohärente Pakete können Parallelität der HW nicht (gut) nutzen
 - gleiche Berechnungen (oft Dreieck als einziger Primitivtyp)
- Geschwindigkeit (siehe auch http://embree.github.io/data/embree-siggraph-2013-final.pdf und https://research.nvidia.com/sites/default/files/publications/nvr-2012-02.pdf):
 - ▶ in der Größenordnung von 30-100 Mio. kohärenten Strahlen pro Sekunde auf einer Quadcore CPU (Grafikhardware 200-400 Mio.)
 - bei komplexen Szenen (hunderttausende Dreiecke) mit hierarchischen Datenstrukturen (typ. BVH oder kD-Bäume)
 - paralleler Aufbau der Datenstrukturen ist aktuelles Forschungsthema!

Parallele Konstruktion räumlicher Datenstrukturen VD

Neuberechnung und inkrementelle Updates in dynamischen Szenen

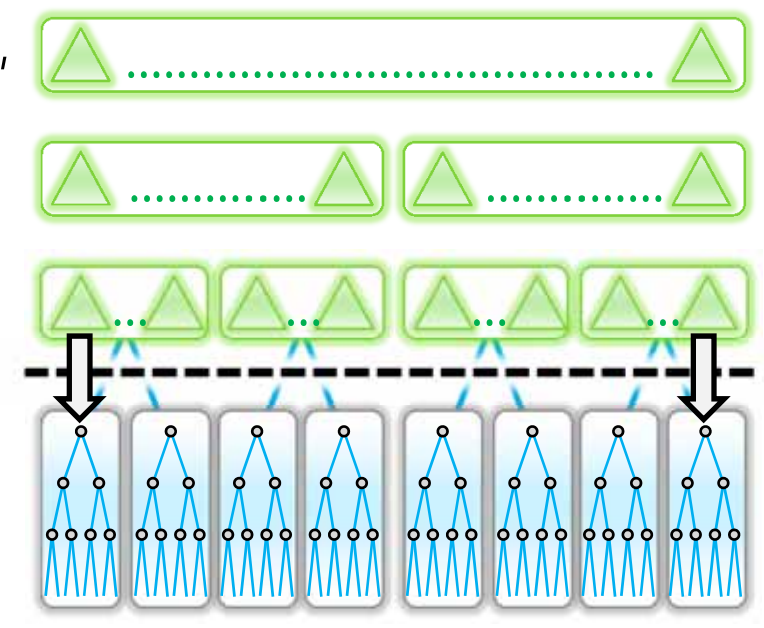






Bilder: Pantaleoni und Luebke

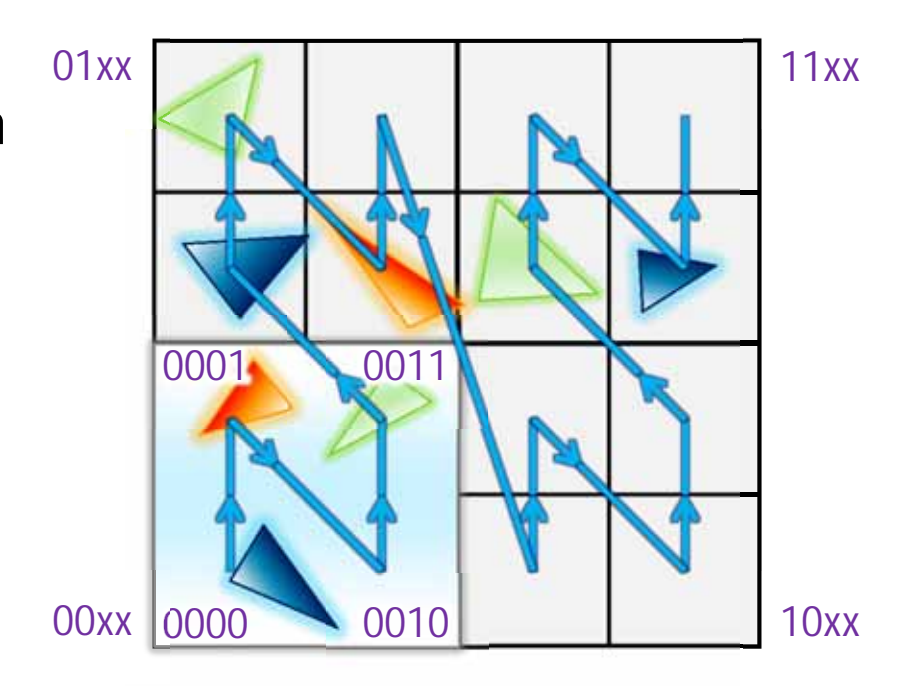
- State of the Art: wenige Millisekunden für 1 Mio. Dreiecke auf Grafik-Hardware, 20ms auf CPUs (gute Qualität)
 - Geschwindigkeit beim Aufbau und Qualität der Hierarchie sind widersprüchliche Kriterien
 - ein weiteres Problem ist der temporäre Speicherbedarf bei der Konstruktion

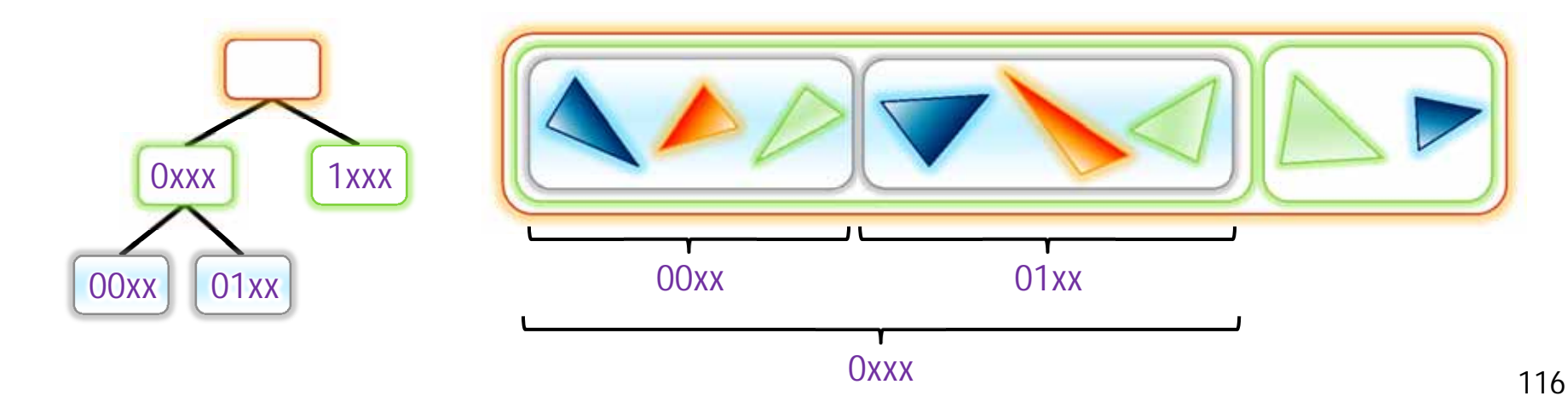


Parallele Konstruktion räumlicher Datenstrukturen VD

Grundidee: Vorsortierung durch Quantisierung und Morton Codes

- quantisiere Primitivmittelpunkte
- Zuweisung Morton Codes zu Zellen
- sortiere Primitive nach Zellcodes
- ergibt implizite Baumstruktur





Fazit (Achtung: Erfahrungswerte!)

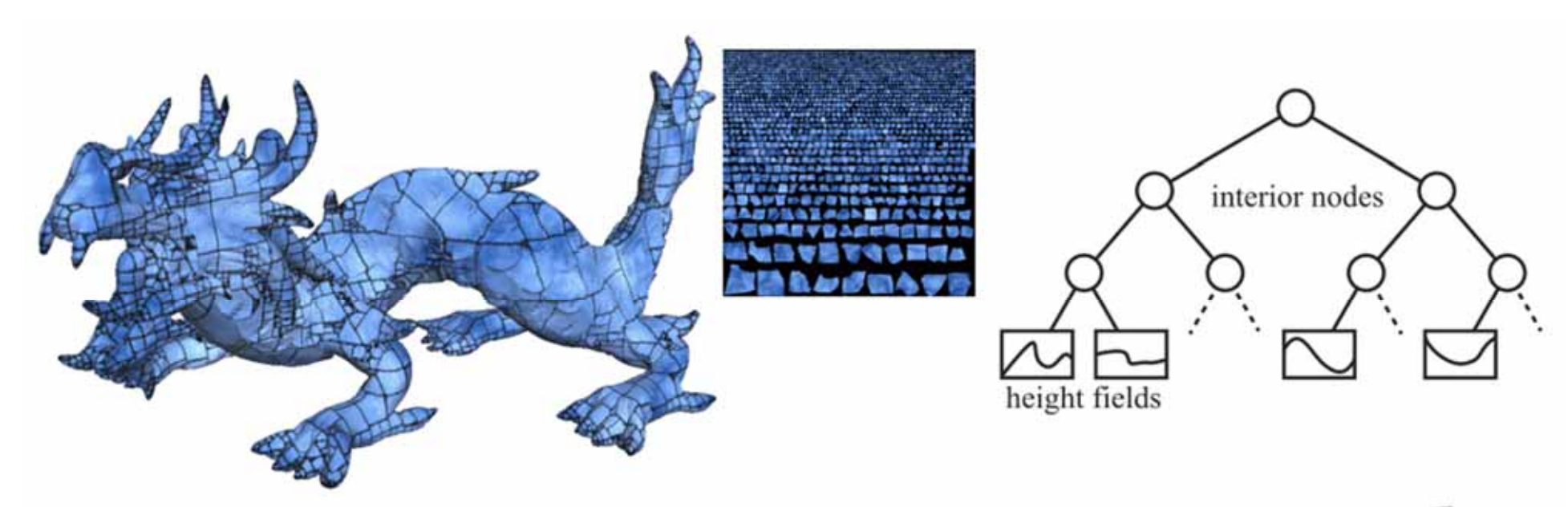


- Kombination verschiedener Beschleunigungstechniken
 - oft SIMD-Optimierung zusammen mit BVH oder kD-Baum
 - BVH mit AABBs: schnelle Erzeugung, gute Hierarchie
 - ▶ kD-Baum: etwas aufwändiger zu konstruieren, aber typischerweise etwas besser als BVH, kombiniert mit AABBs pro Knoten
 - BSP-Baum: aufwändig zu konstruieren, oft nur ein bisschen besser als ein gut konstruierter kD-Baum
 - Gitter: eher selten, aber Aufbau auf (Grafik-)Hardware einfacher
 - hierarchische Gitter und Octrees: eher eingesetzt für Simulationen
- weitere Verwendung (nicht nur) in der Computergrafik
 - Bounding-Volumes und BVH: Culling in der Echtzeit-Grafik
 - kD-/BSP-Bäume: Sortierung, Suche, ...
 - Octrees: Speicherung von räumlichen Daten, z.B. 3D-Texturen
 - Kollisionserkennung (auch in der Robotik)

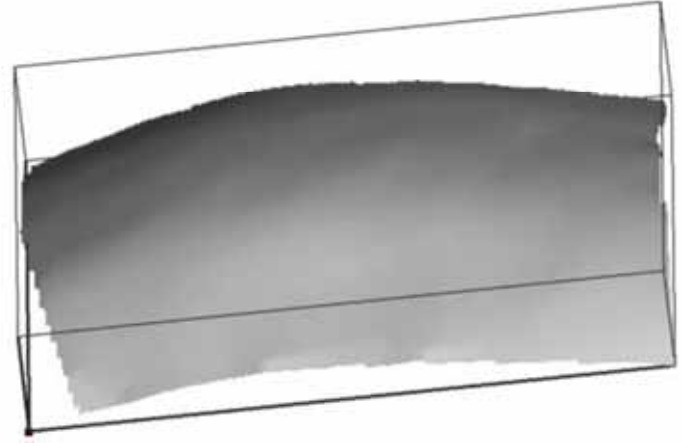
Aktuelle Forschungsthemen

Rasterized Bounding Volume Hierarchies





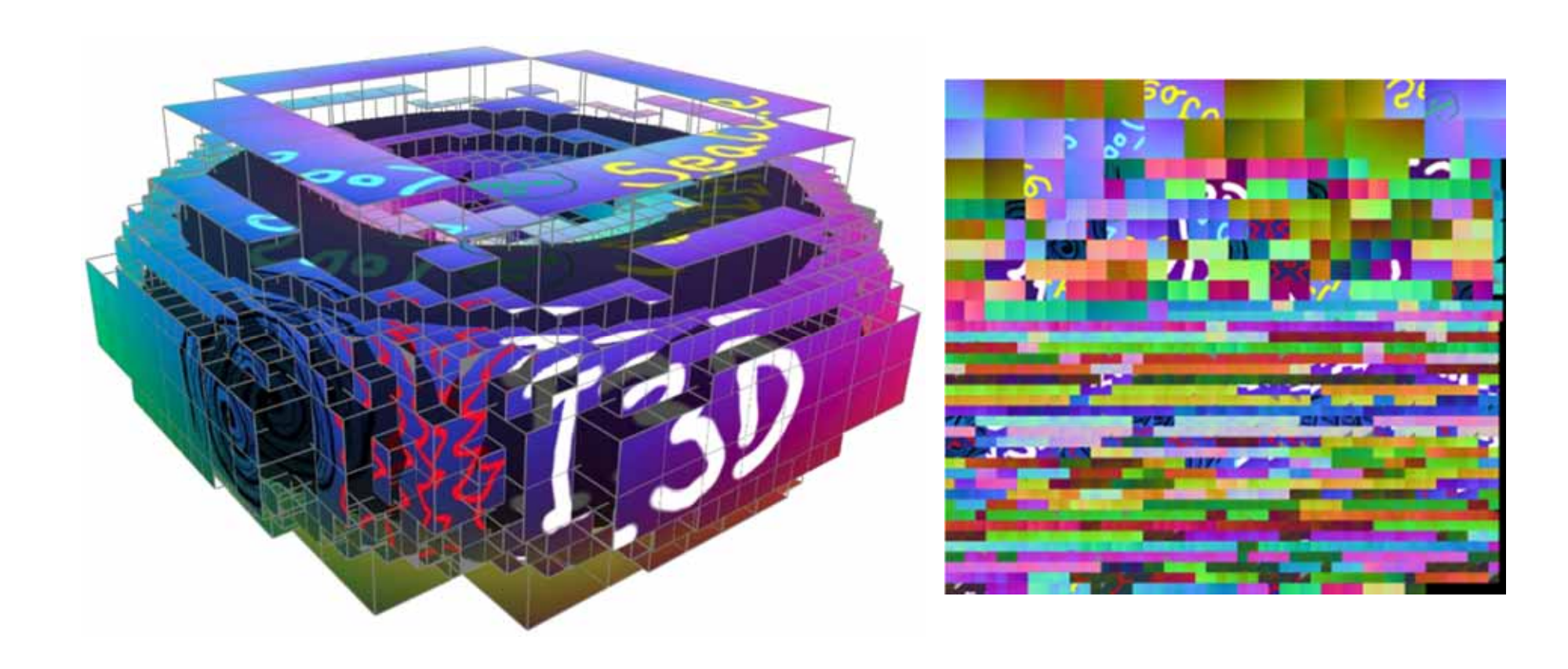
- weitere Forschungsziele:
 - schnellerer Aufbau
 - schnellere Traversierung
 - weniger Speicher, ...



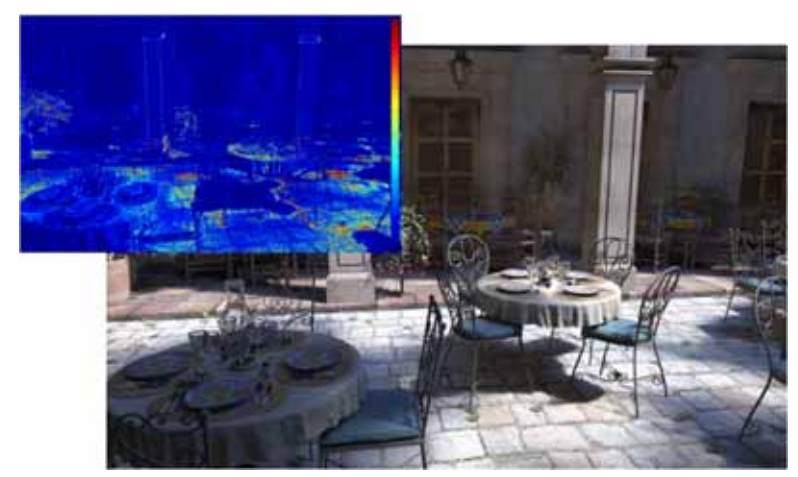
Forschungsthemen



kompakte Speicherung von und schneller Zugriff auf Texturen



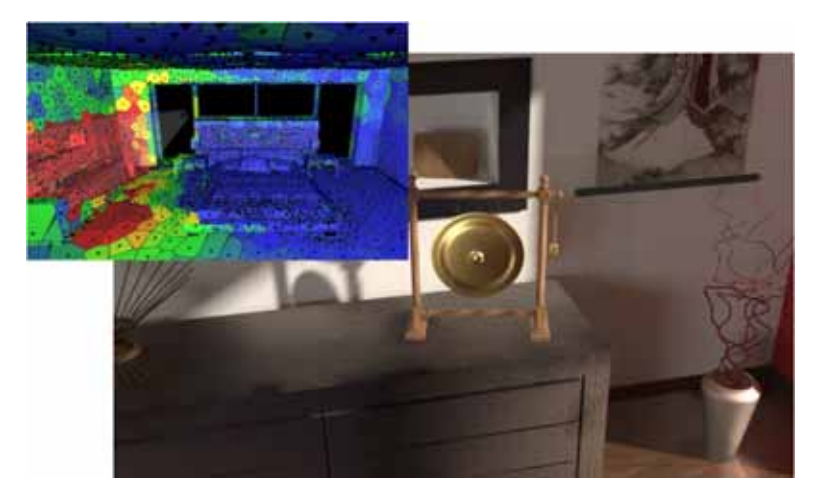
Caching Visibility and On-Surface / In-Volume Signals VD



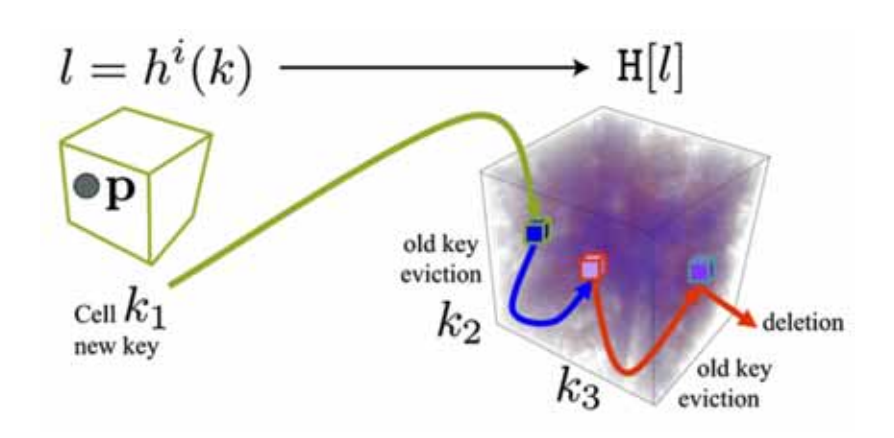
Eurographics 2013







2x VMV 2013



Shape Modeling International 2012, Computers & Graphics